

อภิธานการ



สำนักหอสมุด



รายงานวิจัยฉบับสมบูรณ์

การศึกษาคุณสมบัติทางอนุชีววิทยา ของอซีเนโตแบคเตอร์ บอมมานิไอ
แบคทีเรียโอฟาจ

โดย ผศ. ดร. สุทธิรัตน์ สิทธิศักดิ์

5 สิงหาคม พ.ศ. 2556

สำนักหอสมุด มหาวิทยาลัยนครสวรรค์
วันลงทะเบียน..... 12 ส.ย. 2558
เลขทะเบียน..... 1 6994169
เลขเรียกหนังสือ..... 9 OK

201
1716
สว755
2556

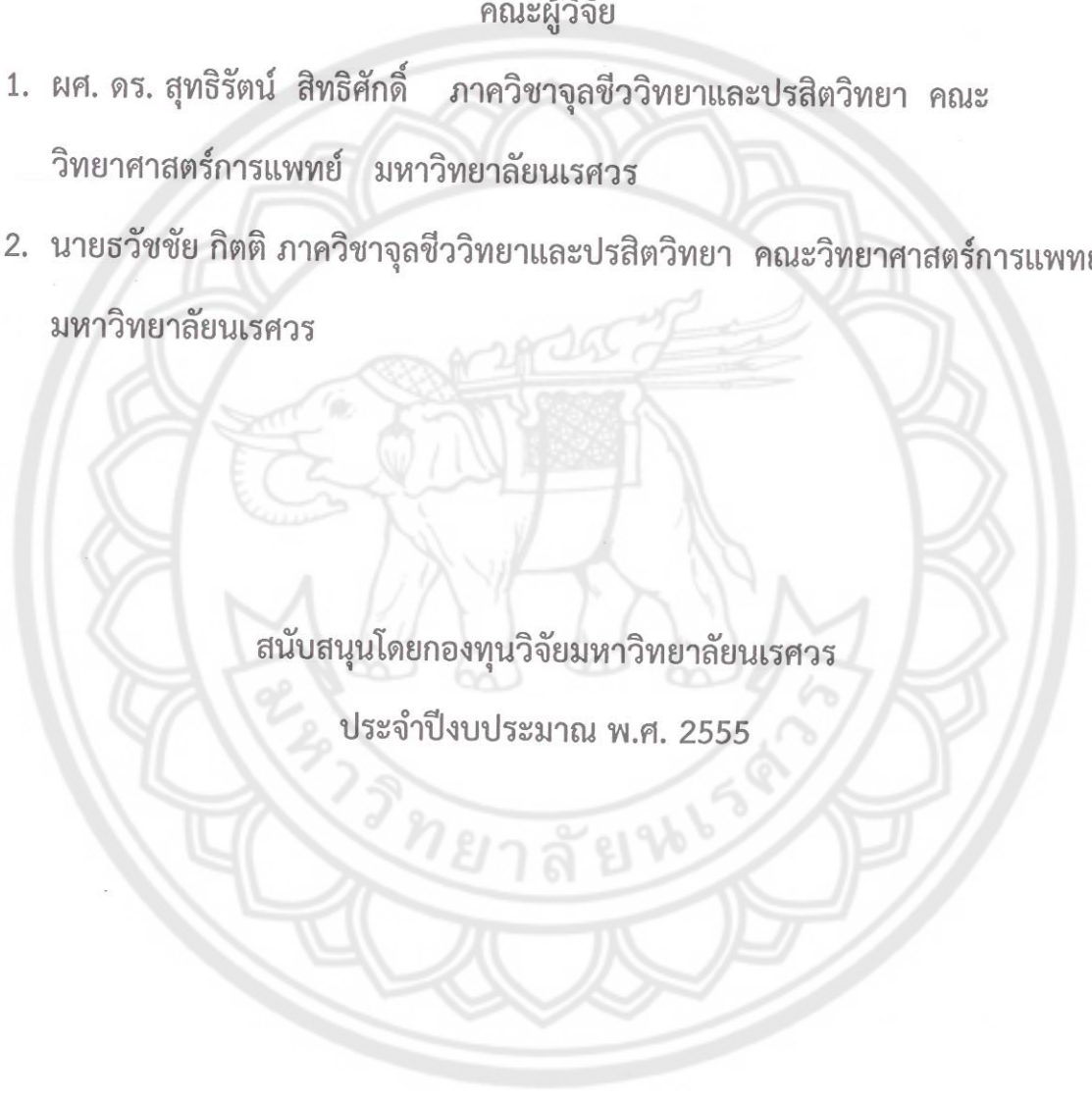
รายงานวิจัยฉบับสมบูรณ์

คณะผู้วิจัย

1. ผศ. ดร. สุทธิรัตน์ สิทธิศักดิ์ ภาควิชาจุลชีววิทยาและปรสิตวิทยา คณะ
วิทยาศาสตร์การแพทย์ มหาวิทยาลัยนเรศวร
2. นายรัชชัย กิตติ ภาควิชาจุลชีววิทยาและปรสิตวิทยา คณะวิทยาศาสตร์การแพทย์
มหาวิทยาลัยนเรศวร

สนับสนุนโดยกองทุนวิจัยมหาวิทยาลัยนเรศวร

ประจำปีงบประมาณ พ.ศ. 2555



สารบัญเรื่อง (Table of Contents)

หน้า	
บทคัดย่อ	1
Abstract	2
Executive Summary	3
เนื้อหางานวิจัย	
บทนำ (Introduction)	6
เอกสารและงานวิจัยที่เกี่ยวข้อง	10
วิธีการดำเนินการวิจัย (Material and Method)	30
ผลการวิจัย (Result)	35
ข้อวิจารณ์ (Discussion)	49
สรุปผลการวิจัยและข้อเสนอแนะ (Conclusion and Recommendation)	53
เอกสารอ้างอิง (References)	55
กิตติกรรมประกาศ	64
Output ที่ได้จากโครงการ	65
ภาคผนวก	66

สารบัญตาราง (List of Tables)

	หน้า
ตารางที่ 1 การศึกษาแบคทีริโอเฟจที่จำเพาะต่อเชื้อ <i>A. baumannii</i> ในปัจจุบัน	28
ตารางที่ 2 Phages isolated against <i>Acinetobacter baumannii</i> and their properties	45
ตารางที่ 3 ผลการวิเคราะห์ลำดับนิวคลีโอไทด์ของ phage genomic DNA บางส่วน	46



สารบัญภาพ (List of Illustrations)

	หน้า
รูปที่ 1 แสดงรูปร่างของแบคทีริโอเฟจ	16
รูปที่ 2 แสดงรูปร่างลักษณะ order และ families ของการจัดจำแนกแบคทีริโอเฟจ	17
รูปที่ 3 แสดงวงจรชีวิตแบบไลติกเฟจ	20
รูปที่ 4 แสดงวงจรชีวิตแบบไลโซจีนิคเฟจ	22
รูปที่ 5 The appearance of plaques on a bacterial lawn formed by three <i>A. baumannii</i> bacteriophages.	39
รูปที่ 6 Electron micrograph of <i>A. baumannii</i> bacteriophages	39
รูปที่ 7 Lytic activity of <i>A. baumannii</i> phages	40
รูปที่ 8 One step growth of ØABP-01 , ØABP-02 and ØABP-04 bacteriophages	41
รูปที่ 9 SDS-PAGE analysis of <i>A. baumannii</i> bacteriophages and Amplification of endolysin gene from <i>A. baumannii</i> bacteriophages	42
รูปที่ 10 Restriction pattern of <i>A. baumannii</i> bacteriophages	43
รูปที่ 11 Plasmid pBluscript containg phage genomic DNA clone cut with HindIII .	44

บทคัดย่อ

Acinetobacter baumannii เป็นแบคทีเรียที่ทำให้เกิดโรคติดเชื้อฉวยโอกาสซึ่งเป็นสาเหตุสำคัญในการติดเชื้อในโรงพยาบาล ปัจจุบันมีรายงานทั่วโลกพบว่า *A. baumannii* มีการดื้อยาต้านจุลชีพหลายชนิด แบคทีเรียโอเฟจจึงเป็นทางเลือกหนึ่งที่ใช้ในการควบคุมการติดเชื้อและรักษาเชื้อ *A. baumannii* สายพันธุ์ที่ดื้อยา แบคทีเรียโอเฟจเป็นไวรัสของแบคทีเรียซึ่งมีความสัมพันธ์กับวิวัฒนาการของแบคทีเรีย โดยเกี่ยวข้องกับการแพร่กระจายของยีนในแบคทีเรีย งานวิจัยนี้ได้คัดเลือก ϕ ABP-01 ϕ ABP-02 และ ϕ ABP-04 มาใช้ในการศึกษาทางอนุชีววิทยา จากการศึกษาภายใต้กล้องจุลทรรศน์อิเล็กตรอน ϕ ABP-01 จัดอยู่ในแฟมิลี *Podoviridae* ส่วน ϕ ABP-02 และ ϕ ABP-04 จัดอยู่ในแฟมิลี *Myoviridae* การศึกษาการทนความร้อนของแบคทีเรียโอเฟจทั้งสามพบอยู่ในช่วง 50 - 70 °C ϕ ABP-02 และ ϕ ABP-04 ทนต่อกรดต่างที่ pH 4.0 - 9.0 ส่วน ϕ ABP-01ทนต่อกรดต่างที่ pH 5.0 - 9.0 แบคทีเรียโอเฟจทั้งสามสามารถเกาะติดโฮสต์เซลล์ 95 % ภายในเวลา 8 นาที One-step growth ของ ϕ ABP-01, ϕ ABP-02 และ ϕ ABP-04 เท่ากับ 15, 20 และ 20 นาทีตามลำดับ ส่วน burst sizes เท่ากับ 110, 120 and 150 PFU/cell ตามลำดับ การวิเคราะห์รูปแบบโปรตีนโดยวิธี SDS-PAGE พบว่าแบคทีเรียโอเฟจทั้งสามมีความแตกต่างกันของรูปแบบโปรตีนทั้งส่วนแกนหลักและแกนรอง ส่วนการศึกษารูปแบบการถูกตัดด้วย restriction enzyme ของแบคทีเรียโอเฟจ DNA โดยใช้ เอนไซม์ *EcoRI*, *HindIII*, *PstI*, *SphI*, *BamHI* และ *SmaI* ก็พบรูปแบบที่แตกต่างกัน การตรวจหา endolysin ขนาด 558 bp พบใน ϕ ABP-01 และ ϕ ABP-04 โดย endolysin gene ของ ϕ ABP-01 ได้ถูกนำมาโคลนใน pBluescript และวิเคราะห์ผลพบว่ายีนมีขนาด 558 ย ทำนาย molecular weight ได้ 21.14 kDa (185 amino acid) และมีค่า pI เท่ากับ 9.42 โดยแบคทีเรียโอเฟจ ϕ ABP-01 จากการศึกษาครั้งนี้สามารถนำมาใช้เป็นตัวเลือกในการศึกษาเพื่อควบคุม การติดเชื้อ *A. baumannii* ที่มีการดื้อยาต่อไป

Abstract

Acinetobacter baumannii is an opportunistic pathogen that exists widely in hospital environments. The emergence of multidrug resistant *A. baumannii* (MDRAB) has been reported worldwide. Therefore, it is necessary to find a novel and effective treatment for MDRAB infection. In this study bacteriophages, designed as ØABP-01, ØABP-02, and ØABP-04 were selected for molecular characterization. Transmission electron microscopy revealed that bacteriophage ØABP-01 belonged to the Podoviridae family and bacteriophage ØABP-02 and ØABP-04 were classified into the family Myoviridae. Thermal stability test showed that all bacteriophages survived at 50 - 70 °C. ØABP-02 and ØABP-04, were stable to the wide range of pH 4.0 - 9.0. and ØABP-01 remained stable at pH 5.0 - 9.0. All bacteriophage showed 95% adsorbed to the host cells within 8 minutes. One-step growth of ØABP-01, ØABP-02 and ØABP-04 exhibited that the latent period were 15, 20 and 20 minutes and the burst sizes were 110, 120 and 150 PFU/cell respectively. Protein analysis using SDS-PAGE revealed variation in major and minor bands of bacteriophage proteins. DNA restriction analysis of three bacteriophages cutting with *EcoRI*, *HindIII*, *PstI*, *SphI*, *BamHI* and *SmaI* showed different DNA patterns. PCR product with 558 bp of endolysin gene (*lys*) was presented in ØABP-01 and ØABP-04. The endolysin gene of ØABP-01 was subsequently cloned in pBluescript vector and sequenced. Sequence analysis revealed an open reading frame of 558 bp with a predicted molecular weight of 21.14 kDa (185 amino acid) and a deduced pI of 9.42. Bacteriophage ØABP-01 from this study could be used as a candidate for studying to control MDRAB infections

ข้อมูลสรุปสำหรับผู้บริหาร(Executive Summary)

แบคทีเรียโอฟาจ เป็นไวรัสของแบคทีเรียที่พบได้ในสิ่งแวดล้อม ในปัจจุบันปัญหาสำคัญในการรักษาการติดเชื้อแบคทีเรียคือการเกิดการดื้อยาของแบคทีเรียโดยเฉพาะแบคทีเรียในกลุ่มที่มีการดื้อยาหลายชนิด(multi drug resistance bacteria (MDR-bacteria) การระบาดของ MDR-bacteria พบได้ทั่วโลก ซึ่งเป็นปัญหาทางสุขภาพที่สำคัญ เนื่องจากแบคทีเรียสามารถเกิดสายพันธ์ที่ดื้อยาได้ ทำให้มีการหาทางเลือกใหม่และวิธีที่ช่วยในการรักษาแบคทีเรียในกลุ่มที่มีการดื้อยาโดยใช้แบคทีเรียโอฟาจ

Acinetobacter baumannii เป็นแบคทีเรีย Gram negative พบเป็นเชื้อสาเหตุสำคัญของโรคติดเชื้อจากโรงพยาบาล (nosocomial infection) ที่พบได้บ่อย ปัจจุบันอุบัติการณ์ของโรคติดเชื้อ *A. baumannii* จากโรงพยาบาล เพิ่มสูงขึ้นอย่างต่อเนื่อง และยังพบว่า เชื้อ *A. baumannii* มักดื้อต่อยาต้านจุลชีพหลายชนิด (multidrug-resistant *A. baumannii*; MDR-AB) โดยเฉพาะอย่างยิ่ง การดื้อต่อยาในกลุ่ม carbapenems ซึ่งส่งผลให้การเลือกใช้อาต้านจุลชีพในการรักษาโรคติดเชื้อ *A. baumannii* มีความซับซ้อนมากขึ้น โครงการวิจัยนี้กลุ่มผู้วิจัยเป้าหมายในการนำแบคทีเรียโอฟาจมาใช้ในการรักษาการติดเชื้อจาก *A. baumannii* เนื่องจากในการนำแบคทีเรียโอฟาจมาใช้ในการรักษาการติดเชื้อจาก *A. baumannii* จำเป็นต้องมีข้อมูลทางชีววิทยาและอนุชีววิทยาของแบคทีเรียโอฟาจโดยเฉพาะข้อมูลเกี่ยวกับลำดับนิวคลีโอไทด์ของจีโนมของแบคทีเรียโอฟาจ เนื่องจาก *A. baumannii* เป็นเชื้อดื้อยาชนิดใหม่ที่เพิ่งเริ่มมีการระบาดปัจจุบันข้อมูลเกี่ยวกับแบคทีเรียโอฟาจที่จำเพาะต่อเชื้อ *A. baumannii* ยังมีน้อยแม้จะมีรายงานการแยกแบคทีเรียโอฟาจ จากเชื้อ *A. baumannii* ได้ครั้งแรกในประเทศไต้หวันในต้นปี 2553 (Lin et al., 2010) แต่คุณสมบัติของ แบคทีเรียโอฟาจที่แยกได้ยังไม่มีความหลากหลายในการทำลายเชื้อ *A. baumannii* (narrow host range) และเนื่องจากมีความแตกต่างของสายพันธ์ *A. baumannii* ในแต่ละพื้นที่ ดังนั้น การวิจัยครั้งนี้จึงเป็นโครงการวิจัยต่อเนื่องที่ต้องการศึกษาคุณสมบัติทางอนุชีววิทยาของแบคทีเรียโอฟาจ

(bacteriophage) ที่จำเพาะต่อแบคทีเรีย *A. baumannii* ที่ระบาดอยู่ในประเทศไทยและแยกได้จากน้ำเสียในบ่อบำบัดของโรงพยาบาลในจังหวัดพิษณุโลก โดยงานวิจัยนี้มีเป้าหมายระยะยาวในการคัดเลือก phage เพื่อนำมาใช้ เป็น phage suspension หรือค้นหาโปรตีนที่สร้างโดยแบคทีเรียโอฟาจที่สามารถย่อยเซลล์แบคทีเรียเพื่อใช้ในการรักษาและป้องกันการติดเชื้อที่แพร่ต่อไป โดยวัตถุประสงค์ของงานวิจัยคือศึกษาคคุณสมบัติทางชีววิทยาของแบคทีเรียโอฟาจ 3 สายพันธุ์เพื่อคัดเลือกหาแบคทีเรียโอฟาจที่มีความเหมาะสมในการนำไปใช้ประโยชน์เพื่อการตรวจวินิจฉัยและรักษาเชื้อ *A. baumannii* สายพันธุ์ที่ดื้อยาต่อไปโดยการศึกษาครั้งนี้ประกอบด้วย

1. ศึกษาคุณสมบัติทางชีววิทยาของแบคทีเรียโอฟาจ ได้แก่ lytic activity แบคทีเรียโอฟาจ 3 สายพันธุ์
2. ศึกษารูปร่างของ อซีเนโตแบคเตอร์ บอมมานิไอ แบคทีเรียโอฟาจกล้องจุลทรรศน์อิเล็กตรอน 3 สายพันธุ์
3. ศึกษาลักษณะโปรตีนของแบคทีเรียโอฟาจ 3 สายพันธุ์ (Analysis of phage protein) โดยวิธี SDS-PAGE
4. ศึกษารูปแบบของดีเอ็นเอของ อซีเนโตแบคเตอร์ บอมมานิไอ แบคทีเรียโอฟาจโดยการตัดด้วย restriction enzyme ของ อซีเนโตแบคเตอร์ บอมมานิไอ แบคทีเรียโอฟาจ 1 สายพันธุ์และการโคลนชิ้นส่วน DNA ที่ถูกตัดใน vector pBluescript และวิเคราะห์ลำดับนิวคลีโอไทด์ของจีโนมบางส่วนของอซีเนโตแบคเตอร์ บอมมานิไอ แบคทีเรียโอฟาจ

5. ผลการวิจัย

- จากการศึกษาคุณสมบัติทางชีววิทยาของแบคทีเรียโอฟาจ ϕ ABP-01 ϕ ABP-02 และ ϕ ABP-04 พบว่า ϕ ABP-01 จัดอยู่ในแฟมิลี Podoviridae ส่วน ϕ ABP-02 และ ϕ ABP-04 จัดอยู่ในแฟมิลี Myoviridae
- การศึกษาการทนความร้อนของแบคทีเรียโอฟาจทั้งสามพบอยู่ในช่วง 50 - 70 °C ϕ ABP-02 และ ϕ ABP-04 ทนต่อกรดต่างที่ pH 4.0 - 9.0 ส่วน ϕ ABP-01 ทนต่อกรดต่างที่ pH 5.0 - 9.0 แบคทีเรียโอฟาจทั้งสามสามารถเกาะติดโฮสต์เซลล์ 95 % ภายในเวลา 8 นาที One-step growth ของ ϕ ABP-

01, ϕ ABP-02 และ ϕ ABP-04 เท่ากับ 15, 20 และ 20 นาทีตามลำดับ ส่วน burst sizes เท่ากับ 110, 120 and 150 PFU/cell ตามลำดับ

- การวิเคราะห์รูปแบบโปรตีนโดยวิธี SDS-PAGE และ รูปแบบการถูกตัดด้วย restriction enzyme พบว่าแบคทีริโอเฟจทั้งสามมีความแตกต่างกัน
- การตรวจหา endolysin ขนาด 558 bp พบเฉพาะใน ϕ ABP-01 และ ϕ ABP-04 โดย endolysin gene มีความคล้ายคลึงกับ แบคทีริโอเฟจ phiAB1 และ phiAB2
- การโคลนจีโนมของ ϕ ABP-01 ในเวกเตอร์ pBluescript และวิเคราะห์ลำดับนิวคลีโอไทด์บางส่วน ของจีโนมของ ϕ ABP-01 พบมีความคล้ายคลึงกับจีโนมของแบคทีริโอเฟจ Acinetobacter phage phiAB1, Acinetobacter phage Abp1 และ Acinetobacter phage AB3

4. Outline of study plan (แผนการดำเนินงานวิจัย)

กิจกรรมวิจัย	เดือนที่ 1-2	เดือนที่ 3-4	เดือนที่ 5-6	เดือนที่ 7-8	เดือนที่ 9-10	เดือนที่ 11-12
1.เตรียมวัสดุอุปกรณ์ในการทำวิจัย	↔					
2.การศึกษารูปร่างของแบคทีริโอเฟจ ภายใต้กล้องจุลทรรศน์อิเล็กตรอนแบบส่องผ่านและศึกษาลักษณะโปรตีนของแบคทีริโอแบคทีริโอเฟจ		←—————→				
3.การศึกษารูปแบบของดีเอ็นเอของ อซีเนโตแบคเตอร์ บอมมานิโอ แบคทีริโอเฟจและการโคลนชิ้นส่วน DNA ที่ถูกตัดใน vector pBluescript						
4.การวิเคราะห์ลำดับนิวคลีโอไทด์ของอซีเนโตแบคเตอร์ บอมมานิโอ แบคทีริโอเฟจ						
5. วิเคราะห์ข้อมูล เตรียมเขียนผลงาน สำหรับนำเสนอในการประชุมทางวิชาการ						

บทนำ (Introduction)

ที่มาและความสำคัญของปัญหา

Phage therapy เป็นวิธีการที่นำแบคทีริโอเฟจ หรือผลิตภัณฑ์ของ แบคทีริโอเฟจ มาใช้ในการรักษาการติดเชื้อแบคทีเรียในคน (review ใน Krylov, 2001, Matsuzaki et al., 2005, Hanlon, 2007) โดยเมื่อแบคทีริโอเฟจเข้าไปในแบคทีเรียจะมีการเพิ่มจำนวน ในเซลล์แบคทีเรียและปลดปล่อยไวรัสลูกหลานออกมาโดยทำให้เซลล์แบคทีเรียแตก พบว่าการนำแบคทีริโอเฟจมาใช้ในการรักษาเป็นวิธีที่ค่อนข้างปลอดภัย เนื่องจากไม่เป็นพิษต่อ eukaryote อย่างไรก็ตามในยุคที่การพัฒนาของยาปฏิชีวนะที่มีประสิทธิภาพ ร่วมกับการขาดข้อมูลเกี่ยวกับคุณสมบัติทางชีววิทยาของแบคทีริโอเฟจทำให้ความสนใจในการนำแบคทีริโอเฟจมาใช้ประโยชน์มีน้อย ยกเว้นในบางประเทศ เช่น รัสเซีย โปแลนด์ และฝรั่งเศส ที่มีการใช้ แบคทีริโอเฟจในการรักษาการติดเชื้อแบคทีเรียมาเป็นระยะเวลานาน ปัจจุบันปัญหาสำคัญในการรักษาการติดเชื้อแบคทีเรียคือการเกิดการดื้อยาของแบคทีเรียโดยเฉพาะแบคทีเรียในกลุ่มที่มีการดื้อยาหลายชนิด (multi drug resistance bacteria (MDR-bacteria) ได้แก่ Vancomycin resistance *Staphylococcus aureus*, MDR-*Acinetobacter baumannii*, *Pseudomonas aeruginosa* ซึ่งเป็นปัญหาทางสุขภาพที่สำคัญ เนื่องจากแบคทีเรียสามารถเกิดสายพันธุ์ที่ดื้อยาได้ ทำให้มีการหาทางเลือกใหม่และวิธีที่ช่วยในการรักษาแบคทีเรียในกลุ่มที่มีการดื้อยาโดยในปัจจุบันมีการศึกษาเพื่อนำแบคทีริโอเฟจไปใช้ประโยชน์ในด้านการรักษาและวินิจฉัยการติดเชื้อแบคทีเรียทางการแพทย์ โดยมีการทดลองใช้ได้ผลกับแบคทีเรียบางชนิดเช่น *Enterococcus faecalis*, *Pseudomonas aeruginosa*, Vancomycin-resistant enterococci (VRE) ทั้งในสัตว์ทดลองและในคลินิก (Biswas, et al., 2002, Marza et al., 2006, Capparelli et al., 2007, Mcvay et al., 2007, Uchiyama et al., 2008) สำหรับแบคทีริโอเฟจที่จำเพาะต่อ *A. baumannii* (*A. baumannii* bacteriophage) คือแบคทีริโอเฟจที่สามารถทำให้เกิดการติดเชื้อ *A. baumannii* ในอดีต *A. baumannii* bacteriophage ยังมีการศึกษาไม่แพร่หลาย โดย *A. baumannii* bacteriophage ได้มีการศึกษาในสัตว์ทดลองโดย Soothill และคณะในปี.ศ. 1992 พบว่า *A. baumannii* bacteriophage ปริมาณ 10² อนุภาค สามารถที่ช่วยป้องกันให้หนูทดลองมีชีวิตรอดได้หลังจากที่ได้รับเชื้อ *A. baumannii* ปริมาณ 5LD₅₀ (1.5x 10⁸ cfu) (Soothill, 1992) หลังจากนั้นมีการแยก *A. baumannii* bacteriophage ได้โดย Lin และคณะในปี.ศ. 2010 โดยแบคทีริโอเฟจที่แยกได้คือ phi AB2 มีจีโนมเป็น double-stranded DNA และ เมื่อทำการ sequencing จีโนมเป็นบางส่วนขนาด 2.1 กิโล

เบส พบว่าให้ sequence ที่คล้ายคลึงกับ Tubular protein A และ B ของ *P. aeruginosa* phage LKA1 โดย Φ AB2 เป็นสมาชิกของ *Podoviridae* นอกจากนี้ Φ AB2 เป็นแบคทีริโอเฟจที่จำเพาะต่อ *A. baumannii* มีการเกาะติดเซลล์ (Adsorption) อย่างรวดเร็ว (> 99% adsorbed ใน 8 นาที), มีช่วง latent period ที่สั้น (<10 min) และมีขนาด burst ประมาณ 200 (Lin, et al., 2010) ต่อมาได้มีการสกัดเอนไซม์ endolysin จาก Φ AB2 พบว่าสามารถทำลายผนังเซลล์ของ *A. baumannii* และ *S. aureus* ได้ (Lai, et al., 2011)

A. baumannii เป็นแบคทีเรีย Gram negative พบเป็นเชื้อสาเหตุสำคัญของโรคติดเชื้อจากโรงพยาบาล (nosocomial infection) *A. baumannii* เป็นแบคทีเรียในกลุ่มที่มีการดื้อยาหลายชนิด (MDR-bacteria) ซึ่งพบเป็นสาเหตุที่ทำให้เกิดการติดเชื้อในแผล เช่น แผลเบาหวาน แผลไฟไหม้ โดยเชื้อสาเหตุสำคัญของการติดเชื้อในแผล (wound infection)) เมื่อผู้ป่วยมีการติดเชื้ออาจชักนำไปสู่การติดเชื้อในกระแสโลหิต และเสียชีวิตในที่สุด (Eron, 1999; Bowler et al., 2001; Agnihotri et al., 2003) ตั้งแต่ปี ค.ศ. 1970 การระบาดของ multidrug-resistant (MDR) *Acinetobacter* strains ได้เพิ่มขึ้นอย่างรวดเร็วในผู้ป่วยที่เข้ารับการรักษาในโรงพยาบาล นอกจากนี้ยังมีรายงานการเพิ่มขึ้นของการติดเชื้อที่ได้รับจากชุมชน ในช่วง 10 ปีที่ผ่านมา (Dijkshoorn et al., 2007) ระบาดวิทยาในประเทศไทยจากการติดตามเฝ้าระวังสถานการณ์การดื้อยาของเชื้อแบคทีเรียมานานกว่า 10 ปีของกรมวิทยาศาสตร์การแพทย์ พบว่าเชื้อ *A. baumannii* เป็นเชื้อที่มีการดื้อยาด้านจุลชีพสูงขึ้นต้องเฝ้าระวังอย่างใกล้ชิด ประกอบกับการรายงานของกรมควบคุมโรค กระทรวงสาธารณสุขพบว่า เชื้อ *A. baumannii* ดื้อต่อยา carbapenem เพิ่มขึ้นจากร้อยละ 2.1 ในปี 2543 เป็นร้อยละ 63 ในปี 2553 และดื้อยา cefoperazone/sulbactam ซึ่งเป็นยาด้านสุดท้ายที่ใช้ในการรักษาเชื่อนี้จากร้อยละ 3 เพิ่มขึ้นร้อยละ 44 และมีแนวโน้มเพิ่มขึ้นอย่างต่อเนื่อง กรมวิทยาศาสตร์การแพทย์ กระทรวงสาธารณสุข มีรายงานว่าผู้ป่วยที่เป็น VAP และมีสาเหตุมาจากการติดเชื้อ *A. baumannii* พบได้ร้อยละ 13-50 ทำให้ผู้ป่วยมีอัตราเสียชีวิตในกลุ่มติดเชื้อดื้อยา *A. baumannii* ในปอดสูงถึงร้อยละ 23-73 ผลการศึกษาอุบัติการณ์ของเชื้อ *A. baumannii* ในโรงพยาบาลศิริราช ปี พ.ศ. 2545 พบร้อยละ 57 และโรงพยาบาลมหาราชนครเชียงใหม่ในปี พ.ศ.2546 พบร้อยละ 46 ของเชื้อเป็น Pandrug-resistant *A. baumannii* (PDRAB) (Chaiwarith, et al., 2005; Keerasuntonpong, et al., 2006) จากการรายงานของโรงพยาบาลสงขลานครินทร์พบว่าเชื้อ *A. baumannii* ที่ดื้อต่อยา carbapenem มีร้อยละ 3 ในปีค.ศ. 2001 เพิ่มขึ้นร้อยละ 60 ในปีค.ศ.2007 (Santimaleeworagun et al., 2011) จากข้อมูลของโรงพยาบาลมหาราชนครราชสีมาพบว่าเชื้อ *A. baumannii* เป็นสาเหตุอันดับหนึ่งของการติดเชื้อในระบบทางเดินหายใจที่เกิดจากการ

ติดเชื้อในโรงพยาบาล และเชื่อดังกล่าวมีแนวโน้มดื้อยาต้านจุลชีพเพิ่มสูงขึ้นทุกปี (Visalsawadi 2008) สำหรับการรายงานของโรงพยาบาลลพบุรีพบความชุกของ MDRAB จากหอผู้ป่วยอายุรกรรมร้อยละ 59.8 หอผู้ป่วยศัลยกรรมร้อยละ 39.1 และหอผู้ป่วยเด็ก 0.97 (Rodsathien 2008) และจากการศึกษาเชื้อ *A. baumannii* ที่แยกจากผู้ป่วยโรงพยาบาลพุทธชินราชพบว่าสามารถดื้อต่อยา carbapenem ร้อยละ 57 และยังพบยีนดื้อยา OXA-23 อีกด้วย (Niumsup et al., 2009) โดยเชื้อที่แยกได้พบมีความสามารถในการดื้อต่อยาหลายชนิดเช่น ยาในกลุ่ม Carbapenem, tygeciline, meropenem โดยกลไกการดื้อยาเช่น การสร้าง β -lactamase เกี่ยวข้องกับการสร้างยีนดื้อยาที่ encode อยู่บน plasmid และ chromosome เช่น bla_{VEB-1} ESBL, TEM 22, OXA-23, ADC 23 (Carbonne et al., 2005, Jin et al., 2009, Niumsup et al., 2009) การสร้างยีนที่ดื้อต่อยาในกลุ่ม aminoglycosides เช่น aac(3)-I, aac(6)-I and 22 และ ant(3'')-I. (Noppe-Leclercq I, et al., 1999; Jin et al., 2009)

โครงการวิจัยนี้กลุ่มผู้วิจัยเป้าหมายในการนำแบคทีริโอเฟจมาใช้ในการรักษาการติดเชื้อจาก *A. baumannii* เนื่องจากปัจจุบันข้อมูลทางชีววิทยาของ แบคทีริโอเฟจต่อเชื้อ *A. baumannii* ที่เป็นเชื้อดื้อยาคือชนิดใหม่ที่เพิ่งเริ่มมีการระบาดยังมีน้อยปัจจุบันแม้จะมีรายงานการแยกแบคทีริโอเฟจ จากเชื้อ *A. baumannii* ได้ครั้งแรกในประเทศได้วันในต้นปี 2553 (Lin et al., 2010) แต่คุณสมบัติของ แบคทีริโอเฟจที่แยกได้ยังไม่มีความหลากหลายในการทำลายเชื้อ *Acinetobacter baumannii* (narrow host range) และมีความแตกต่างของสายพันธุ์ *Acinetobacter baumannii* ในแต่ละพื้นที่ ในการศึกษาการวิจัยครั้งนี้เป็นโครงการวิจัยที่ต้องการศึกษาคุณสมบัติทางชีววิทยาของแบคทีริโอเฟจ (bacteriophage) ที่จำเพาะต่อแบคทีเรีย *Acinetobacter baumannii* ที่ระบาดอยู่ในประเทศไทย คัดเลือกสายพันธุ์แบคทีริโอเฟจที่มีความเป็นไปได้ในการมาทดสอบทางคลินิก โดยลักษณะของแบคทีริโอเฟจที่ดีที่ควรจะนำมาใช้ศึกษาทางคลินิกควรมีคุณสมบัติจำเพาะต่อแบคทีเรียหลายชนิด (broad host range) ไม่ชักนำแบคทีเรียให้เกิดการติดเชื้อ phage ไม่เป็น lysogenic phage (temperate phage) ไม่ถูกทำลายด้วยระบบภูมิคุ้มกันของผู้ป่วย และมีความปลอดภัยในการนำมาใช้ในคน เนื่องจากในการนำแบคทีริโอเฟจมาใช้ในการรักษาการติดเชื้อจาก *A. baumannii* จำเป็นต้องมีข้อมูลทางชีววิทยาและอนุชีววิทยาของแบคทีริโอเฟจ โดยเฉพาะข้อมูลเกี่ยวกับลำดับนิวคลีโอไทด์ของจีโนมของแบคทีริโอเฟจก่อนหน้านักกลุ่มผู้วิจัยได้ทำการศึกษาคัดแยกแบคทีริโอเฟจที่จำเพาะต่อแบคทีเรีย *A. baumannii* จากน้ำเสียในบ่อบำบัดและน้ำหลังการบำบัดของโรงพยาบาลในจังหวัดพิษณุโลก โดยจำนวนแบคทีริโอเฟจที่แยกได้ทั้งหมดจากการศึกษาครั้งนี้ ได้ถูกคัดเลือกมาเพื่อศึกษาคุณสมบัติทางชีววิทยาพบว่ามีความสามารถในการทำลายเชื้อ MDR-AB ได้

มากกว่า 10 สายพันธุ์ (รัชชัย กิตติ; 2554) เนื่องจากการนำแบคทีริโอเฟจมาใช้ในการรักษาจำเป็นต้องมีความเข้าใจเกี่ยวกับคุณสมบัติทางอนุชีววิทยาโดยเฉพาะลำดับนิวคลีโอไทด์ของซีเนโตแบคเตอร์ และชนิดของโปรตีนที่มีความสำคัญที่แบคทีริโอเฟจสร้างขึ้นโดยเฉพาะโปรตีนกลุ่ม endolysin ที่เป็นเอ็นไซม์ที่มีคุณสมบัติในการย่อยเซลแบคทีเรีย ดังนั้นการวิจัยครั้งนี้จึงเป็นโครงการวิจัยต่อเนื่องที่ต้องการศึกษาคุณสมบัติทางอนุชีววิทยาของแบคทีริโอเฟจ (bacteriophage) ที่จำเพาะต่อแบคทีเรีย *A. baumannii* ที่ระบาดอยู่ในประเทศไทยและแยกได้จากน้ำเสียในบ่อบำบัดของโรงพยาบาลในจังหวัดพิษณุโลก โดยงานวิจัยนี้มีเป้าหมายระยะยาวในการคัดเลือก phage เพื่อนำมาใช้ เป็น phage suspension หรือค้นหาโปรตีนที่สร้างโดยแบคทีริโอเฟจที่สามารถย่อยเซลแบคทีเรียเพื่อใช้ในการรักษาและป้องกันการติดเชื้อที่ผลต่อไป



เอกสารและงานวิจัยที่เกี่ยวข้อง

1. *Acinetobacter baumannii*

เชื้อ *A. baumannii* เป็นแบคทีเรียที่สามารถพบได้ทั่วไปในธรรมชาติรวมทั้งสิ่งแวดล้อมภายในโรงพยาบาล โดยสามารถพบได้ทั้งในน้ำ ดิน และอุปกรณ์การแพทย์ต่างๆในโรงพยาบาล เช่น เครื่องช่วยหายใจ เป็นต้น (Bergogne-Berezin and Towner, 1996) ซึ่งเชื้อ *A. baumannii* เป็นสาเหตุสำคัญของการเกิดโรคติดเชื้อในโรงพยาบาล (nosocomial infection) และเป็นปัญหาสำคัญทางสาธารณสุขของประเทศไทยและทั่วโลก เนื่องจากส่งผลให้ผู้ป่วยมีอัตราการตายที่ค่อนข้างสูงจากการที่เชื้อมีการดื้อยาต้านจุลชีพหลายชนิด (Souli, Galani, and Giamarellou, 2008) โดยเชื้อมักจะฉวยโอกาสก่อโรครกับผู้ป่วยที่มารักษาในโรงพยาบาลที่มีภูมิคุ้มกันบกพร่อง หรือผู้ป่วยที่ได้รับการรักษาด้วยยาต้านเชื้อแบคทีเรียเป็นเวลานาน

1.1 จุลชีววิทยาของเชื้อ *A. baumannii*

Acinetobacter spp. เป็นแบคทีเรียแกรมลบรูปแท่งสั้น (coccobacilli) มีขนาดประมาณ 0.7 X 1.0 μm ไม่สามารถเคลื่อนที่ได้และไม่พบการสร้างสปอร์ เชื้อกลุ่มนี้จะไม่เกิดกระบวนการหมักน้ำตาล เมื่อนำไปทดสอบ oxidase จะให้ผลลบและมีความสามารถในการเปลี่ยนไนเตรตเป็นไนไตรท์ การจำแนกเชื้อโดยอาศัยลักษณะทางพันธุกรรมสามารถแบ่งเชื้อออกได้ 25 สปีชีส์ (genomospecies) แต่มีเพียง 10 สปีชีส์ ที่ได้รับการตั้งชื่อก่อนหน้านั้นเคยถูกจัดอยู่ใน family *Neisseriaceae* แต่ในปัจจุบันถูกจัดอยู่ใน family *Moraxellaeae* โดยสปีชีส์ที่พบว่าเป็นสาเหตุของการติดเชื้อในมนุษย์มากที่สุดได้แก่ *A. baumannii* (ภัทรชัย กิรติสิน, 2549)

1.2 พยาธิกำเนิด

เชื้อ *A. baumannii* เป็นเชื้อที่ก่อโรคที่สำคัญสามารถก่อให้เกิดโรคได้หลากหลาย ซึ่งกลไกการก่อให้เกิดโรคมียังไม่ทราบแน่ชัด แต่ประกอบด้วยสมมติฐาน 4 ข้อดังนี้

1.2.1 เชื้อมี fimbriae และ pili มีบทบาทสำคัญในการเข้าจับกับเซลล์เยื่อบุได้ดี (Siroy, et al., 2006)

1.2.2 เชื้อสร้างโพลีแซคคาไรด์ทำให้สามารถสร้าง biofilm ซึ่งมีความสัมพันธ์กับกระบวนการ quorum sensing (Vidal, et al., 1996) โดย biofilm มีบทบาทที่สำคัญในการก่อโรคในแบคทีเรียหลายๆ ชนิดทำให้สามารถเกาะ (colonization) อยู่กับวัสดุเทียมและยังทำให้สามารถจับเซลล์เยื่อบุได้ดี อีกทั้งยังทำให้เชื้อทนต่อยาต้านจุลชีพ (Gaddy and Actis, 2009)

1.2.3 เชื้อสร้างเอนไซม์ lipase ทำลายไขมันปกติในเนื้อเยื่อทำให้เชื้อจับเซลล์ได้ง่ายขึ้น (Bergogne-Berezin and Towner, 1996)

1.2.4 หลังจากเชื้อเข้าเกาะกับเซลล์แล้ว เชื้อจะไปควบคุมกระบวนการทำลายตัวเอง (apoptosis) ของเซลล์ยูคาริโอตโดยอาศัยคุณสมบัติของ Outer membrane protein A (OmpA) ในการเหนี่ยวนำให้เซลล์ตาย (Choi, et al., 2008) และทำให้เกิดการอักเสบโดย lipopolysaccharide (LPS) จะไปเหนี่ยวนำให้ pro-inflammatory cytokine ให้มีการแสดงออกมาใน monocytes ของเซลล์ (Erridge, et al., 2007) จากคุณสมบัติของ Outer membrane protein A และ lipopolysaccharide ของเชื้อทำให้มีความเป็นพิษต่อเซลล์โดยตรง

1.3 โรคติดเชื้อ *A. baumannii*

การติดเชื้อ *A. baumannii* นั้นมักจะก่อให้เกิดโรคติดเชื้อฉวยโอกาส (opportunistic infection) ในผู้ป่วยที่มีภูมิคุ้มกันบกพร่อง และเป็นสาเหตุที่สำคัญในการติดเชื้อในโรงพยาบาล (nosocomial infection) โดยเชื้อ *A. baumannii* ก่อให้เกิดโรคติดเชื้อในระบบทางเดินหายใจ มักจะเกิดจากผู้ป่วยที่ใช้เครื่องช่วยหายใจ (ventilator-associated pneumonia; VAP) การติดเชื้อในระบบทางเดินปัสสาวะ (urinary tract infection) การติดเชื้อในเลือด (bacteremia) เยื่อหุ้มสมองอักเสบ (meningitis) เยื่อหุ้มหัวใจอักเสบ (pericarditis) การติดเชื้อบริเวณบาดแผลและเยื่อช่องท้องอักเสบจากการติดเชื้อ เป็นต้น (Bergogne-Berezin and Towner, 1996) ซึ่งปัจจัยที่ก่อให้เกิดการติดเชื้อ *A. baumannii* ได้แก่ การพักรักษาตัวในโรงพยาบาลเป็นเวลานาน การใช้ยาต้านจุลชีพเป็นเวลานาน การที่ผู้ป่วยมีบาดแผลรวมถึงแผลผ่าตัด และการใช้สายสวนหรือเครื่องมือทางการแพทย์เข้าสู่ร่างกาย เนื่องจากเชื้อสามารถที่จะทนอยู่ในสภาพแวดล้อมในโรงพยาบาลได้เป็นเวลานาน

1.4 กลไกการดื้อยาต้านจุลชีพของ *A. baumannii*

สถานการณ์การดื้อยาของเชื้อ *A. baumannii* กำลังเป็นปัญหาที่ทั่วโลกต้องเผชิญรวมทั้งประเทศไทย เนื่องจากเชื้อ *A. baumannii* สามารถดื้อยาต้านจุลชีพได้อย่างรวดเร็วด้วยกลไกหลากหลายทำให้วิธีการรักษามีความซับซ้อนมากยิ่งขึ้น ซึ่งกลไกการดื้อยาต้านจุลชีพอาจเกิดจากเพียงกลไกใดกลไกหนึ่งหรืออาจมีการดื้อการยาต้านจุลชีพเกิดขึ้นได้หลายๆ กลไกพร้อมกัน (Bergogne-Berezin and Towner, 1996) โดยกลไกการดื้อยาที่พบใน *A. baumannii* มีทั้งหมด 4 กลไก ดังนี้

1.4.1 การสร้างเอนไซม์ทำลายยาต้านจุลชีพ

เชื้อ MDRAB มีการดื้อยาต้านจุลชีพในกลุ่ม β -lactams โดยการสร้างเอนไซม์ทำลายยาต้านจุลชีพจัดเป็นกลไกที่มีความสำคัญ และพบได้บ่อย เอนไซม์ β -lactamase เป็นเอนไซม์ในกลุ่ม serine peptidase ซึ่งมีตำแหน่งออกฤทธิ์ (active site) ประกอบด้วยกรดอะมิโน serine โดย β -lactamase จะอาศัยหมู่ไฮดรอกซิลของ serine ในตำแหน่งออกฤทธิ์เข้าทำปฏิกิริยากับวงแหวน β -lactam ทำให้เกิดการแตกออกของพันธะ amide เอนไซม์ที่ทำลายยาต้านจุลชีพในกลุ่ม β -lactams ได้แก่ Amp-C β -lactamase, OXA-type carbapenemase และ metallo- β -lactamase เป็นต้น (Bergogne-Berezin and Towner, 1996; Gordon and Wareham, 2010) เอนไซม์ carbapenemase จัดอยู่ในกลุ่มของเอนไซม์ β -lactamase ที่เชื้อ *A. baumannii* สร้างขึ้นเพื่อทำลายยาต้านจุลชีพในกลุ่ม carbapenems (imipenem และ meropenem) ซึ่งเป็นยาต้านจุลชีพที่ใช้รักษา *A. baumannii* ได้ดี นอกจากนี้เอนไซม์ carbapenemase ยังสามารถทำลายยาต้านจุลชีพในกลุ่ม β -lactams อื่นๆ อีก โดยเอนไซม์ carbapenemase แบ่งออกเป็น 2 กลุ่มใหญ่ ได้แก่ OXA-type carbapenemase และ metallo- β -lactamase (MBL) โดย OXA-type carbapenemase เป็นเอนไซม์ β -lactamase ในกลุ่ม D ตามโครงสร้างทางโมเลกุล ปัจจุบันพบ OXA-type carbapenemase ในเชื้อ *A. baumannii* ทั้งหมด 9 ชนิด ได้แก่ OXA-23, OXA-24, OXA-25, OXA-26, OXA-27, OXA-40, OXA-49, OXA-51, OXA-58 และยังพบว่าเชื้อ *A. baumannii* ที่สร้าง OXA-type carbapenemase ในแต่ละพื้นที่มีความแตกต่างกันอีกด้วย (Wroblewska, et al., 2007) ส่วน MBL เป็นเอนไซม์ β -lactamase ถูกจัดอยู่ในกลุ่ม B ตามโครงสร้างทางโมเลกุลซึ่งต้องการธาตุสังกะสี (Zn^{2+}) เป็นปัจจัยร่วมในการออกฤทธิ์ ปัจจุบัน MBL ที่พบใน *Acinetobacter* มีเพียง 3 กลุ่มย่อยคือ IMP-like (imipenemase) VIM-like (Verona-imipenemase) และ SIM-1 (Seoul-imipenemase) (Walsh, et al., 2005) และเชื้อ *A. baumannii* ยังดื้อยาต้านจุลชีพกลุ่ม

aminoglycosides โดยสร้างเอนไซม์ aminoglycoside modifying enzymes โดยการเติมหมู่บางชนิดในโครงสร้างยาทำให้ยาออกฤทธิ์ไม่ได้ (Poirel and Nordmann, 2006)

1.4.2 การเปลี่ยนแปลงโครงสร้างเป้าหมายในการจับของยา

การดื้อยาด้านจุลชีพในกลุ่ม β -lactams เกิดจากเชื่อมีการเปลี่ยนแปลงโครงสร้างของ penicillin binding protein (PBP) ซึ่งเป็นเป้าหมายของยาด้านจุลชีพดังกล่าว โดยเชื่อมีการสร้าง PBP ชนิดใหม่ที่ยาด้านจุลชีพจับไม่ได้ให้มากขึ้นหรือไปลดการสร้าง PBP ชนิดที่ยาด้านจุลชีพจับได้ (Gehrlein, et al., 1991)

1.4.3 การลดการนำยาเข้าสู่เซลล์โดยลดการสร้าง porin

การควบคุมปริมาณการเข้าสู่เซลล์ของยาด้านจุลชีพเป็นวิธีการหนึ่งที่เชื้อ *A. baumannii* ได้เพิ่มความสามารถในการดื้อยาด้านจุลชีพ ซึ่งการนำเข้าสู่ของยาด้านจุลชีพในกลุ่มของ β -lactams ไม่สามารถเข้าสู่เซลล์ได้โดยตรงต้องใช้ช่องทางในการนำยาด้านจุลชีพเข้า ประกอบด้วยโปรตีนที่เรียกว่า porin รวมตัวกันเกิดเป็นช่องทางผ่านเข้าออกของสารที่ละลายน้ำได้ดีเข้าสู่เซลล์รวมถึงยาด้านจุลชีพ เมื่อเชื่อลดการสร้าง porin ส่งผลให้การนำยาเข้าสู่เซลล์จึงลดลงเชื่อจึงเกิดการดื้อยาด้านจุลชีพได้ (Bonomo and Szabo, 2006)

1.4.4 การขับยาออกจากเซลล์

ระบบ efflux pumps เป็นกลไกที่สำคัญอีกกลไกหนึ่งที่ทำให้เกิดการดื้อยาด้านจุลชีพ ซึ่งเกิดโดยกระบวนการอาศัยพลังงาน เนื่องจากการดื้อยาด้านจุลชีพโดยการสร้าง efflux pump ของ *A. baumannii* สามารถขับยาด้านจุลชีพได้หลายกลุ่มทำให้เชื้อ *A. baumannii* เกิดการดื้อยาด้านจุลชีพแบบไม่จำเพาะหรือดื้อยาด้านจุลชีพหลายกลุ่มพร้อมกันได้ (Bonomo and Szabo, 2006)

1.5 ระบาดวิทยา

ระบาดวิทยาในต่างประเทศ จากการรายงานในประเทศสหรัฐอเมริกาโดย Center for Disease Control and Prevention (CDC) พบว่าเชื้อ *A. baumannii* เป็นสาเหตุของการเสียชีวิตเป็นลำดับที่สองรองจาก *Pseudomonas aeruginosa* โดยพบร้อยละ 43.4 ในผู้ป่วยที่นอนรักษาตัวในหอผู้ป่วยวิกฤติ (Wisplinghoff, et al., 2004) ในประเทศกรีซรายงานโดย Greek System for Surveillance of Antimicrobial Resistance (GSSAR) พบว่าเชื้อ *A. baumannii* ในหอผู้ป่วยภาวะวิกฤติ (Intensive care unit :ICU) มีการดื้อต่อยา imipenem เพิ่มสูงขึ้นจากร้อยละ 0 ในปีค.ศ.1996 ถึงประมาณร้อยละ 85.1 ในปีค.ศ.2007 และในหอผู้ป่วยศัลยกรรม (surgical wards) มีการดื้อต่อยา imipenem เพิ่มสูงขึ้นจากร้อยละ 0 ในปีค.ศ.1996 ถึงประมาณร้อยละ 59 ในปี ค.ศ.2007 (Souli, et al., 2008) รายงานของโรงพยาบาลใน

ประเทศตุรกีในปีค.ศ.2006 พบว่าเชื้อ *A. baumannii* ที่แยกจากผู้ป่วยที่ใช้เครื่องช่วยหายใจ (VAP) ในหอผู้ป่วยภาวะวิกฤติที่มีอัตราการดื้อยา imipenem ร้อยละ 80.3 และ meropenem ร้อยละ 70.2 (Dizbay, et al., 2008) ขณะที่สหราชอาณาจักรมีรายงานว่า เชื้อ *A. baumannii* ดื้อต่อยา carbapenem ร้อยละ 0 ในปี ค.ศ.1998 เพิ่มขึ้นร้อยละ 55 ในปี ค.ศ.2006 และจากการรายงานในประเทศสาธารณรัฐเชคพบว่าเชื้อ *A. baumannii* ดื้อต่อยา carbapenem ร้อยละ 15 ในปี ค.ศ.2005-2006 (Nemec, et al., 2008) นอกจากนี้ยังมีรายงานจากประเทศไต้หวันโดย Center for Disease Control พบว่าเชื้อ *A. baumannii* เป็นเชื้ออันดับ 1 ที่เป็นสาเหตุของการติดเชื้อในผู้ป่วยที่นอนรักษาตัวในหอผู้ป่วยวิกฤติ (Lin, et al., 2010)

ระบาดวิทยาในประเทศไทยจากการติดตามเฝ้าระวังสถานการณ์การดื้อยาของเชื้อแบคทีเรียมานานกว่า 10 ปีของกรมวิทยาศาสตร์การแพทย์ พบว่าเชื้อ *A. baumannii* เป็นเชื้อที่มีการดื้อยาด้านจุลชีพสูงขึ้น ต้องเฝ้าระวังอย่างใกล้ชิด ประกอบกับการรายงานของกรมควบคุมโรค กระทรวงสาธารณสุขพบว่า เชื้อ *A. baumannii* ดื้อต่อยา carbapenem เพิ่มขึ้นจากร้อยละ 2.1 ในปี พ.ศ. 2543 เป็นร้อยละ 63 ในปี พ.ศ. 2553 และดื้อยา cefoperazone/sulbactam ซึ่งเป็นยาด้านสุดท้ายที่ใช้ในการรักษาเชื้อนี้จากร้อยละ 3 เพิ่มขึ้นร้อยละ 44 และมีแนวโน้มเพิ่มขึ้นอย่างต่อเนื่อง กรมวิทยาศาสตร์การแพทย์ กระทรวงสาธารณสุข มีรายงานว่าผู้ป่วยที่เป็น VAP และมีสาเหตุมาจากการติดเชื้อ *A. baumannii* พบได้ร้อยละ 13-50 ทำให้ผู้ป่วยมีอัตราเสียชีวิตในกลุ่มติดเชื้อดื้อยา *A. baumannii* ในปอดสูงถึงร้อยละ 23-73 ผลการศึกษาอุบัติการณ์ของเชื้อ *A. baumannii* ในโรงพยาบาลศิริราช ปี พ.ศ. 2545 พบเชื้อ *A. baumannii* ร้อยละ 57 และโรงพยาบาลมหาราชนครเชียงใหม่ในปี พ.ศ.2546 พบว่าร้อยละ 46 ของเชื้อเป็น Pandrug-resistant *A. baumannii* (PDRAB) (Chaiwarith, et al., 2005 ; Keerasuntonpong, et al., 2006) จากการรายงานของโรงพยาบาลสงขลานครินทร์พบว่าเชื้อ *A. baumannii* ที่ดื้อต่อยา carbapenem มีร้อยละ 3 ในปี ค.ศ. 2001เพิ่มสูงขึ้นร้อยละ 60 ในปี ค.ศ.2007 (Santimaleeworagun, et al., 2011) จากข้อมูลของโรงพยาบาลมหาราชนครราชสีมาพบว่าเชื้อ *A. baumannii* เป็นสาเหตุอันดับหนึ่งของการติดเชื้อในระบบทางเดินหายใจที่เกิดจากการติดเชื้อในโรงพยาบาล และเชื่อดังกล่าวมีแนวโน้มดื้อยาด้านจุลชีพเพิ่มสูงขึ้นทุกปี (Visalsawadi, 2008) สำหรับการรายงานของโรงพยาบาลบุรีรัมย์พบความชุกของ MDRAB จากหอผู้ป่วยอายุรกรรมร้อยละ 59.8 หอผู้ป่วยศัลยกรรมร้อยละ 39.1 และหอผู้ป่วยเด็ก 0.97 (Rodsathien, 2008) และจากการศึกษาเชื้อ *A. baumannii* ที่แยกจากผู้ป่วยโรงพยาบาลพุทธชินราชพบว่าสามารถดื้อต่อยา carbapenem ร้อยละ 57 และยังมีเชื้อดื้อยา OXA-23 อีกด้วย (Niumsup, et al., 2009)

1.6 การวินิจฉัยทางห้องปฏิบัติการ

เชื้อ *Acinetobacter* spp. เป็นแบคทีเรียที่สามารถเจริญได้ในอาหารเลี้ยงเชื้อ เช่น Trypticase soy agar, Nutrient agar และ Brain heart infusion agar อย่างไรก็ตามการตรวจหาเชื้อจากสิ่งส่งตรวจจะอาศัย selective media เพื่อที่จะใช้ควบคุมเชื้อชนิดอื่นด้วย โดย Herellea agar เป็น selective media ประกอบด้วย น้ำดี น้ำตาล และ bromocresol purple ส่วน selective media อีกชนิดหนึ่งคือ Leed *Acinetobacter baumannii* media (LAM) เป็นอาหารที่สามารถแยกเชื้อจากสิ่งส่งตรวจและสิ่งแวดล้อม นอกจากนี้ยังมีการเติมยาด้านจุลชีพที่มีความเข้มข้นต่างๆ อีกด้วย (Bergogne-Berezin and Towner, 1996) การทดสอบทางชีวเคมีสามารถแยกเชื้อ *A. baumannii* ได้ โดยเชื้อดังกล่าวจัดเป็น saccharolytic ซึ่งสามารถสลายน้ำตาลได้ เมื่อนำไปทดสอบ oxidase จะให้ผลลบ นอกจากนี้เป็นสปีชีส์เดียวที่เจริญได้ที่ 4 องศาเซลเซียส อีกด้วย (Peleg, Seifert, and Paterson, 2008)

1.7 การรักษา

ปัจจุบันการรักษาโรคติดเชื้อ *A. baumannii* มีความซับซ้อนมากขึ้น เนื่องจากพบอุบัติการณ์ MDRAB ที่ค่อนข้างสูงซึ่งแนวทางการรักษาโรคติดเชื้อ *A. baumannii* ในปัจจุบัน ได้แก่ การเลือกใช้อย่างยาด้านจุลชีพชนิดใหม่ หรือ ยาด้านจุลชีพเดิมที่มีข้อบ่งใช้ใหม่ซึ่งมีกลไกการดื้อยาด้านจุลชีพต่างกับยาด้านจุลชีพที่ใช้อยู่ในปัจจุบัน ยาด้านจุลชีพที่อาจใช้ในการรักษาได้ เช่น ยาด้านจุลชีพในกลุ่ม Carbapenem (เช่น imipenem และ meropenem), fluoroquinolones, ampicillin/sulbactam, aminoglycoside และ colistin เนื่องจากว่าเชื้อมีอัตราการดื้อยาด้านจุลชีพสูงและดื้อยาด้านจุลชีพหลายกลุ่ม ดังนั้นจึงเป็นปัญหาสำคัญสำหรับการรักษาจึงควรทำการทดสอบความไวของเชื้อต่อยาด้านจุลชีพเพื่อเป็นแนวทางในการเลือกยาด้านจุลชีพสำหรับการรักษา และการรักษาด้วยยาด้านจุลชีพเพียงชนิดเดียวมักทำให้เกิดการดื้อต่อยาด้านจุลชีพชนิดนั้นในระหว่างการรักษา จึงควรใช้ยาด้านจุลชีพอย่างน้อย 2 ชนิดร่วมกันเพื่อเสริมฤทธิ์ในการรักษา และการนำความรู้ทางเภสัชจลนศาสตร์และเภสัชพลศาสตร์ของยาด้านจุลชีพมาปรับเปลี่ยนวิธีการให้ยา (ภัทรชัย กิริติสิน, 2549)ต

2. แบคทีเรียโอเฟจ

2.1 สมบัติทั่วไปของแบคทีเรียโอเฟจ

แบคทีเรียโอเฟจมีกรดนิวคลีอิกทำหน้าที่เป็นสารพันธุกรรม (Carter, 2007) โดยขนาดของกรดนิวคลีอิกแตกต่างกันตามชนิดของแบคทีเรียโอเฟจ และส่วนของแคปซิด (capsid) ซึ่งเป็นโปรตีนห่อหุ้ม (protein coat) เพื่อป้องกันกรดนิวคลีอิกที่อยู่ภายใน สามารถดำรงชีวิตได้อย่างอิสระแต่เพิ่มจำนวนของ

อนุภาคเฉพาะภายในเซลล์ของแบคทีเรียโฮสต์เท่านั้น (obligate parasite) ไม่จัดเป็นเซลล์เนื่องจากไม่มีเยื่อหุ้มเซลล์ หรือโครงสร้างอื่นของเซลล์ (พิโลพันธ์ พุฒวัฒน์, 2540)

2.2 โครงสร้างและส่วนประกอบของแบคทีเรียโอเฟจ

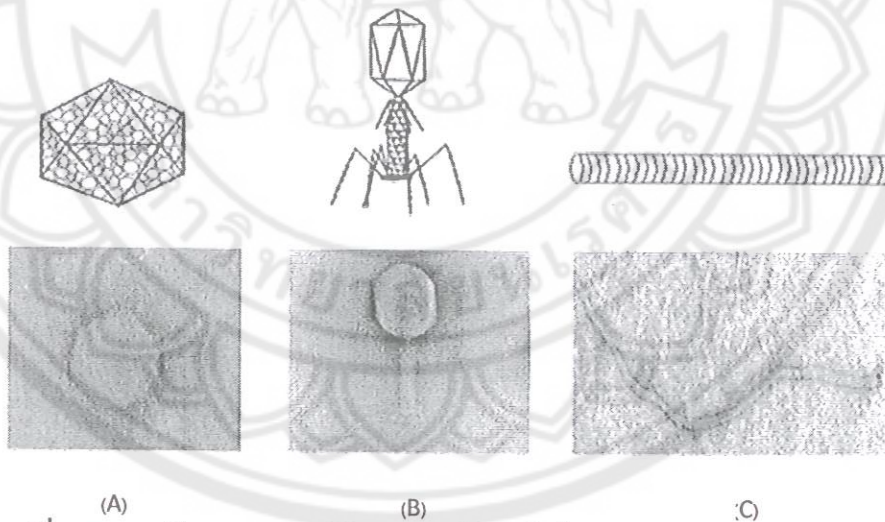
แบคทีเรียโอเฟจที่มีส่วนประกอบครบสมบูรณ์เรียกว่า "ไวรัส (virion)" ซึ่งประกอบด้วย 2 ส่วน คือ กรดนิวคลีอิก และมีโปรตีนหุ้มล้อมรอบเพื่อป้องกันกรดนิวคลีอิก เรียกว่า "แคปซิด (capsid)"

2.2.1 กรดนิวคลีอิก

จีโนมที่พบในอนุภาคของแบคทีเรียโอเฟจเป็นกรดนิวคลีอิก อาจเป็น double-stranded DNA, single-stranded DNA, double-stranded RNA หรือ single-stranded RNA แบบใดแบบหนึ่ง ซึ่งมีทั้งที่เป็นสายตรง (linear) และเป็นวงกลม (circular) (Kutter and Sulakvelidze, 2005; พิลพันธ์ พุฒวัฒน์, 2540)

2.2.2 แคปซิด

แคปซิดเป็นโปรตีนที่ล้อมรอบกรดนิวคลีอิกไว้ข้างใน แคปซิดประกอบขึ้นด้วยแคปโซเมอร์ซึ่งเป็นโมเลกุลของโปรตีนจำนวนหลายหน่วย มีหน้าที่ช่วยป้องกันการถูกทำลายด้วยรังสี อุลตราไวโอเล็ต สารเคมี เป็นต้น นอกจากนี้การจัดเรียงตัวของแคปซิดยังทำให้เกิดรูปร่างต่างๆของอนุภาค แบคทีเรียโอเฟจดังแสดงในรูปที่ 1 (Kutter and Sulakvelidze, 2005; พิลพันธ์ พุฒวัฒน์, 2540)

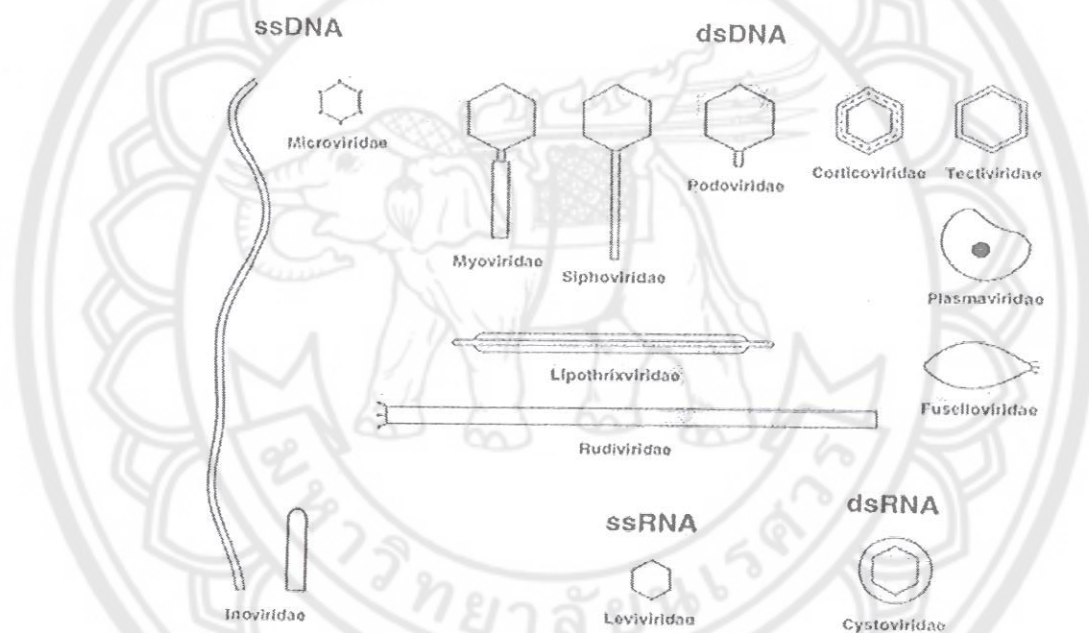


รูปที่ 1 แสดงรูปร่างของแบคทีเรียโอเฟจ: (A) มีส่วนหัวเป็น icosahedral capsid และไม่มีหาง (B) มีส่วนหัวเป็น icosahedral capsid และมีหางสั้น หรือยาว ขึ้นอยู่กับชนิดของแบคทีเรียโอเฟจ (C) รูปร่างเป็นสายยาว (filamentous phage)

ที่มา: ดัดแปลงจาก: พรรณทิพา จันทร์ทั้ง, 2553

2.3 การจัดจำแนกชนิดของแบคทีเรียโอเฟจ

ปัจจุบันนี้การค้นพบแบคทีเรียโอเฟจชนิดใหม่ประมาณไม่ต่ำกว่า 100 สายพันธุ์ในแต่ละปี โดยอาศัยการจำแนกด้วยกล้องจุลทรรศน์อิเล็กตรอนในการส่องดูรูปร่างของอนุภาค ซึ่งพบว่าปัจจุบันน่าจะมีแบคทีเรียโอเฟจทั้งหมดประมาณมากกว่า 6,000 สายพันธุ์ ซึ่งประกอบด้วย tailed phage มีจำนวนมากกว่าร้อยละ 96 ของแบคทีเรียโอเฟจที่ถูกค้นพบ แบคทีเรียโอเฟจที่พบส่วนใหญ่จะมี dsDNA เป็นสารพันธุกรรมเป็น tailless phage และ filamentous phage ตามลำดับ (Ackermann, 2001: 2009) ปัจจุบัน International Committee for Taxonomy of Viruses (ICTV) ได้จัดจำแนกแบคทีเรียโอเฟจออกเป็น 1 order 13 families และ 30 genera ตามชนิดของกรดนิวคลีอิก (nature of nucleic acid) และรูปร่างลักษณะ (particle morphology) ดังแสดงในรูปที่ 2



รูปที่ 2 แสดงรูปร่างลักษณะ order และ families ของการจัดจำแนกแบคทีเรียโอเฟจ

ที่มา: Ackermann, 2009

2.4 นิเวศวิทยาของแบคทีเรียโอเฟจ

แบคทีเรียโอเฟจสามารถเพิ่มจำนวนอนุภาคได้เฉพาะภายในเซลล์เท่านั้น (Obligate parasite) ดังนั้นการค้นพบแบคทีเรียโอเฟจในสิ่งแวดล้อมต่างๆจึงขึ้นอยู่กับแบคทีเรียโฮสต์ แบคทีเรียโอเฟจสามารถพบได้ทั่วไปในธรรมชาติตามที่มีแบคทีเรียโฮสต์ซึ่งมีประมาณเกินกว่าแบคทีเรียในอัตราส่วน 10 ต่อ 1 (Weinbauer and Hijfje, 1998) โดยประมาณกันว่ามีความหลากหลายสูงที่สุดในโลกของสิ่งมีชีวิตและพบได้ทั่วไปในน้ำจืด น้ำเค็ม ดิน และแม้แต่น้ำทะเล โดยพบว่าจำนวนของแบคทีเรียโอเฟจและโฮสต์จะมีความไม่แน่นอนสามารถเปลี่ยนแปลงตามฤดูกาล (Kutter and Sulakvelidze, 2005) จากการตรวจสอบแบคทีเรียโอเฟจทั้งหมดในช่วงสองปีหลังด้วยกล้องจุลทรรศน์อิเล็กตรอนพบว่ามีความหนาแน่นทั้งหมด 5,568 สายพันธุ์ โดยพบว่าร้อยละ 96 เป็นแบคทีเรียโอเฟจที่จัดอยู่ในกลุ่ม Caudovirales (Ackermann, 2009) วิธีการศึกษานิเวศวิทยาของแบคทีเรียโอเฟจจะเป็นการศึกษาเกี่ยวข้องกับ single-step growth หรือ one-step growth เพื่อตรวจสอบช่วงเวลานับแต่จีโนมของแบคทีเรียโอเฟจเข้าไปในเซลล์แบคทีเรียจนถึงเวลาที่อนุภาคที่สมบูรณ์ของแบคทีเรียโอเฟจถูกประกอบขึ้นภายในเซลล์เป็นครั้งแรกเรียกว่า "Eclipse period" ตามด้วยช่วงเวลานับแต่แบคทีเรียโอเฟจเริ่มติดเชื้อแบคทีเรียจนกระทั่งเซลล์แบคทีเรียแตกปล่อยจำนวนลูกหลานที่สมบูรณ์ (phage progeny) ออกมาภายนอกเซลล์เรียกว่า "Latent period" การตรวจจำนวนลูกหลานของแบคทีเรียโอเฟจที่เกิดขึ้นในแบคทีเรียหนึ่งเซลล์ซึ่งประชากรลูกหลานจะขึ้นอยู่กับชนิดของแบคทีเรียโอเฟจเรียกว่า "Burst size" (You, Suthers, and Yin, 2002) และการศึกษา Phage adsorption curve เพื่อศึกษาความสามารถในการเข้าสู่ภายในเซลล์แบคทีเรีย (Abedon, Hyman, and Thomas, 2003)

2.5 วงจรชีวิตของแบคทีเรียโอเฟจ

วงจรชีวิตของแบคทีเรียโอเฟจแบ่งออกเป็น 2 แบบ ตามลักษณะการติดเชื้อของแบคทีเรีย

2.5.1 วงจรชีวิตแบบไลติก (Lytic cycle)

แบคทีเรียโอเฟจในวงจรชีวิตนี้เรียกว่า ไวรัลเฟจ (Virulent phage) หรือ ไลติกเฟจ (Lytic phage) โดยแบคทีเรียมีการติดเชื้อจากแบคทีเรียโอเฟจที่มีวงจรชีวิตแบบไลติกนั้นจะมีการเพิ่มจำนวนลูกหลานเกิดขึ้นภายในเซลล์ของโฮสต์และทำให้แบคทีเรียแตกสลาย ซึ่งจะประกอบด้วยขั้นตอนต่างๆดังนี้ ดังแสดงในภาพ 3

2.5.1.1 การเกาะติด (adsorption)

แบคทีเรียโอเฟจจะใช้ส่วนเกาะติด (attachment site) เกาะกับตัวรับ (receptor site) ที่อยู่บนผนังเซลล์ของแบคทีเรียโฮสต์ แบคทีเรียโอเฟจแต่ละชนิดจะใช้ส่วนเกาะติดที่แตกต่างกันเช่น tail phage จะใช้

ปลายของหางเป็นส่วนเกาะติด tailless phage จะมีส่วนเกาะติดหลายตำแหน่งที่อยู่แคบชิด และ filamentous phage จะมีส่วนเกาะติดอยู่ที่ปลายทั้งสองข้าง (Bertin, de Frutos, and Letellier, 2011) แบคทีเรียโอเฟจแต่ละชนิดในธรรมชาติจะมี receptor บนผนังเซลล์ของแบคทีเรียโฮสต์ที่แตกต่างกันเช่น โพรตีน, กรดไทโคอิก (teichoic acid), ลิโปโพลิแซคคาไรด์ (lipopolysaccharide), แฟลกเจลลา (flagella), แคปซูล (capsule), พิล (pili) และ พอริน (porin) เป็นต้น (Rakhuba, et al., 2010)

2.5.1.2 การส่งผ่านกรดนิวคลีอิกเข้าสู่เซลล์แบคทีเรียโฮสต์ (penetration)

หลังจากการเกาะติดแล้ว tail phage ชนิดที่ส่วนหางจะหดตัวส่งผลทำให้ส่วนของปลายหางแทงผ่านผนังเซลล์ แล้วส่งผ่านกรดนิวคลีอิกจากส่วนหัวลงสู่ส่วนหางเข้าสู่ไซโตพลาสซึม โดยที่แคบชิดของแบคทีเรียโอเฟจยังอยู่ที่ภายนอกของแบคทีเรียโฮสต์ ส่วนแบคทีเรียโอเฟจที่มีหางสั้นจะส่งกรดนิวคลีอิกผ่านถึงไซโตพลาสซึมได้ ส่วน tailless phage จะต้องทำให้แคบชิดแตกออกก่อน แล้วส่งกรดนิวคลีอิกไปที่ผนังเซลล์ก่อนที่จะเข้าสู่เซลล์โฮสต์ และพวก filamentous phage พบว่าการส่งผ่านกรดนิวคลีอิกจะมีแคบชิดเข้าไปในเซลล์ด้วย แต่จะทิ้งโปรตีนส่วนใหญ่ไว้ที่เซลล์เมมเบรนแล้วส่งกรดนิวคลีอิกเข้าสู่ไซโตพลาสซึม (Rakhuba, et al., 2010; พิไลพันธ์ พุระวัฒน์, 2540)

2.6.1.3 การสังเคราะห์กรดนิวคลีอิก และโครงสร้างของแบคทีเรียโอเฟจ (biosynthesis)

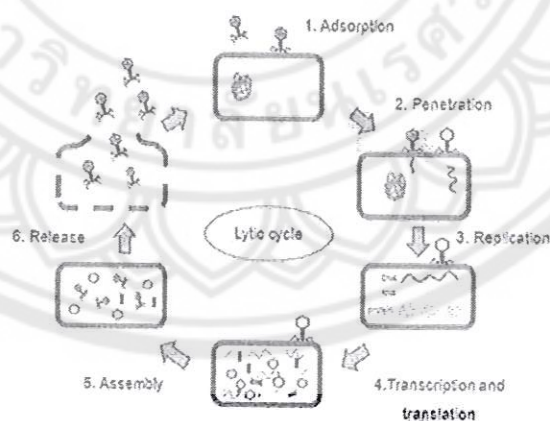
ในกระบวนการนี้จะมี ความแตกต่างกันตามชนิดของกรดนิวคลีอิกของแบคทีเรียโอเฟจว่าเป็น อาร์เอ็นเอ หรือ ดีเอ็นเอ และเป็นสายคู่หรือสายเดี่ยว (Weigel and Seitz, 2006) เฟจบางชนิดจะมีการสลายกรดนิวคลีอิกของแบคทีเรียโฮสต์เพื่อใช้เป็นสารตั้งต้น (precursor) ในการสังเคราะห์ดีเอ็นเอของแบคทีเรียโอเฟจ โดยแบคทีเรียโอเฟจจะเริ่มต้นการสังเคราะห์เอ็มอาร์เอ็นเอ (mRNA) จากดีเอ็นเอของแบคทีเรียโอเฟจ โดยอาศัยอาร์เอ็นเอโพลิเมอเรส (RNA polymerase) ของแบคทีเรีย ซึ่งเรียกว่า เอ็มอาร์เอ็นเอช่วงต้น (early mRNA) แล้วจะเกิดการแปลรหัส (translation) ไปเป็นโปรตีนและเอนไซม์ที่สำคัญ หลังจากนั้นจะมีการถอดรหัสช่วงหลังจากการเพิ่มจำนวนของชุดดีเอ็นเอของแบคทีเรียโอเฟจ โดยใช้อาร์เอ็นเอโพลิเมอเรสของแบคทีเรียโอเฟจเอง จะได้เป็นเอ็มอาร์เอ็นเอช่วงหลัง (late mRNA) ซึ่งเมื่อแปลรหัสออกมาจะเป็นโปรตีนโครงสร้างของ แบคทีเรียโอเฟจเช่น แคบชิด ส่วนหาง รวมทั้งเอนไซม์และโปรตีนที่เกี่ยวข้องในกระบวนการประกอบอนุภาคของแบคทีเรียโอเฟจ (Kutter and Sulakvelidze, 2005; พิไลพันธ์ พุระวัฒน์, 2540)

2.5.1.4 การประกอบเป็นอนุภาคของแบคทีริโอเฟจ (assembly หรือ morphogenesis)

ในกระบวนการนี้กรดนิวคลีอิก และโปรตีนโครงสร้างต่างๆของแบคทีริโอเฟจจะรวมกันเกิดเป็นอนุภาคของแบคทีริโอเฟจที่สมบูรณ์ โดยการประกอบกันเป็นอนุภาคแบคทีริโอเฟจนี้จะอาศัยโปรตีน 2 กลุ่ม คือโปรตีนโครงสร้างที่จะกลายเป็นส่วนประกอบของอนุภาค แบคทีริโอเฟจ และโปรตีนที่ใช้ในกระบวนการประกอบเป็นอนุภาค แต่จะไม่ใช่ส่วนประกอบส่วนหนึ่งส่วนใดของอนุภาค โดยการประกอบอนุภาคของแบคทีริโอเฟจจะเริ่มจากกรดนิวคลีอิกจะถูกบรรจุในแคปซิดที่สร้างขึ้นจากนั้นแคปซิดที่ห่อหุ้มกรดนิวคลีอิกจะมีการเชื่อมต่อเข้ากับส่วนหาง และซีทห่อหุ้ม ส่วนแบคทีริโอเฟจที่มีรูปร่างเป็นสายยาว (filamentous phage) กรดนิวคลีอิกและโปรตีนจะรวมเข้ากันเป็นอนุภาคที่สมบูรณ์ภายในขั้นตอนเดียว ทั้งนี้จำนวนอนุภาคของแบคทีริโอเฟจขึ้นอยู่กับความจำเพาะของแบคทีเรียโฮสต์กับแบคทีริโอเฟจแต่ละชนิด (Aksyuk and Rossmann, 2011; พิไลพันธ์ พุฒวัฒน์, 2540)

2.5.1.5 การปลดปล่อยแบคทีริโอเฟจลูกหลานออกจากเซลล์ (release)

ในการทำลายผนังเซลล์ของแบคทีเรียเพื่อให้เซลล์แตก โดยแบคทีริโอเฟจจะมีการสังเคราะห์โปรตีนที่ทำงานร่วมกัน 2 ชนิดคือ เอนไซม์โฮลิน (holin) เพื่อย่อยสลายเยื่อหุ้มเซลล์และเอนไซม์เอ็นโดไลซิน (endolysin) เพื่อย่อยสลายผนังเซลล์ โดย holin เป็น hydrophobic proteins ขนาดเล็ก ซึ่งจะสอดแทรก holin monomer เข้าไปในผนังเซลล์ของแบคทีเรียจากทางด้านในของเซลล์แล้วประกอบเป็น holin oligomers ทำให้เกิดรูบริเวณผนังเซลล์หลังจากนั้น endolysin ซึ่งเป็นเอนไซม์สามารถผ่านเข้าไปย่อยทำลายชั้น peptidoglycan ทำให้เซลล์แบคทีเรียแตกและปลดปล่อยแบคทีริโอเฟจออกมา (Kutter and Sulakvelidze, 2005; พิไลพันธ์ พุฒวัฒน์, 2540)



รูปที่ 3 แสดงวงจรชีวิตแบบไลติกเฟจ

ที่มา : ดัดแปลงจาก Labrie, Samson, and Moineau, 2010

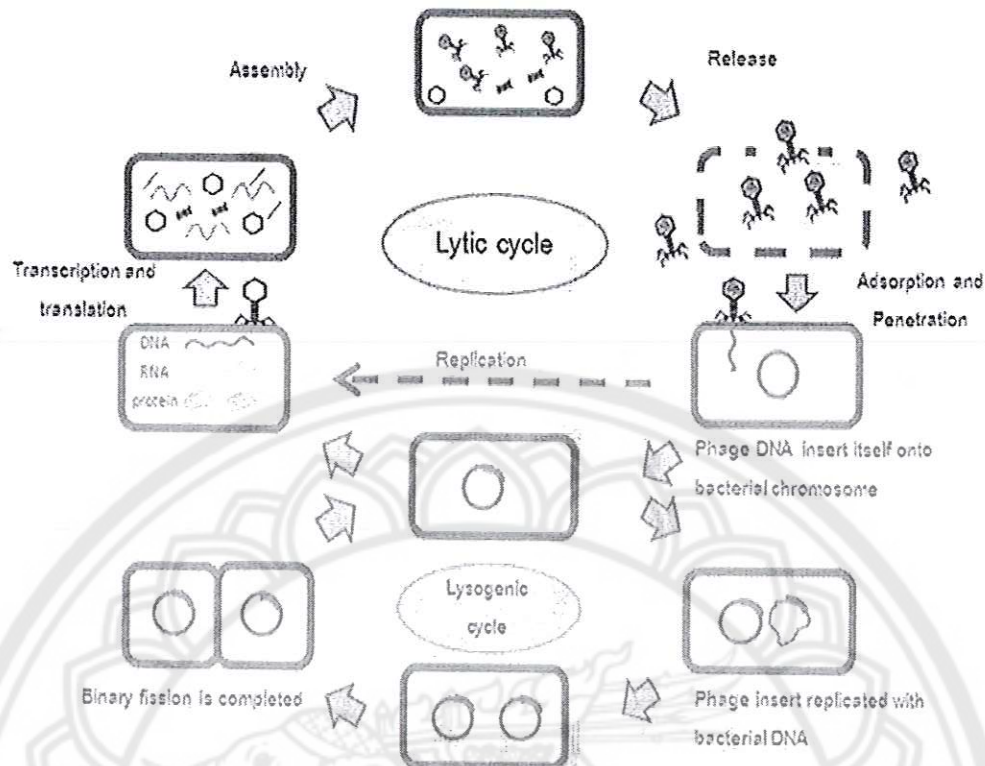
2.5.2 วงจรชีวิตแบบไลโซจีนิค (Lysogenic cycle)

แบคทีเรียโอเฟจในวงจรชีวิตนี้จะเป็นแบบไลโซจีนิค และไลติก เรียกว่า Temperate phage หรือ ไลโซจีนิคเฟจ (lysogenic phage) หมายถึง แบคทีเรียโอเฟจที่เข้าสู่แบคทีเรียแล้วไม่มีการสร้างแบคทีเรียโอเฟจลูกหลานได้ แต่จีโนมของแบคทีเรียโอเฟจจะสอดแทรกเข้าไปอยู่กับโครโมโซมของแบคทีเรีย โดยกระบวนการ genetic recombination เรียกจีโนมของแบคทีเรียโอเฟจ อยู่นี้ว่า โปรเฟจ (prophage) แบคทีเรียโอเฟจบางชนิด เช่น Mu phage ก็สามารถกลับเข้าวงจรชีวิตแบบ ไลติกเฟจได้ เมื่อถูกเหนี่ยวนำโดยแสงอัลตราไวโอเล็ต หรือ ความร้อน เป็นต้น (Hanlon, 2007) เมื่อโครโมโซมของแบคทีเรียแบ่งตัวโปรเฟจ (prophage) ก็จะแบ่งตัวไปพร้อมกันเหมือนกับเป็นส่วนหนึ่งของโครโมโซม แบคทีเรียเซลล์ใหม่ที่เกิดขึ้นก็จะมี โปรเฟจ (prophage) แฝงอยู่ด้วย ซึ่งจะประกอบด้วยขั้นตอนต่างๆดังนี้ ดังภาพประกอบที่ 4 (Kutter and Sulakvelidze, 2005)

2.5.2.1. แบคทีเรียโอเฟจจะเข้าเกาะกับตัวรับ (receptor site) ที่อยู่บนผนังเซลล์ของแบคทีเรียโฮสต์ในตำแหน่งที่จำเพาะและส่งผ่านดีเอ็นเอที่เป็นสายตรงเข้าสู่เซลล์แบคทีเรียโฮสต์ (Carter, 2007)

2.5.2.2 ในช่วงแรกดีเอ็นเอของแบคทีเรียโอเฟจจะเพิ่มจำนวนดีเอ็นเอและถอดรหัสโดยอาศัยเอ็นไซม์จากแบคทีเรีย เมื่อได้ mRNA ของแบคทีเรียโอเฟจแล้ว จะเกิดการแปลรหัสและได้โปรตีนชนิดหนึ่งเรียกว่า โปรตีนควบคุม (repressor protein) ซึ่งจะเข้าขัดขวางการทำงานของ RNA polymerase ที่เกี่ยวข้องกับการสังเคราะห์โปรตีนที่เป็นโครงสร้างอนุภาคของ แบคทีเรียโอเฟจและโปรตีนที่เกี่ยวข้องกับขั้นตอนการปลดปล่อยแบคทีเรียโอเฟจ (พรรณทิพา จันทรทััง, 2553) เช่น แลมดาเฟจจะมี *CI* gene ที่สร้าง repressor protein เพื่อไปจับกับตำแหน่ง operator เพื่อไปกีดการสังเคราะห์โปรตีนของยีนอื่นๆ ดังนั้นจึงไม่เข้าสู่วงจรแบบไลติก จากนั้น ดีเอ็นเอของแบคทีเรียโอเฟจแบบปิดจะเข้าสอดแทรก (integration) กับดีเอ็นเอของแบคทีเรีย ซึ่งเรียกแบคทีเรียโอเฟจในชื่อนี้ว่า โปรเฟจ (prophage) และเรียกแบคทีเรียนี้ว่า ไลโซเจน (lysogen) ซึ่ง prophage จะมีการเพิ่มจำนวนไปพร้อมกับแบคทีเรียโฮสต์ (Carter, 2007)

2.5.2.3 การชักนำโปรเฟจเข้าสู่วงจรชีวิตแบบไลติก (induction) อาจเกิดขึ้นได้เอง (spontaneous induction) หรือการชักนำอื่นๆที่มีผลรบกวนหรือทำลายดีเอ็นเอทำให้แบคทีเรียไม่สามารถดำรงชีวิตอยู่ได้ เช่น แสงอัลตราไวโอเล็ต สารเคมี และความร้อน เป็นต้น (Hanlon, 2007) สามารถทำให้โปรเฟจหลุดออกจากโครโมโซมของแบคทีเรียและเข้าสู่วงจรชีวิตแบบไลติก การชักนำโปรเฟจเข้าสู่วงจรชีวิตแบบไลติกนั้นจะมีความเกี่ยวข้องกับการลดระดับลง หรือการทำลายของโปรตีนควบคุม (ทีโลพันธ์ พุฒวัฒน์, 2540)



รูปที่ 4 แสดงวงจรชีวิตแบบไลโซจีนิกเฟจ

2.6 ความจำเพาะระหว่างแบคทีเรียโอเฟจกับโฮสต์

ความสัมพันธ์ระหว่างแบคทีเรียโอเฟจและแบคทีเรียโฮสต์จะอาศัยความจำเพาะของโครงสร้างที่อยู่บนอนุภาคของแบคทีเรียโอเฟจที่เรียกว่า "Attachment site" ตรงส่วนหัวของ แบคทีเรียโอเฟจเช่น แคปซิด หรือ ตรงบริเวณส่วนหางเช่น Tailed fiber เมื่อ Attachment site ของแบคทีเรียโอเฟจเข้าจับกับ ตำแหน่งตัวรับ (receptor site) อย่างจำเพาะของแบคทีเรียโฮสต์ซึ่งเป็นโครงสร้างที่อยู่ผิวด้านนอกของแบคทีเรียโฮสต์ จึงทำให้เริ่มเข้าสู่กระบวนการ adsorption ของ แบคทีเรียโอเฟจ (Kropinski, 2006) ความจำเพาะระหว่างแบคทีเรียโอเฟจและแบคทีเรียโฮสต์มีความสำคัญมากในการเพิ่มจำนวนของแบคทีเรียโอเฟจภายในเซลล์โฮสต์ และการทำลายแบคทีเรียโฮสต์ แบคทีเรียโอเฟจมีความจำเพาะกับโฮสต์ในระดับหนึ่ง ถ้าหากแบคทีเรียเกิดการกลาย (mutate) ซึ่งทำให้ตำแหน่งตัวรับของแบคทีเรียโอเฟจเปลี่ยนไป อาจส่งผลทำให้แบคทีเรียชนิดนั้นทนทานต่อแบคทีเรียโอเฟจสายพันธุ์นั้นๆได้ (Labrie, et al., 2010) โดยแบคทีเรียโอเฟจจะจับกับโมเลกุลที่ปรากฏบนผิวเซลล์แบคทีเรียได้หลายชนิดได้แก่ โปรตีน, กรดไทโคอิก (teichoic

acid), ลิโปโพลิแซคคาไรด์ (lipopolysaccharide), แฟลกเจลลา (flagella), แคปซูล (capsule), พิล (pili) และ พอริน (porin) เป็นต้น ความจำเพาะระหว่างแบคทีเรียโอเฟจและแบคทีเรียโฮสต์แต่ละชนิดมีค่อนข้างแคบกล่าวคือแบคทีเรียโอเฟจชนิดใดชนิดหนึ่ง จะสามารถจับกับตัวรับบนเซลล์ของแบคทีเรียโฮสต์เพียงสปีชีส์ใดสปีชีส์หนึ่ง หรือสายพันธุ์ใดสายพันธุ์หนึ่งเท่านั้น คุณสมบัติดังกล่าวจึงเป็นผลดีต่อการนำไปพัฒนาใช้ในการรักษาเนื่องจากไม่ส่งผลกระทบต่อเชื้อประจำถิ่นในร่างกาย (Normal flora) (Hanton, 2007)

2.7 การประยุกต์ใช้แบคทีเรียโอเฟจในด้านต่างๆ

ปัจจุบันมีการประยุกต์ใช้แบคทีเรียโอเฟจในด้านต่างๆดังต่อไปนี้

2.7.1 ไวรัสบำบัด (Phage therapy)

การศึกษาไวรัสบำบัดเริ่มในปี ค.ศ. 1921 มีนักวิทยาศาสตร์ชื่อ Richard Bruynonge และ Joseph Matsin เป็นนักวิทยาศาสตร์กลุ่มแรกที่ใช้ไวรัสบำบัดเชื้อ *Staphylococcus* ที่เป็นปัญหาในติดเชื้อหลังการผ่าตัด โดยการฉีดแบคทีเรียโอเฟจบนผิวหนังรอบๆบริเวณแผลที่ติดเชื้อหลังจากการผ่าตัด ผลที่เกิดขึ้นพบว่าแบคทีเรียโอเฟจสามารถลดการติดเชื้อได้อย่างมีประสิทธิภาพ จึงเป็นจุดเริ่มต้นให้นักวิทยาศาสตร์หลายๆ กลุ่มศึกษาแบคทีเรียโอเฟจเพื่อใช้ในการรักษาโรคที่เกิดจากการติดเชื้อ (Phumkhom, 2009) เมื่อมีการค้นพบทางด้านจุลชีพในปี ค.ศ.1941 จึงทำให้ความสนใจในการศึกษาแบคทีเรียโอเฟจลดลงส่งผลทำให้แบคทีเรียโอเฟจถูกนำไปใช้ในวงแคบเฉพาะในรัสเซียและประเทศที่เคยเป็นส่วนหนึ่งของอดีตสหภาพโซเวียตแต่ก็ได้ใช้กันมาเป็นเวลากว่า 90 ปีแล้วและมีเพียงประเทศจอร์เจียที่อนุญาตให้ใช้อย่างเป็นทางการ หลังจากมีค้นพบเชื้อดื้อยาทางด้านจุลชีพเพิ่มอย่างต่อเนื่องทำให้แบคทีเรียโอเฟจกลับมาได้รับความสนใจเพิ่มมากขึ้น ที่ผ่านมามีการศึกษาที่สะท้อนให้เห็นว่า phage therapy มีศักยภาพในการกำจัดแบคทีเรียได้หลายชนิด สิ่งที่น่าสนใจคือแบคทีเรียโอเฟจสามารถใช้ในการควบคุมแบคทีเรียที่ใช้เป็นอาวุธชีวภาพ (bio-warfare) เช่น lytic enzyme (PlyG) ซึ่งแยกได้จาก gamma phage มีความจำเพาะในการทำลาย *Bacillus anthracis* (Watanabe, Morimoto, and Shiomi, 1975) ในด้านการแพทย์ได้มีการพัฒนานำเอาเอนไซม์ endolysin มาสกัดเป็นเอนไซม์บริสุทธิ์เพื่อใช้เป็น therapeutic agent เช่น การใช้ pneumococcal bacteriophage lytic enzyme (Pal) ที่สกัดจาก pneumococcal phage ฆ่า pneumococci ที่ดื้อต่อ penicillin (Loeffler, Nelson and Fischetti, 2001) โดยอาจใช้เพียงอย่างเดียวหรือใช้ร่วมกับยาต้านจุลชีพ เพื่อทำลายแบคทีเรียดื้อยา (antibiotic-resistant bacteria) หรือใช้แบคทีเรียโอเฟจในการทำลายแบคทีเรียที่สร้าง biofilm ที่ยากในการกำจัด (Phumkhom, 2009) ไวรัสบำบัดเป็นการรักษาที่ตรงจุดมากกว่าการใช้ยาต้านจุลชีพ เนื่องจากแบคทีเรีย

โอเฟจสามารถเจาะทะลุผนังแบคทีเรียเข้าไปได้ในขณะที่ยาเข้าไปไม่ได้จึงไม่เป็นอันตรายต่อผู้ป่วยและแบคทีเรียที่เป็นประโยชน์อื่นๆ

2.7.2 Phage typing

เป็นการนำแบคทีเรียโอเฟจมาประยุกต์ใช้ในการจัดจำแนกแบคทีเรียสายพันธุ์ต่าง ๆ ที่อยู่ในจีแนส (genus) และสปีชีส์ (species) เดียวกันออกเป็นกลุ่มตามความไวต่อการติดเชื้อ แบคทีเรียโอเฟจ โดยมักใช้แบคทีเรียโอเฟจชนิดต่างๆรวมกัน ในการศึกษา ทั้งนี้อาศัยความจำเพาะระหว่างการเกาะติดของแบคทีเรียโอเฟจกับที่รับบนผนังเซลล์ของแบคทีเรีย เมื่อเกิดการ lysis ของแบคทีเรียจะสังเกตเห็น plaque หรือ clear zone เกิดขึ้นกับแบคทีเรียที่เป็นวงใสเล็ก ๆ บนผิวของอาหารเลี้ยงเชื้อ (agar surface) เป็นประโยชน์สำหรับงานทางระบาดวิทยาในการสืบหาเชื้อต้นเหตุของการระบาด (Phumkhom, 2009) ตัวอย่างเช่น เมื่อพบการระบาดของ *Vibrio cholera* ที่ทำให้เกิดโรคอหิวาตกโรคในสองพื้นที่ หากต้องการทราบว่า มีแหล่งที่มาเดียวกันหรือไม่ สามารถทำได้โดยนำแบคทีเรียที่แยกได้จากสองที่มาทดสอบความไวต่อชุดของแบคทีเรียโอเฟจ หากเชื้อจากสองสถานที่มีความไวต่อชุดของแบคทีเรียโอเฟจเหมือนกัน แสดงว่าการระบาดน่าจะเกิดจากแหล่งเดียวกัน จากการศึกษาการใช้แบคทีเรียโอเฟจในการการกำจัดจำแนก Enterohemorrhagic *Escherichia coli* (EHEC) และ *Campylobacter* ว่าสามารถใช้ได้อย่างมีประสิทธิภาพในการติดตามการระบาดในอาหาร (Hagens and Loessner, 2007) นอกจากนี้ยังใช้ประโยชน์ในการจำแนกเชื้อแบคทีเรียสายพันธุ์ใหม่ๆ เช่น จำแนกเชื้อ *Salmonella Typhi* ออกเป็นสายพันธุ์ที่มีความรุนแรงในการก่อโรค และ สายพันธุ์ที่ก่อโรคไม่รุนแรง โดยอาศัยคุณสมบัติของเฟจที่จะทำลายเฉพาะ *Salmonella Typhi* ที่มี Vi antigen ซึ่งสร้างจากเฟจที่อยู่ในแบคทีเรียและทำให้ *Salmonella Typhi* ก่อโรคที่รุนแรงได้ (พิไลพันธ์ พุฒวัฒน์, 2540)

2.7.3 พันธุวิศวกรรม (Genetic engineering)

นำแบคทีเรียโอเฟจมาใช้เป็นยีนพาหะ (gene vector) เพื่อนำยีนที่ต้องการเข้าสู่โฮสต์เซลล์ที่เป็นแบคทีเรียในการทำโคลนดีเอ็นเอ (DNA cloning) แบคทีเรียโอเฟจที่มีบทบาทในการนำมาใช้เกี่ยวกับงานทางพันธุวิศวกรรมคือแบคทีเรียโอเฟจที่มีวงจรชีวิตแบบไลโซจินิก ซึ่งเช่น λ phage ที่มีขนาดจีโนมประมาณ 49 กิโลเบส เป็น temperate phage ของ *E.coli* เมื่อตัดต่อยีนที่ต้องการเข้าไปในดีเอ็นเอของ λ phage จะได้เป็นดีเอ็นเอสายผสม (recombinant DNA) จากนั้นนำเข้าสู่โฮสต์เซลล์แบคทีเรีย แบคทีเรียโอเฟจจะนำดีเอ็นเอสายผสมแทรกเข้าไปในจีโนมของแบคทีเรียและใช้กลไกของโฮสต์เพื่อสร้างโปรตีนของแบคทีเรียโอเฟจรวมทั้งโปรตีนจากดีเอ็นเอที่ใส่เข้าไป (พิไลพันธ์ พุฒวัฒน์, 2540)



2.7.4 Bio-control

การศึกษาแบคทีเรียโอเฟจที่มีอย่างแพร่หลายในปัจจุบันทำให้สามารถใช้ประโยชน์ได้หลายด้าน เช่น ช่วยลดแบคทีเรีย *Campylobacter* ในเนื้อไก่สด (Wagenaar, et al., 2005) ลดเชื้อ *Listeria monocytogenes* ในอาหารสด หรือลดแบคทีเรียที่ทำให้อาหารเน่าเสีย (Bigot, et al., 2011) โดยปี ค.ศ. 2006 คณะกรรมการอาหารและยาของสหรัฐอเมริกา (The U.S. Food and Drug Administration: USFDA) เชื่อว่าการนำแบคทีเรียโอเฟจมาใช้โดยตรงค่อนข้างปลอดภัยและได้อนุมัติให้ฉีดพ่นแบคทีเรียโอเฟจไปบนอาหารเพื่อป้องกันการปนเปื้อนแบคทีเรีย ในด้านการเกษตรแบคทีเรียโอเฟจถูกนำไปใช้ช่วยลดแบคทีเรียก่อโรคลายอย่างเช่น *C. jejuni*, *E. coli* และ *Salmonella* นอกจากนี้ในฟาร์มสัตว์ยังใช้ประโยชน์ของแบคทีเรียโอเฟจควบคุมแบคทีเรีย *Lactococcus* และ *Vibrio* ในฟาร์มเลี้ยงปลา และควบคุมแบคทีเรีย *Erwinia amylovora* และ *Xanthomonas campestris* ในต้นพืชต่างๆ (Mahony, et al., 2011)

นอกจากนี้คุณสมบัติที่จำเพาะของ endolysin ซึ่งเป็นเอนไซม์จากแบคทีเรียโอเฟจที่สามารถทำลายเชื้อแบคทีเรียได้อย่างจำเพาะ จึงได้มีการนำมาประยุกต์ใช้ในอุตสาหกรรมอาหาร (food industry) เพื่อทำลายเชื้อแบคทีเรียที่ไม่ต้องการและแบคทีเรียที่ก่อโรค (pathogenic bacteria) ที่อาจปนมาในอาหารและผลิตภัณฑ์ที่ยังไม่สุก สำหรับทางด้านเทคโนโลยีชีวภาพมีการใช้แบคทีเรียโอเฟจในการสร้างพืชจำลองพันธุ์ (transgenic plant) ซึ่งมี phage endolysin gene เพื่อต่อต้านเชื้อแบคทีเรียที่ก่อโรคในพืช เช่น การใช้ T4 lysozyme ในมันฝรั่งเพื่อป้องกันการทำลายจากเชื้อก่อโรคพืช *Erwinia carotovora* (De Vries, et al., 1999)

2.8 แบคทีเรียโอเฟจที่จำเพาะต่อ *A. baumannii*

แบคทีเรียโอเฟจที่จำเพาะต่อ *A. baumannii* (*A. baumannii* phage) คือแบคทีเรียโอเฟจที่สามารถทำให้เกิดการติดเชื้อ *A. baumannii* และใช้แบคทีเรียดังกล่าวในการเพิ่มจำนวน แบคทีเรียโอเฟจลูกหลาน ในอดีต *A. baumannii* phage ยังมีการศึกษาอย่างไม่แพร่หลาย โดยในอดีต *A. baumannii* phage ได้มีการศึกษาในสัตว์ทดลองโดย J.S. Soothill ในปี ค.ศ. 1992 พบว่าเมื่อนำเชื้อ *A. baumannii* ปริมาณ 5 เท่าของ LD50 (1.5×10^8 CFU/mL) ใส่ในหนูทดลองเพื่อที่จะให้เกิดโรคติดเชื้อ จากนั้นทำการเติม *A. baumannii* bacteriophage ปริมาณ 10^2 อนุภาค ซึ่งสามารถที่ช่วยป้องกันให้หนูทดลองมีชีวิตรอดได้หลังจากที่ได้รับเชื้อ *A. baumannii* โดยเทียบกับการติดเชื้อที่ไม่มีการใช้แบคทีเรียโอเฟจรักษา (Soothill, 1992) หลังจากมีการตีพิมพ์และการเพิ่มความรุนแรงของการติดเชื้อ *A. baumannii* ส่งผลทำให้ยาด้านจุลชีพที่มีอยู่ใช้รักษาในปัจจุบันไม่ได้ผลเท่าที่ควร จึงมีการศึกษาแบคทีเรีย

0 QR
201
1716
67765
2561

โอเฟจเพื่อใช้เป็นทางเลือกหนึ่งในการควบคุมและรักษา ซึ่งในปัจจุบันทำให้มีการแยกและศึกษา *A. baumannii* phage เพิ่มขึ้น แสดงตารางที่ 1 จากการศึกษาของ Lin และคณะ (2010) ได้มีการแยก และศึกษาลักษณะของ *A. baumannii* phage เป็นครั้งแรกในประเทศไต้หวัน โดยพบว่าสามารถแยก *A. baumannii* phage ได้ 10 สายพันธุ์ ซึ่งจัดเป็นแบคทีริโอเฟจในกลุ่มของ caudovirales order ซึ่งประกอบไปด้วย แฟมิลีของ Podoviridae และแฟมิลีของ Myoviridae จากนั้นเลือกศึกษา ϕ AB2 ซึ่งมีจีโนมเป็น dsDNA ขนาด 40 Kb เมื่อศึกษาลำดับนิวคลีโอไทด์บางส่วนขนาด 2.1 Kb พบว่ามีลำดับนิวคลีโอไทด์ที่คล้ายคลึงกับ Tubular protein A และ B ของ *P. aeruginosa* phage LKA1 โดย ϕ AB2 เป็นสมาชิกอยู่ในแฟมิลีของ Podoviridae และ ϕ AB2 เป็นแบคทีริโอเฟจที่จำเพาะต่อ *A. baumannii* ATCC17978 มีการเกาะติดเซลล์ (adsorption) อย่างรวดเร็ว (> 99% adsorbed ใน 8 นาที), มีช่วง latent period ที่สั้น (<10 นาที) และมีขนาด burst ประมาณ 200 PFU/infected cell จากการศึกษาของ Lai และคณะ (2011) โดยนำ ϕ AB2 endolysin gene (*LysAB2*) ไปผลิตโปรตีน endolysin (*LysAB2*) เพื่อนำไปทดลองในการทำลายแบคทีเรียพบว่าสามารถทำลายผนังเซลล์ของ *A. baumannii* และ *S. aureus* ได้ นอกจากนี้ *LysAB2* มีความเสถียรต่ออุณหภูมิในช่วง 20 – 40 องศาเซลเซียส และมีความเสถียรในช่วง pH 4 - 8 นอกจากนี้ยังมีการศึกษาของ Yang และคณะ (2011) ที่มีการแยกและศึกษาลักษณะของ AB1 ซึ่งเป็น *A. baumannii* phage ที่จัดอยู่ในแฟมิลีของ Siphoviridae มีจีโนมเป็น dsDNA ขนาด 45.2 - 46.9 Kb เมื่อทดสอบความทนทานพบว่าสามารถอยู่รอดในอุณหภูมิที่ 50 องศาเซลเซียส ได้นาน 60 นาที และทนต่อ pH ในช่วง pH 5.0 – 9.0 เป็นแบคทีริโอเฟจที่จำเพาะต่อ *A. baumannii* มีการเกาะติดเซลล์ (adsorption) อย่างรวดเร็ว มีช่วง latent period ที่สั้น (< 8 นาที) และมีขนาด burst ประมาณ 409 PFU/infected cell จากนั้น Lee และคณะ (2011) ได้แยกแบคทีริโอเฟจ ϕ Ab53 ที่จำเพาะต่อ *A. baumannii* ϕ Ab53 ซึ่งแบคทีริโอเฟจดังกล่าวแยกจากเสมหะผู้ป่วยรายหนึ่ง เมื่อนำไปศึกษาพบว่า ϕ Ab53 จัดจำแนกอยู่ในแฟมิลีของ Myoviridae มีกรดนิวคลีอิกเป็น dsDNA ขนาด 95 Kb คุณสมบัติทางสรีรวิทยาพบว่าการเกาะติดเซลล์ (adsorption > 99%) อย่างรวดเร็วภายใน 5 นาที รวดเร็ว มีช่วง latent period ที่สั้น (< 10 นาที) และมีขนาด burst ประมาณ 150 PFU/infected cell และมีความสามารถในการติดเชื้อ (host range) ที่ 27% ของการทดสอบเชื้อ MDRAB สายพันธุ์อื่นๆ สำหรับแบคทีริโอเฟจ AP22 ที่มีการแยกและศึกษาลักษณะโดย Popova และคณะ (2012) พบว่า AP22 ที่แยกจากวัสดุทางการแพทย์ของโรงพยาบาลแห่งหนึ่งในประเทศรัสเซีย เป็นแบคทีริโอเฟจที่มีวงจรชีวิตแบบไลติคเฟจ จำแนกอยู่ในแฟมิลีของ Myoviridae และ AP22 ยังมีสารพันธุกรรมเป็น dsDNA ขนาด 46 Kb คุณสมบัติทางสรีรวิทยาพบว่าการเกาะติดเซลล์ (adsorption > 99%) อย่าง

รวดเร็วกว่าภายใน 5 นาที และมีขนาด burst ประมาณ 240 PFU/infected cell และมีความสามารถในการติดเชื้อ (host range) ที่กว้างถึง 68% (89/130)ของการทดสอบเชื้อ MDRAB สายพันธุ์อื่นๆ สำหรับการศึกษาของ Yele และคณะ (2012) ที่ทำการแยกแบคทีเรียโอเฟจ AB7-IBB1 จากน้ำเสีย และนำมาศึกษาลักษณะทางชีววิทยา อนุชีววิทยา และผลต่อการสร้าง biofilm ของ *A. baumannii* พบว่า AB7-IBB1 สามารถจัดจำแนกอยู่ในแฟมิลีของ *Siphoviridae* และมีกรดนิวคลีอิกเป็น dsDNA ขนาด 75 Kb สำหรับคุณสมบัติทางสรีรวิทยาพบว่ามีการเกาะติดเซลล์ (adsorption > 99%) อย่างรวดเร็วภายใน 5 นาที มีช่วง latent period น้อยกว่า 10 นาที และมีขนาด burst ประมาณ 125 PFU/infected cell ผลการศึกษาแบคทีเรียโอเฟจดังกล่าวต่อการสร้าง biofilm พบว่าสามารถมีผลต่อการควบคุมการสร้าง biofilm ของเชื้อ *A. baumannii* AllMS 7 ทั้ง biotic surface (human embryonic kidney 293 cell line) และ abiotic surface (polystyrene) ส่วนการศึกษาของ Thawal และคณะ (2012) ที่มีการแยกและศึกษาลักษณะของ AB7-IBB2 ซึ่งจัดอยู่ในแฟมิลีของ *Podoviridae* มีจีโนมเป็น dsDNA ขนาด 170 Kb และมีการเกาะติดเซลล์ (adsorption) อย่างรวดเร็วภายใน 4 นาที มีช่วง latent period ที่ 25 นาที และมีขนาด burst ประมาณ 22 PFU/infected cell เมื่อนำไปศึกษาการควบคุม biofilm พบว่า สามารถยับยั้งไม่ให้เกิดการสร้าง biofilm ของ *A. baumannii* AllMS 7 และ ทำลาย biofilm ที่เชื้อแบคทีเรียดังกล่าวสร้างขึ้น (Thawal, et al., 2012) นอกจากนี้การศึกษาของ Jin และคณะ (2012) พบว่าแบคทีเรียโอเฟจ ZZ1ที่แยกได้จากน้ำบ่อเลี้ยงปลา โดยจำแนกอยู่ในแฟมิลีของ *Myoviridae* และ ZZ1 ยังมีสารพันธุกรรมเป็น dsDNA ขนาด 116 Kb คุณสมบัติทางสรีรวิทยาพบว่ามีการเกาะติดเซลล์ (adsorption > 99%) อย่างรวดเร็วภายใน 9 นาที และมีขนาด burst ประมาณ 200 PFU/infected cell เมื่อทดสอบความทนทานพบว่าสามารถอยู่รอดในอุณหภูมิที่ 50 - 60 องศาเซลเซียส และทนต่อความเป็นกรดต่างในช่วง pH 4.0 - 9.0

ตาราง 1 แสดงการศึกษาแบคทีเรียโอเฟลจที่จำเพาะต่อเชื้อ *A. baumannii* ในปัจจุบัน

Phage name	<i>A. baumannii</i> strains	Source	Family	TEM		DNA size(Kb)	reference
				Head (nm)	Tail (nm)		
φAB2	ATCC17978	Wastewater (Taiwan)	Podoviridae	60	9	40	Lin และคณะ(2010)
AB1	KD311 (Clinical strain)	Marine sediment (China)	Siphoviridae	50	80	45.2 - 46-9	Yang และคณะ(2011)
Apb53	Ab53 (Clinical strain)	Sputum sample (Taiwan)	Myoviridae	59	93 - 150	95	Lee และคณะ (2011)
AP22	1053 (Clinical strain)	Clinical materials (Russia)	Myoviridae	64	85 - 90	46	Popova และคณะ (2012)
AB7-IBB2	AIMS7 (Clinical strain)	Sewage (India)	Podoviridae	35	7	170	Thawal และคณะ(2012)

ตาราง 1 (ต่อ)

Phage name	<i>A. baumannii</i> strains	Source	Family	TEM		DNA size(kb)	reference
				Head (nm)	Tail (nm)		
AB7-IBB1	AIIMST (Clinical strain)	Sewage (India)	Siphoviridae	50	240	72.5 - 74	Yeke และคณะ (2012)
ZZ1	AB09V (Clinical strain)	Fishpond water (China)	Myoviridae	100	120	166.682	Jin และคณะ (2012)

วิธีการดำเนินการวิจัย

1. สายพันธุ์แบคทีเรียและสายพันธุ์แบคทีเรียโอฟาจที่ใช้ในการศึกษา

การศึกษานี้จะใช้เชื้อ *A. baumannii* สายพันธุ์ดื้อยาที่แยกได้จากผู้ป่วยโรงพยาบาลพุทธชินราช (Niomsup et al., 2009) โดยแบคทีเรีย *A. baumannii* จะถูกเลี้ยงในอาหารเลี้ยงเชื้อ LB broth (Criterion, USA) LB agar (Criterion, USA) และใช้แบคทีเรียโอฟาจสายพันธุ์ ที่ Φ ABP-01, Φ ABP-02 และ Φ ABP-04 แยกได้จากบ่อบำบัดน้ำเสียในโรงพยาบาลพุทธชินราช จังหวัดพิษณุโลก ซึ่งเกณฑ์ในการคัดเลือกแบคทีเรียโอฟาจที่นำมาศึกษาควรเป็นแบคทีเรียโอฟาจที่มีความสามารถในการทำลาย host cell เร็วและมีความสามารถในการทำลาย host cell ได้หลายสายพันธุ์

1.1 การเพิ่มจำนวนแบคทีเรียโอฟาจและการศึกษาหาปริมาณแบคทีเรียโอฟาจโดยวิธี Plaque assay

การเพิ่มจำนวนของแบคทีเรียโอฟาจ (Propagation of phage) จะทำโดยใช้วิธีของ Su และคณะ (1998) โดยการนำแบคทีเรีย *A. baumannii* เพาะเลี้ยงในอาหาร LB broth บ่มที่อุณหภูมิ 37 องศาเซลเซียส เขย่าด้วยความเร็ว 150 รอบ/นาที เป็นเวลา 24 ชั่วโมง มาใส่ลงในอาหาร LB broth ปริมาณ 50 มิลลิลิตร นำไปบ่มที่อุณหภูมิ 37 องศาเซลเซียส จนมีค่าการดูดกลืนแสง 0.3 - 0.4 ที่ความยาวคลื่น 600 nm เติมน้ำเกลือที่จำเพาะต่อแบคทีเรียโฮสต์โดยใช้อุณหภูมิของแบคทีเรียโอฟาจมีค่า Multiplicity of infection (MOI) เท่ากับ 0.5 แล้วนำไปบ่มที่อุณหภูมิ 30 องศาเซลเซียส จนกระทั่ง LB broth สี จากนั้นเติม Chloroform เพื่อให้เซลล์แบคทีเรียแตกเพื่อปลดปล่อยอนุภาคแบคทีเรียโอฟาจออกมา จากนั้นนำไปปั่นเหวี่ยงด้วยความเร็ว 4,000 รอบ/นาที เป็นเวลานาน 15 นาที เพื่อทำการแยกเศษเซลล์ที่แตกออกไป ส่วนน้ำใสด้านบนจะถูกกรองโดยใช้ syringe filter ผ่านแผ่นกรองขนาด 0.2 ไมโครเมตร จากนั้นเก็บส่วนที่กรองได้ในหลอดปลอดเชื้อที่อุณหภูมิ 4 องศาเซลเซียส เพื่อใช้ในการศึกษาต่อไป

1.2 การศึกษาความสามารถการทำลายแบคทีเรียโฮสต์ (Wang, 2006)

นำแบคทีเรีย *A. baumannii* เพาะเลี้ยงในอาหาร LB broth บ่มที่อุณหภูมิ 37 องศาเซลเซียส เขย่าด้วยความเร็ว 150 รอบ/นาที เป็นเวลา 24 ชั่วโมง มาใส่ลงในอาหาร LB broth ปริมาณ 50 ml นำไปบ่มที่อุณหภูมิ 37 องศาเซลเซียส เขย่าด้วยความเร็ว 150 รอบ/นาที จนมีค่าการดูดกลืนแสง 0.3 - 0.4 ที่ความยาวคลื่น 600 nm เติมน้ำเกลือที่จำเพาะต่อแบคทีเรียโฮสต์ โดยใช้ปริมาณไวรัสต่อแบคทีเรียมีค่า MOI เท่ากับ 1 แล้วนำไปบ่มที่อุณหภูมิ 30 องศาเซลเซียส จากนั้นวัดค่าการดูดกลืนแสงที่ความยาวคลื่น

600 nm ทุกๆ 2 ชั่วโมง โดยทำการทดลอง 3 ครั้ง การลดลงของค่าการดูดกลืนแสงที่วัดได้แสดงถึงการเกิด การเหนี่ยวนำให้เกิดการทำลายแบคทีเรียโฮสต์ (phage-induced lysis)

2. การศึกษารูปร่างของแบคทีเรียโฮสต์ภายใต้กล้องจุลทรรศน์อิเล็กตรอนแบบส่องผ่าน

2.1 การแยกอนุภาคของแบคทีเรียโฮสต์ให้บริสุทธิ์ (Purification phage particle)

การแยกอนุภาคของแบคทีเรียโฮสต์ให้บริสุทธิ์ที่ดัดแปลงมาจาก Yamamoto และคณะ (1970) โดย นำแบคทีเรียโฮสต์ ตามวิธีการทดลอง 2 มาเติมเกลือ (NaCl) ให้มีความเข้มข้นสุดท้ายเป็น 1 โมลาร์ เชนใน น้ำแข็งเป็นเวลา 1 ชั่วโมง นำไปปั่นเหวี่ยงด้วยความเร็ว 11,000 g เป็นเวลานาน 10 นาที ที่อุณหภูมิ 4 องศาเซลเซียส แยกน้ำใสเติม Polyethylene Glycol 8000 (PEG8000) ใช้ความเข้มข้นเท่ากับ ร้อยละ 8 - 10 เก็บที่อุณหภูมิ 4 องศาเซลเซียส เป็นเวลา 24 ชั่วโมง แล้วนำไปปั่นเหวี่ยงที่ความเร็ว 11,000 รอบ/นาที เป็นเวลานาน 15 นาที ที่อุณหภูมิ 4 องศาเซลเซียส แยกส่วนใสทิ้ง และนำแบคทีเรียโฮสต์ที่ตกตะกอนมา ละลายใน SM buffer เก็บอนุภาคของแบคทีเรียโฮสต์ที่อุณหภูมิ 4 องศาเซลเซียส เพื่อใช้ในการศึกษา ต่อไป

2.2 การศึกษารูปร่างของแบคทีเรียโฮสต์

การศึกษารูปร่างของแบคทีเรียโฮสต์โดยกล้องจุลทรรศน์อิเล็กตรอนดัดแปลงมาจาก Seed และ คณะ (2005) โดยนำอนุภาคของแบคทีเรียโฮสต์ให้บริสุทธิ์ ในวิธีการทดลอง 2.5 หยดลงบนกริด (Grid) เป็น เวลา 3-5 นาทีแล้วล้างด้วย 1mM EDTA จากกริดนั้นย้อมด้วย Uranyl acetate ร้อยละ 0.5 เป็นเวลา 1 นาที ใช้กระดาษกรองซับหรือตะบิเวณรอบๆของกริด แล้วฝังกริดให้แห้งในอากาศ นำไปส่องด้วยกล้อง จุลทรรศน์อิเล็กตรอนแบบส่องผ่าน

3. การศึกษาคุณสมบัติทางอนุชีววิทยาของ อีเอ็นโดแบคทีเรีย บอมมานิไอ แบคทีเรียโฮสต์

3.1 การศึกษาลักษณะโปรตีนของแบคทีเรียโฮสต์ (Analysis of phage protein)

นำแบคทีเรียโฮสต์ที่เพิ่มจำนวนปริมาณ 50 มิลลิลิตร ตามวิธีการทดลอง 2.4 มาเติมเกลือ (NaCl) ให้มีความเข้มข้นสุดท้ายเป็น 1 โมลาร์ เชนในน้ำแข็งเป็นเวลา 1 ชั่วโมง นำไปปั่นเหวี่ยงด้วยความเร็ว 11,000 g เป็นเวลานาน 10 นาที ที่อุณหภูมิ 4 องศาเซลเซียส แยกน้ำใสในขวดทดลองรูปชมพู่ขนาด 250 มิลลิลิตร และเติม PEG8000 ให้มีความเข้มข้นสุดท้ายเท่ากับ ร้อยละ 8 - 10 (8 - 10% (w/v)) เก็บที่ อุณหภูมิ 4 องศาเซลเซียส เป็นเวลา 24 ชั่วโมง แล้วนำไปปั่นเหวี่ยงที่ความเร็ว 11,000 รอบ/นาทีเป็น เวลานาน 15 นาที ที่อุณหภูมิ 4 องศาเซลเซียส แยกส่วนใสทิ้ง และนำแบคทีเรียโฮสต์ที่ตกตะกอนมา ละลายใน Phosphate buffer saline pH 7.2 (PBS pH7.2) แล้วนำมาผสมกับ sample buffer (62.5

mMTris-HCL pH 6.8, 5% 2-mercaptoethanol, 2% sodium dodecyl sulfate, 10% glycerol และ 0.01% bromphenol blue) นำไปต้มเป็นเวลา 5 นาที จากนั้นนำมาแยกขนาดโปรตีนใน 15% SDS-polyacrylamidegel โดยใช้กระแสไฟฟ้า 150 โวลต์เป็นเวลา 60 นาที และนำแผ่นเจลที่ได้ไปย้อมด้วย 0.125% Coomassie blue R-250 นาน 1 ชั่วโมง หลังจากนั้นจึงล้างสีย้อมด้วย Destain solution นาน 1 คืน

3.2 การศึกษารูปแบบของดีเอ็นเอของ อีเอ็นโตะแบคทีเรีย บอมมานิไอ แบคทีเรียโอฟาจ

3.2.1 การสกัดดีเอ็นเอของแบคทีเรียโอฟาจ

นำแบคทีเรีย *A. baumannii* มาเพาะเลี้ยงในอาหาร LB broth บ่มที่อุณหภูมิ 37 องศาเซลเซียสเป็นเวลา 24 ชั่วโมง มาใส่ลงในอาหาร LB broth ปริมาณ 50 มิลลิลิตร นำไปบ่มที่อุณหภูมิ 37 องศาเซลเซียส จนมีค่าการดูดกลืนแสง 0.3 - 0.4 ที่ความยาวคลื่น 600 nm เติมแบคทีเรียโอฟาจที่จำเพาะต่อแบคทีเรียโฮสต์ โดยใช้ปริมาณไวรัสต่อแบคทีเรียมีค่าเท่ากับ 0.5 แล้วนำไปบ่มที่อุณหภูมิ 30 องศาเซลเซียส จนกระทั่ง LB broth ใส จากนั้นเติม Chloroform นำไปบ่มที่อุณหภูมิ 37 องศาเซลเซียส เป็นเวลา 10 นาที เพื่อให้เซลล์แบคทีเรียแตก และปลดปล่อยอนุภาคแบคทีเรียโอฟาจออกมาเติม DNase I ตั้งไว้ที่อุณหภูมิห้องเป็นเวลา 30 นาที เติมเกลือ(NaCl) ให้มีความเข้มข้นสุดท้ายเป็น 1 โมลาร์ แช่ในน้ำแข็งเป็นเวลา 1 ชั่วโมง นำไปปั่นเหวี่ยงด้วยความเร็ว 11,000 รอบ/นาทีเป็นเวลา 10 นาที ที่อุณหภูมิ 4 องศาเซลเซียส แยกน้ำใสและเติม PEG8000 ให้มีความเข้มข้นเท่ากับ ร้อยละ 8 - 10 (8 - 10% (w/v)) เก็บที่อุณหภูมิ 4 องศาเซลเซียส เป็นเวลา 24 ชั่วโมง แล้วนำไปปั่นเหวี่ยงที่ความเร็ว 11,000 รอบ/นาที เป็นเวลานาน 15 นาที ที่อุณหภูมิ 4 องศาเซลเซียส แยกส่วนใสทิ้ง และนำแบคทีเรียโอฟาจที่ตกตะกอนมาละลาย SM buffer และ Chloroform ผสมให้เข้ากันเพื่อแยก PEG8000 ออก ดูดน้ำสีขาวขุ่น นำไปปั่นเหวี่ยงที่ความเร็ว 11,000 รอบ/นาที เป็นเวลานาน 5 นาที แล้วแยกน้ำใส ผสมกับ TE buffer (pH8.0) 60 ไมโครลิตรและ 10% sodium dodecyl sulfate (10% SDS) นำไปบ่ม water bath ที่อุณหภูมิ 65 องศาเซลเซียสเป็นเวลา 15 นาที แล้วเติม Phenol 600 ไมโครลิตร นำไปปั่นเหวี่ยงที่ความเร็ว 11,000 รอบ/นาที เป็นเวลานาน 5 นาที จากนั้นแยกน้ำใสด้านบนสุดปริมาตร 500 ไมโครลิตร เติม 3M Sodium acetate และ isopropanol แช่ในน้ำแข็งเป็นเวลา 15 นาที เพื่อตกตะกอนดีเอ็นเอ นำไปปั่นเหวี่ยงที่ความเร็ว 11,000 รอบ/นาที เป็นเวลานาน 5 นาที นำตะกอนดีเอ็นเอมาละลายใน TE buffer (pH8.0) ปริมาตร 500 ไมโครลิตร เติม potassium acetate (8 โมลาร์) และ isopropanol ตั้งทิ้งไว้ที่อุณหภูมิห้องเป็นเวลา 10 นาที นำไปปั่นเหวี่ยงที่ความเร็ว 11,000 รอบ/นาที เป็นเวลานาน 5 นาที ตะกอนดีเอ็นเอมาล้างด้วย

ethanol ร้อยละ 70 นำไปปั่นเหวี่ยงที่ความเร็ว 11,000 รอบ/นาที เป็นเวลานาน 5 นาทีทิ้งน้ำใสแล้วปล่อยให้แห้งที่อุณหภูมิ 37 องศาเซลเซียส จากนั้นนำตะกอนดีเอ็นเอละลายใน TE buffer นำไปเก็บไว้ที่อุณหภูมิ -20 องศาเซลเซียส

3.2.2 การตรวจสอบดีเอ็นเอของแบคทีริโอฟาจด้วยเอนไซม์จำเพาะ

นำดีเอ็นเอแบคทีริโอฟาจปริมาณ 1 μg ที่สกัดในการทดลอง 3.2.1 มาตัดด้วยเอนไซม์

จำเพาะชนิดต่างๆ ได้แก่ *EcoRI*, *HindIII*, *PstI*, *SphI*, *BamHI* และ *SmaI* จากนั้นนำไปปั่นที่อุณหภูมิ 37 องศาเซลเซียส เป็นเวลา 1-3 ชั่วโมง แล้วนำมาวิเคราะห์ด้วยเจลอิเล็กโทรโฟรีซิส (2.5 % gel) เปรียบเทียบกับดีเอ็นเอมาตรฐานนำเจลที่ได้มาด้วยสารละลาย ethidium bromide (0.1 ไมโครกรัมต่อมิลลิเมตร) จากนั้น ตรวจสอบดูเจลภายใต้แสงอัลตราไวโอเล็ต

3.3 การตรวจหา endolysin gene ใน bacteriophage

Genomic DNA จากเชื้อแบคทีริโอฟาจทั้ง 3 สายพันธุ์ที่นำมาศึกษาจะถูกสกัดโดยใช้วิธีดังข้อ 3.2 และเก็บไว้ที่ -20 °C เพื่อนำไปใช้เป็น template ของ การทำ PCR การตรวจสอบ endolysin gene และ ทำโดยวิธี PCR โดยใช้ primer ซึ่งออกแบบโดยใช้ bacteriophage genome จาก GenBank Database of the National Centre for Biotechnology Information (<http://www.ncbi.nlm.nih.gov>) โดยใช้โปรแกรมสังเคราะห์ primer จาก biology workbench (<http://workbench.sdsc.edu/>) PCR product ที่ได้จะถูกศึกษาโดยใช้ 0.7% agarose gel ที่ย้อมสี DNA ด้วย ethidium bromide 0.5 $\mu\text{g}/\text{ml}$ กำหนดความต่างศักย์ที่ 100 โวลต์ เป็นเวลา 25 นาที แล้วนำ DNA ที่แยกได้ไปตรวจหาโดยดูภายใต้แสง UV

3.4 การวิเคราะห์ลำดับนิวคลีโอไทด์จีโนมของซีเนโตแบคทีเรีย บอมมานิไอ แบคทีริโอฟาจ

เตรียม insert DNA โดยนำดีเอ็นเอแบคทีริโอฟาจปริมาณ 1 μg ที่สกัดในการทดลอง 4.1.1 มาตัดโดยใช้ restriction enzyme *EcoRI* หรือ *HindIII* และเตรียม Vector โดยใช้ pBluescript® II XR Vector (Stratagene) 0.5 μg มาตัดโดยใช้ restriction enzyme *EcoRI* หรือ *HindIII* จากนั้นนำ insert DNA และ Vector มาผ่านชุด PCR Purification Kit เพื่อกำจัด restriction enzyme เตรียม ligation mixture เพื่อเชื่อม insert DNA และ Vector โดยใช้เอนไซม์ ligase จากนั้นนำ ligation mixture มา 2 μl เติมน้ำลงใน 200 μl competent cells *E. coli* DH5 α ทิ้งไว้ในกล่องน้ำแข็งเป็นเวลา 30 นาที จากนั้น heat shock ที่อุณหภูมิ 42°C เป็นเวลา 45 วินาที และใช้ไปเปทุด transformation mixtures ใส่บนจานอาหาร LBA ที่มี ampicillin/ IPTG/ X-GAL ต่อเพลท และเกลี่ยให้ทั่วผิวหน้าอาหาร

โดยใช้แท่งแก้วสามเหลี่ยม บ่มจานอาหารที่ 37°C เป็นเวลาข้ามคืน เก็บโคลนที่มีสีฟ้านำไปสกัดแยก plasmid และตัดด้วย restriction enzyme เพื่อตัด plasmid ที่มี insert DNA ขนาดต่างๆและนำ plasmid ที่มี insert DNA และนำ plasmid ที่ สกัดไปวิเคราะห์ลำดับนิวคลีโอไทด์โดยใช้ T7 Promoter Sequencing Primer ผลที่ได้จะนำไปวิเคราะห์และแปลผลลำดับนิวคลีโอไทด์ของอินโดแบคเตอร์ บอมมานิไอ แบคทีเรียโอฟาจ โดยใช้โปรแกรมวิเคราะห์ลำดับนิวคลีโอไทด์ Sequence Scanner Software (Applied Biosystems) และแปลผลลำดับนิวคลีโอไทด์เป็นโปรตีนโดยใช้โปรแกรม BLASTx (<http://blast.ncbi.nlm.nih.gov/>) พร้อมทั้งศึกษาเปรียบเทียบลำดับนิวคลีโอไทด์ของอินโดแบคเตอร์ บอมมานิไอ แบคทีเรียโอฟาจในงานวิจัยครั้งนี้กับแบคทีเรียโอฟาจจากกลุ่มวิจัยอื่น (Lin et al., 2010) ซึ่งมี ข้อมูลอยู่ใน gene bank โดยใช้โปรแกรม blast



ผลการวิจัย (Result)

การศึกษาความสามารถการทำลายแบคทีเรียโฮสต์ (lytic activity) และ รูปร่างลักษณะของแบคทีเรียโอเฟจ

ØABP-01, ØABP-02 และ ØABP-04 ที่มีความสามารถการทำลายแบคทีเรียโฮสต์ (lytic activity) สูงร่วมกับมีความสามารถการทำลาย *A. baumannii* ได้หลายสายพันธุ์ ได้ถูกเลือกมาใช้ในการศึกษารั้งนี้ ØABP-01 สามารถทำลายแบคทีเรีย *A. baumannii* ได้ทุกสายพันธุ์ที่นำมาศึกษา (จำนวน 12 สายพันธุ์) ส่วน ØABP-02 และ ØABP-04 ทำลายแบคทีเรีย *A. baumannii* ได้ 50 % (จำนวน 6 สายพันธุ์) โดยมีเพียง ØABP-01 และ ØABP-02 ที่มีความสามารถการทำลาย *A. baumannii* ATCC 19606 ได้ การศึกษาความสามารถการทำลายแบคทีเรียสปีชีส์อื่น (Host range analysis) โดยใช้แบคทีเรีย 14 สปีชีส์ พบว่าแบคทีเรียโอเฟจทั้งสามสามารถทำลายแบคทีเรียสปีชีส์อื่นได้ แบคทีเรียโอเฟจทั้งสามให้ลักษณะของพลาไคที่แตกต่างกันดังแสดงในรูปที่ 5 และตารางที่ 2 พลาไคของ ØABP-01 เป็นวงใสมีขนาดใหญ่ (3-8 mm) ส่วนพลาไคของ ØABP-02 เป็นวงใสขนาดเล็ก (1-2mm) และมีวงขุ่นล้อมรอบ ส่วนพลาไคของ ØABP-04 เป็นวงใส และมีวงขุ่นล้อมรอบ เมื่อนำอนุภาคของแบคทีเรียโอเฟจทั้ง 3 สายพันธุ์ มาศึกษารูปร่างภายใต้กล้องจุลทรรศน์อิเล็กตรอนแบบส่องผ่าน ผลการศึกษาลักษณะสัณฐานวิทยาของแบคทีเรียโอเฟจทั้ง 3 สายพันธุ์ พบว่า แบคทีเรียโอเฟจทั้งหมดสามารถจัดจำแนกได้ 2 แฟมิลี โดยแบคทีเรียโอเฟจ ØABP-01 มีส่วนหัวเป็นรูปหกเหลี่ยม ขนาดเส้นผ่านศูนย์กลาง 78 นาโนเมตร และมีส่วนหางขนาด 9 นาโนเมตร ตามลำดับ จากลักษณะดังกล่าวสามารถจัดจำแนกอยู่ในแฟมิลี Podoviridae ตามวิธีของคณะกรรมการสากลว่าด้วยการจัดอนุกรมวิธานของไวรัส (ICTV) ส่วนแบคทีเรียโอเฟจ ØABP-02 และ ØABP-04 มีส่วนหัวเป็นรูปหกเหลี่ยม ขนาดเส้นผ่านศูนย์กลาง 80 – 105 และ 72 nm ตามลำดับ และมีส่วนหางที่สามารถยึดหดได้ขนาด 67-125 และ 110 nm ตามลำดับ สามารถจัดจำแนกอยู่ในแฟมิลี Myoviridae ดังแสดงในรูปที่ 6

Phage physiology, protein profile and DNA restriction fragment patterns

จากผลการศึกษาความสามารถในการทำลายแบคทีเรียโฮสต์ของแบคทีเรียโอเฟจทั้ง 3 สายพันธุ์ พบว่าเมื่อเติมแบคทีเรียโอเฟจแต่ละสายพันธุ์ที่มีค่า MOI เท่ากับ 1 เมื่อระยะเวลาผ่านไป 4 ชั่วโมง แบคทีเรียโอเฟจ ØABP-01 ทำลายแบคทีเรียโฮสต์ได้ไวกว่าแบคทีเรียโอเฟจสายพันธุ์อื่น ทำให้ค่าความขุ่นที่ OD600 เท่ากับ 0.15 แต่เมื่อระยะเวลาผ่านไป 10 ชั่วโมง แบคทีเรียโอเฟจแต่ละสายพันธุ์สามารถทำลายแบคทีเรียโฮสต์ทำให้ค่าความขุ่นที่ OD600 ของแบคทีเรียโฮสต์มีค่าลดลงต่ำกว่า 0.1 ดังแสดงในภาพที่ 7 จาก

การศึกษาการเข้าเกาะติดแบคทีเรียเซลล์โฮสต์ของแบคทีเรียโอเฟจทั้ง 3 สายพันธุ์ พบว่าการเข้าเกาะติดของแบคทีเรียโอเฟจ ϕ ABP-01 กับแบคทีเรียโฮสต์ในอุณหภูมิห้อง สามารถตรวจหาปริมาณแบคทีเรียโอเฟจที่ไม่สามารถจับกับผิวเซลล์ของแบคทีเรียโฮสต์ได้ร้อยละ 6 ภายในเวลา 6 นาที ตามลำดับ ส่วนแบคทีเรียโอเฟจ ϕ ABP-02 และ ϕ ABP-04 สามารถตรวจหาปริมาณแบคทีเรียโอเฟจที่ไม่สามารถจับกับผิวเซลล์ของแบคทีเรียโฮสต์ได้ร้อยละ 15 และ 20 ภายในเวลา 6 นาที ตามลำดับ โดยแบคทีเรียโอเฟจทั้ง 3 สายพันธุ์สามารถเข้าเกาะติดกับผิวเซลล์ของแบคทีเรียโฮสต์ได้มากกว่าร้อยละ 95 ภายในเวลา 8 นาที (ตารางที่ 2) จากการศึกษาการสลายทำให้เกิดการเจริญในขั้นตอนเดียวของแบคทีเรียโอเฟจทั้ง 3 สายพันธุ์ เมื่อเติมปริมาณไวรัสต่อแบคทีเรียมีค่าเท่ากับ 0.001 พบว่าแบคทีเรียโอเฟจ ϕ ABP-01 มีช่วงเวลาตั้งแต่แบคทีเรียโอเฟจเข้าสู่เซลล์จนกระทั่งตรวจพบอนุภาคแบคทีเรียโอเฟจลูกหลานที่สมบูรณ์ออกมาจากเซลล์ (Latent period) เท่ากับ 15 นาที และมีจำนวนแบคทีเรียโอเฟจลูกหลานต่อการติดเชื้อของแบคทีเรียโอเฟจหนึ่งอนุภาค (Burst size) ประมาณ 110 PFU/infected cell ดังแสดงในภาพ 8(A) ส่วนแบคทีเรียโอเฟจ ϕ ABP-02 และ ϕ ABP-04 มีช่วงเวลาตั้งแต่แบคทีเรียโอเฟจเข้าสู่เซลล์จนกระทั่งตรวจพบอนุภาคแบคทีเรียโอเฟจที่สมบูรณ์ออกมาจากเซลล์ (Latent period) เท่ากับ 20 นาที และมีจำนวนแบคทีเรียโอเฟจลูกหลานต่อการติดเชื้อของแบคทีเรียโอเฟจหนึ่งอนุภาค (Burst size) ประมาณ 120 และ 150 ตามลำดับ ดังแสดงในภาพ 8(B) และ 8(C) เมื่อนำแบคทีเรียโอเฟจไปทดสอบความทนในการอยู่รอดที่อุณหภูมิต่างๆ โดยผลการทดลอง พบว่าแบคทีเรียโอเฟจ ϕ ABP-1, ϕ ABP-02 และ ϕ ABP-04 สามารถทนต่ออุณหภูมิที่ 50 องศาเซลเซียส ได้ร้อยละ 96, 99 และ 96 ตามลำดับ จากการทดสอบที่อุณหภูมิ 60 องศาเซลเซียส ความทนต่ออุณหภูมิของแบคทีเรียโอเฟจดังกล่าวสามารถทนได้ลดลงเหลือร้อยละ 32, 45, 36, 33 และ 38 ตามลำดับ แบคทีเรียโอเฟจทั้งหมดสามารถทนต่ออุณหภูมิที่ 70 องศาเซลเซียส ได้น้อยกว่าร้อยละ 8 นอกจากนี้ที่อุณหภูมิ 80 และ 90 องศาเซลเซียส พบว่า แบคทีเรียโอเฟจทั้ง 5 สายพันธุ์ ไม่สามารถทนอยู่รอดได้ ดังแสดงในตารางที่ 2 เมื่อนำแบคทีเรียโอเฟจทั้ง 3 สายพันธุ์ ทดสอบความทนของการอยู่รอดในสภาวะ pH ต่างๆ เป็นเวลาข้ามคืน ที่อุณหภูมิห้อง จากผลการทดลองพบว่าแบคทีเรียโอเฟจ ϕ ABP-02 และ ϕ ABP-04 สามารถทนต่อสภาวะความเป็นกรดต่างได้ดีอยู่ในช่วง 5.0 – 9.0 ส่วน ϕ ABP-1 สามารถทนต่อสภาวะความเป็นกรดต่างได้ดีอยู่ในช่วง 6.0 – 9.0 นอกจากนี้แบคทีเรียโอเฟจทั้ง 3 สายพันธุ์ ถูกทำลายหมดเมื่ออยู่ในสภาวะที่มีค่าความเป็นกรดต่างน้อยกว่าหรือเท่ากับ 3 (ตารางที่ 2)

เมื่อนำอนุภาคของแบคทีเรียโอเฟจแต่ละสายพันธุ์มาตกตะกอนด้วย PEG8000 แล้วตรวจสอบรูปแบบของโปรตีน โดยวิธี SDS-PAGE ดังแสดงในภาพ 9A จากผลการทดลอง พบว่า ϕ ABP-01(Lane 1)

มีรูปแบบโปรตีน โดยมีโปรตีนหลักขนาดประมาณ 28 kDa และมีหลายโปรตีนย่อย อยู่ในช่วง 20 - 97 kDa ส่วนแบคทีริโอเฟจ ϕ ABP-02 (Lane 2) มีโปรตีนหลักอยู่ 3 แบน ซึ่งมีขนาดประมาณ 25, 29 และ 45 kDa และมีหลายโปรตีนย่อย แบคทีริโอเฟจ ϕ ABP-04 (Lane3) โปรตีนหลักอยู่ 3 แบน ซึ่งมีขนาดประมาณ 22, 32 และ 50 kDa และมีหลายโปรตีนย่อย เมื่อนำแบคทีริโอเฟจทั้ง 3 สายพันธุ์ ได้แก่ ϕ ABP-01, ϕ ABP-02 และ ϕ ABP-04 มาสกัด genomic DNA จากนั้นนำ DNA ของแบคทีริโอเฟจทั้งหมดมาตรวจสอบความบริสุทธิ์โดยวิธีอิเล็กโทรโฟรีซิส และนำ DNA บริสุทธิ์ของแบคทีริโอเฟจทั้ง 5 สายพันธุ์มาตัดด้วยเอนไซม์ตัดจำเพาะทั้งหมด 6 ชนิด ได้แก่ *Bam*HI, *Eco*RI, *Hind*III, *Sph*I, *Pst*I และ *Sma*I จากผลการทดลองพบว่า DNA ของ ϕ ABP-01 ถูกตัดด้วยเอนไซม์ *Bam*HI, *Eco*RI, *Hind*III และ *Sph*I แต่ไม่ถูกตัดด้วย *Pst*I และ *Sma*I ดังแสดงในภาพที่ 10A DNA ของ ϕ ABP-02 ไม่ถูกตัดด้วยเอนไซม์ทั้ง 6 ชนิดที่นำมาทดสอบ ดังแสดงในภาพ 10B DNA ของ ϕ ABP-04 ถูกตัดด้วยเอนไซม์ *Bam*HI, *Eco*RI, *Hind*III และ *Sph*I แต่ไม่ถูกตัดด้วย *Pst*I และ *Sma*I ดังแสดงในภาพ 10C

Detection of endolysin gene

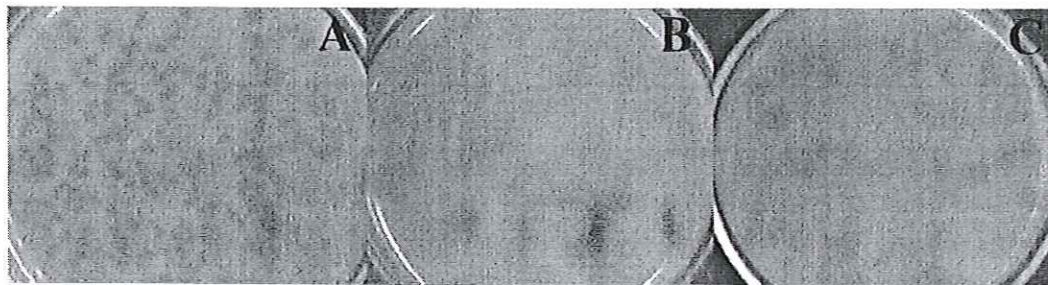
การตรวจหา endolysin gene ทำโดยใช้วิธี PCR เพื่อตรวจหา endolysin gene (*lys*) ที่มี PCR product ขนาด 530 bp ซึ่งผลแสดงดังภาพ 9B โดยพบว่าสามารถตรวจหา endolysin gene ใน phage genomic ของ ϕ ABP-01 และ ϕ ABP-04 ผลการวิเคราะห์ลำดับนิวคลีโอไทด์ของ ϕ ABP-01 พบมีความคล้ายคลึง 95 % กับ endolysin gene (*lys*) ของ phage phiAB1 (Gene bank accession no.HQ186308.1) และ phiAB2 (Gene bank accession no. HM755898.1) และมีความคล้ายคลึง 94 % กับ endolysin gene (*lys*) ของ Acinetobacter phage AB3 (Gene bank accession no.KC311669.1) ใน GenBank ขณะที่ผลการวิเคราะห์ลำดับนิวคลีโอไทด์ของ ϕ ABP-04 พบมีความคล้ายคลึง 93% กับ phage phiAB1 (Gene bank accession no.HQ186308.1) และ phiAB2 (Gene bank accession no.HM755898.1) และมีความคล้ายคลึง 92 % กับ Acinetobacter phage AB3 (Gene bank accession no.KC311669.1)

การวิเคราะห์ลำดับนิวคลีโอไทด์จีโนมบางส่วนของอซิเนโตแบคเตอร์ บอมมานิไอ แบคทีริโอเฟจ

เมื่อทำการโคลน genomic DNA ของ ϕ ABP-01 ใน plasmid และตัดด้วย restriction enzyme *Hind*III เพื่อตัด plasmid ที่มี insert DNA ขนาดต่างๆผลแสดงดังภาพที่ 11 จากนั้นคัดเลือก plasmid ที่มี insert DNA ไปวิเคราะห์ลำดับนิวคลีโอไทด์โดยใช้ T7 Promoter Sequencing Primer ผลที่ได้จะนำไปวิเคราะห์และแปลผลลำดับนิวคลีโอไทด์ของอซิเนโตแบคเตอร์ บอมมานิไอ แบคทีริโอเฟจ โดยใช้

โปรแกรมวิเคราะห์ลำดับนิวคลีโอไทด์ Sequence Scanner Software (Applied Biosystems) และแปลผลลำดับนิวคลีโอไทด์เป็นโปรตีนโดยใช้โปรแกรม BLASTx (<http://blast.ncbi.nlm.nih.gov/>) ดังแสดงในตารางที่ 3

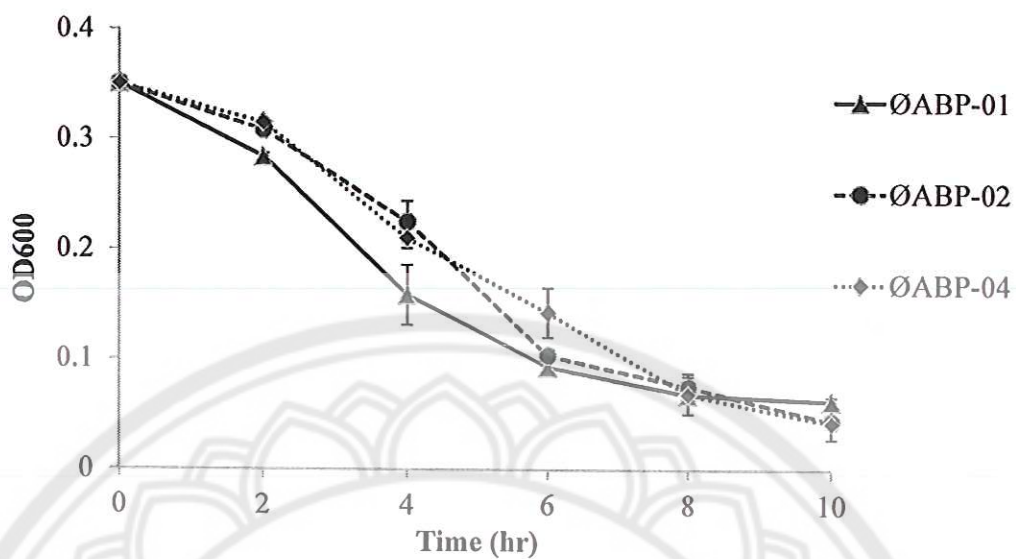




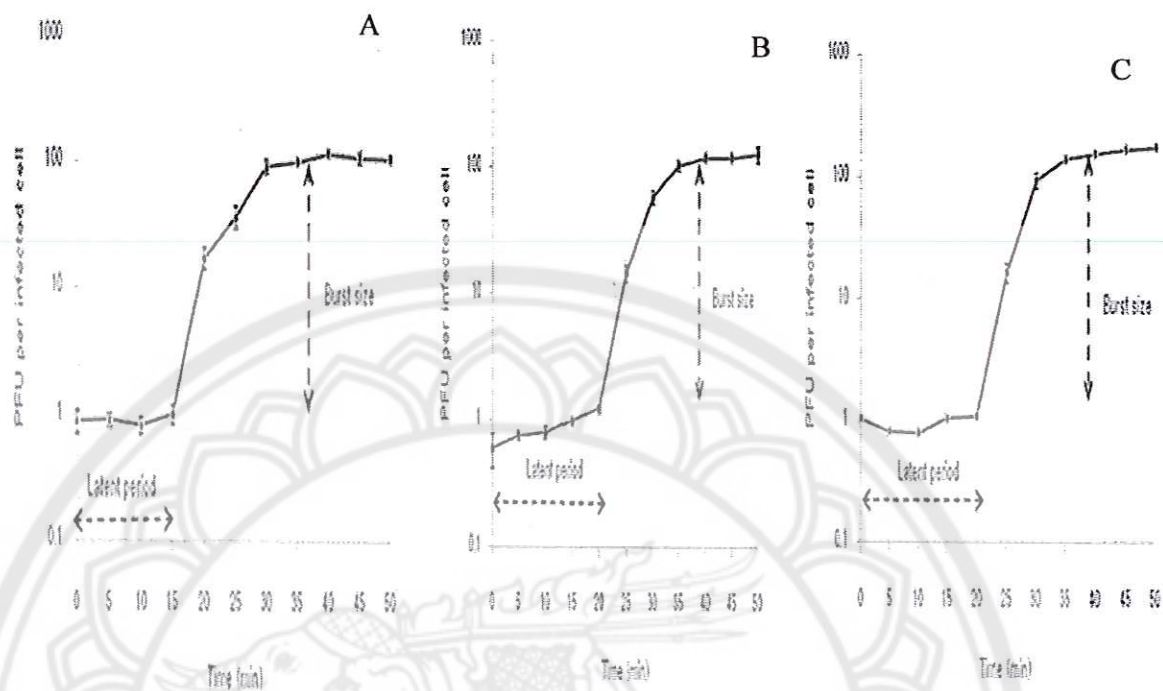
รูปที่ 5 The appearance of plaques on a bacterial lawn formed by three *A. baumannii* bacteriophages. A) \emptyset ABP-01 plaque characteristic showed large clear zone. B) \emptyset ABP-02 plaque characteristic showed small clear zone inside with large opaque zone around. C) \emptyset ABP-04 plaque characteristic showed clear zone inside with an opaque zone around.



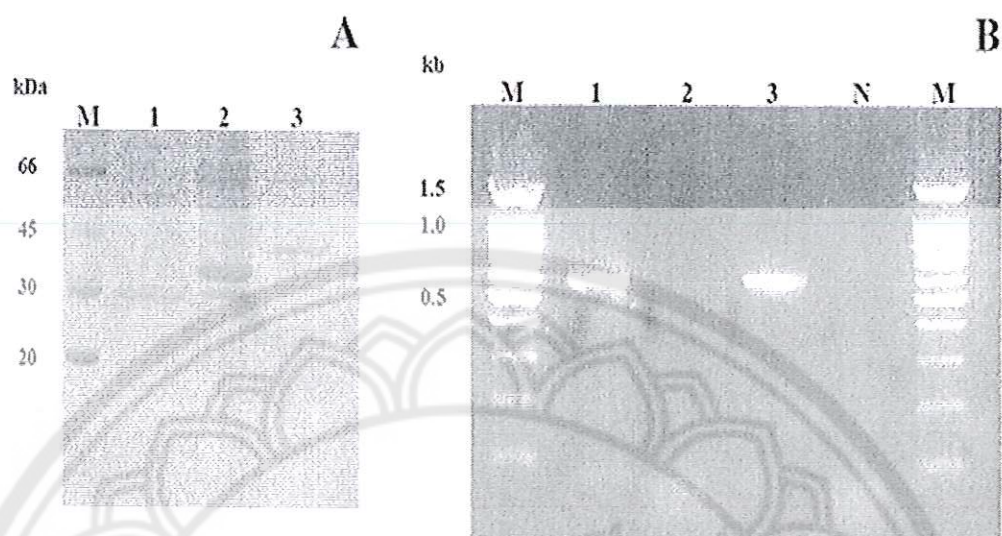
รูปที่ 6 Electron micrograph of *A. baumannii* bacteriophages. A) \emptyset ABP-01, B) \emptyset ABP-02 and C) \emptyset ABP-04



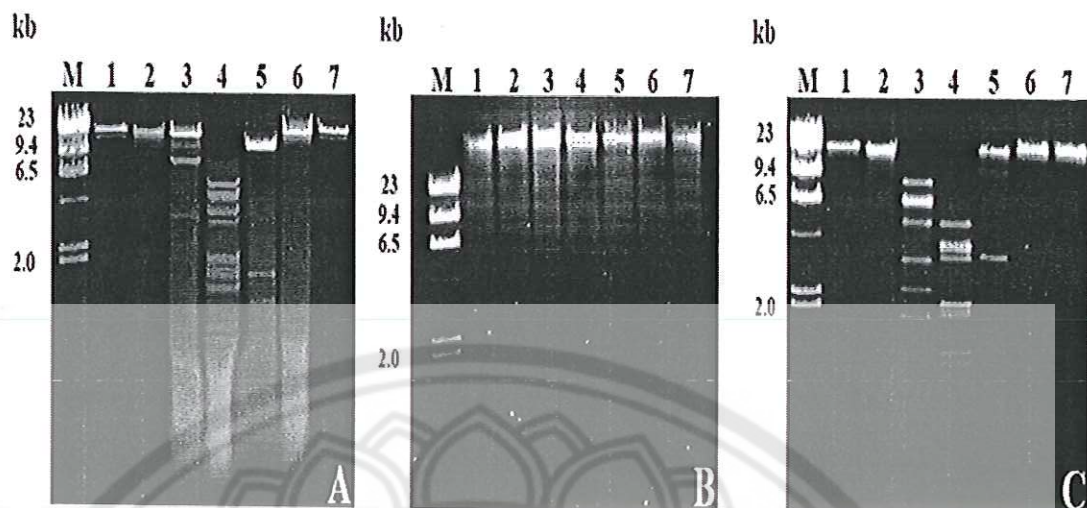
รูปที่ 7 Lytic activity of *A. baumannii* phages. Growth of *A. baumannii* in the presence of phage ØABP-01, ØABP-02 and ØABP-04. *A. baumannii* host was inoculated at an OD₆₀₀ of 0.3, and after bacteriophage was added to the culture.



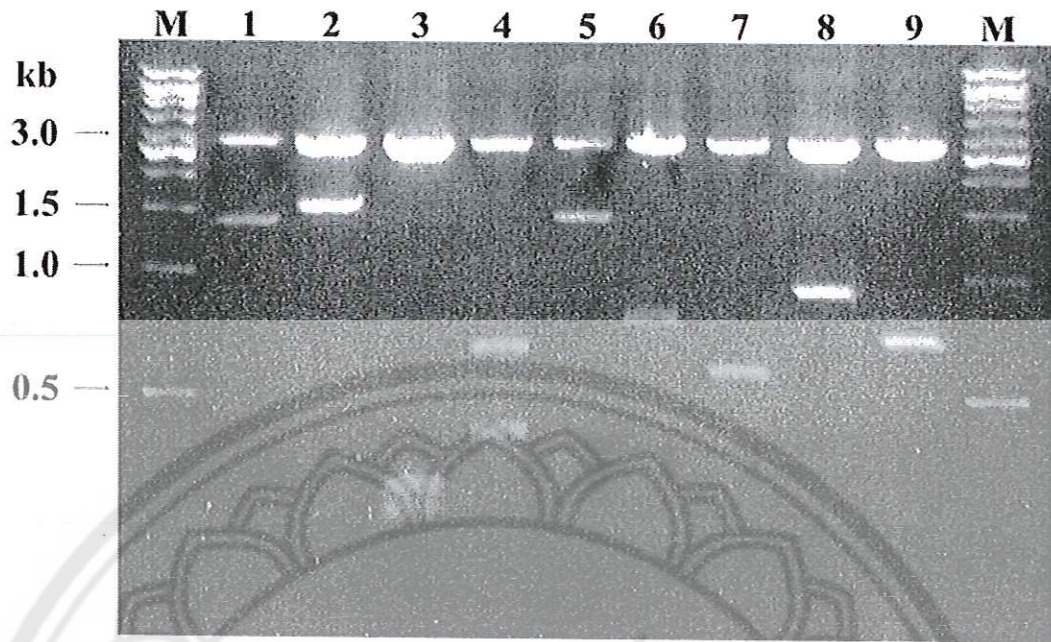
รูปที่ 8. One step growth of ØABP-01 (A), ØABP-02 (B) and ØABP-04 (C) bacteriophages against *A. baumannii* host strains.



รูปที่ 9. (A) SDS-PAGE analysis of *A. baumannii* bacteriophages. Lane M: molecular weight marker, Lane 1: Coomassie stain showing protein band of ØABP-01, Lane 2: Coomassie stain showing protein band of ØABP-02, Lane 3: Coomassie stain showing protein band of ØABP-04. (B) Amplification of endolysin gene from *A. baumannii* bacteriophages detected by 1 % agarose gel electrophoresis. Lane M; DNA marker, Lane 1; ØABP-01, Lane 2; ØABP-02, Lane 3; ØABP-04; Lane 4; Negative control



รูปที่ 10 Restriction pattern of *A. baumannii* bacteriophages. A) electrophoresis of Lambda DNA marker/*Hind*III (lane M); DNA of ØABP-01 uncut (lane 1); DNA of ØABP-01 cut with *Bam*HI (lane 2), *Eco*RI (lane 3), *Hind*III (lane 4), *Sph*I (lane 5), *Pst*I (lane 6), *Sma*I (lane 7) B) electrophoresis of Lambda DNA marker/*Hind*III (lane M); DNA of ØABP-02 uncut (lane 1); DNA of ØABP-02 cut with *Bam*HI (lane 2), *Eco*RI (lane 3), *Hind*III (lane 4), *Sph*I (lane 5), *Pst*I (lane 6), *Sma*I (lane 7) C) electrophoresis of Lambda DNA marker/*Hind*III (lane M); DNA of ØABP-04 uncut (lane 1); DNA of ØABP-04 cut with *Bam*HI (lane 2), *Eco*RI (lane 3), *Hind*III (lane 4), *Sph*I (lane 5), *Pst*I (lane 6), *Sma*I (lane 7)



รูปที่ 11 Plasmid pBluscript containing phage genomic DNA clone cut with *Hind*III . Lane M: molecular weight marker, Lane 1: plasmid clone No 2,3,4,5,6,8,9,10,11,12,13,14

ตารางที่ 2 Phages isolated against *Acinetobacter baumannii* and their properties

Phage	Family	Plaque characteristic		One-step growth curve		Adsorption Time (min)	Stability	
		morphology	Size diameter (mm)	Latent period (min)	Burst size (PFU/infected cell)		pH	Temperature (°C)
ØABP-01	<i>Podoviridae</i>	Clear	5-7	15	110	8	6-9	50-70
ØABP-02	<i>Myoviridae</i>	Clear with turbid	6-8	20	120	8	5-9	50-70
ØABP-04	<i>Myoviridae</i>	Clear with turbid	3-5	20	150	8	5-9	50-70

ตารางที่ 3 ผลการวิเคราะห์ลำดับนิวคลีโอไทด์ของ phage genomic DNA บางส่วน

Clone ที่	ขนาดของ Insert	ORF	Homology
2	337 bp	✓ 98 aa M-----A	<ul style="list-style-type: none"> ● Acinetobacter phage AB3 (hypothetical protein: AGC35306 = 1032 aa) identity 98% ● Acinetobacter phage Abp1 (putative internal virion protein: AFV51021 = 1032 aa) identity 97% ● Acinetobacter phage phiAB1 (putative internal virion core protein: ADQ12744 = 1032 aa) identity 94%
3	1,444 bp	✓ 454 aa M----- -----L	<ul style="list-style-type: none"> ● <i>A. baumannii</i> D1279779 (NAD-linked malate dehydrogenase: AGH34034 = 565 aa) identity 99% ● <i>A. baumannii</i> MDR-TJ (malic enzyme: AFI97215 = 565 aa) identity 99% ● <i>A. baumannii</i> MDR-ZJ06 (malate dehydrogenase: AEP04626 = 565 aa) identity 99%
4	1,641 bp	✓ 443 aa M----- ---stop	<ul style="list-style-type: none"> ● <i>A. baumannii</i> TYTH-1 (hypothetical protein: AFU37758 = 493 aa) identity 100% ● <i>A. baumannii</i> MDR-TJ (type VI secretion system effector, Hcp1 family: AFI96010 = 167 aa) identity 100% ● <i>A. baumannii</i> MDR-ZJ06 (conserve hypothetical protein: AEP05915 = 498 aa) identity 100% ● <i>A. baumannii</i> MDR-ZJ06 (conserve hypothetical protein: AEP05916 = 176 aa) identity 100% <p>(type VI secretion protein, EvpB/VC_A0108 family: AFI96011 = 493 aa) identity 100%</p>
5*	699	✓ 88 aa K-----stop (1-267) =DNA ligase ✓ 61 aa M---A (516-699)= DNA	<ul style="list-style-type: none"> ● Acinetobacter phage Abp1 (hypothetical protein: AFV50996 = 326 aa) identity 99% ● Acinetobacter phage phiAB1 (putative ATP-dependent DNA ligase: ADQ12720 = 328 aa) identity 99% ● Acinetobacter phage AB3 (putative ATP-dependent DNA ligase: AGC35327 = 328 aa)

		polymerase	identity 97%
6	473 bp (257+216)	<p>✓ 53 aa L----S (3-161) = reductase</p> <p>✓ 76 aa M----S (244-471) = structural protein</p>	<ul style="list-style-type: none"> ● <i>A. baumannii</i> TYTH-1(hypothetical protein-Aldo-keto reductases (AKRs): AFU3978 = 333 aa) ● <i>A. baumannii</i> MDR-TJ (putative oxidoreductase, aryl-alcohol dehydrogenase like protein: AFI93890 = 333 aa) ● Acinetobacter phage phiAB1(structural protein: ADQ12734 = 83 aa)
8	1,051 bp (385+666)	<p>✓ 268 aa M----- stop (66-872) = helicase</p> <p>✓ 55 aa M-----stop (869-1033) = ligase</p>	<ul style="list-style-type: none"> ● Acinetobacter phage phiAB1 (putative DNA helicase: ADQ12719 = 432 aa) ● (putative ATP-dependent DNA ligase: ADQ12720 = 328 aa)
9	1,500 bp	<p>✓ 117 aa M----stop (126-476) = structural protein</p> <p>✓ 299 aa M----A (603-1500) = structural protein</p>	<ul style="list-style-type: none"> ● Acinetobacter phage Abp1 (hypothetical protein: AFV51020 = 961 aa) ● Acinetobacter phage phiAB1(structural protein: ADQ12743 = 961 aa) ● Acinetobacter phage AB3 (hypothetical protein: AGC35307 = 961 aa)
10	808 bp	<p>✓ 265 aa L----A (796-2) = internal virion protein</p>	<ul style="list-style-type: none"> ● Acinetobacter phage Abp1 (putative internal virion protein: AFV51021 = 1032 aa) identity 97% ● Acinetobacter phage AB3 (hypothetical protein: AGC35306 = 1032 aa) identity 95%
11	176 bp	<p>✓ 36 aa M-----stop (104-33) = DNA polymerase</p>	<ul style="list-style-type: none"> ● Acinetobacter phage Abp1 (DNA polymerase I: AFV50998 = 286 aa) identity 91%

12	579 bp	<p>✓ 108 aa M----- stop (76-402) = kinase ✓ 57 aa M-----A (411-579) = RNA polymerase</p>	<ul style="list-style-type: none"> ● Acinetobacter phage Abp1 (hypothetical protein: AFV51008 = 216 aa) identity 96% (phage-associated RNA polymerase: AFV51009 = 805 aa) identity 96% ● Acinetobacter phage phiAB1 (putative dNMP kinase: ADQ12731 = 216 aa) identity 95% (putative RNA polymerase: ADQ12732 = 805 aa) identity 95%
13	945 bp	<p>✓ 297 aa L-----A (892-1) = head-tail connector protein</p>	<ul style="list-style-type: none"> ● Acinetobacter phage phiAB1(putative head-tail connector protein: ADQ12735 = 518 aa) identity 99% ● Acinetobacter phage Abp1 (head-to-tail joining protein: AFV51012 = 518 aa) identity 97% ● Acinetobacter phage AB3 (putative head-tail connector protein: AGC35314 = 518 aa) identity 96%

ข้อวิจารณ์ (Discussion)

ในการศึกษาคั้งนี้ ได้ทำการศึกษาทางสรีรวิทยาและอนุชีววิทยาของแบคทีเรียไอเฟจ ϕ ABP-01, ϕ ABP-02 และ ϕ ABP-04 ที่จำเพาะต่อเชื้อ *A. baumannii* ที่แยกได้จากบ่อบำบัดน้ำเสียโดยแบคทีเรียไอเฟจทั้งสามพบว่ามีความแตกต่างลักษณะรูปร่างและขนาดของพลาจิดจากการทำ Plaque assay แบ่งออกเป็น 3 รูปแบบแสดงให้เห็นว่าความแตกต่างลักษณะรูปร่างและขนาดของพลาจิดนั้นเกิดจากความจำเพาะระหว่างแบคทีเรียไอเฟจกับแบคทีเรียโฮสต์ โดยจากการศึกษา Gallet และคณะ (2011) พบว่าลักษณะรูปร่างและขนาดของพลาจิดเป็นผลที่เกิดจาก(1)ความจำเพาะของแบคทีเรียโฮสต์กับแบคทีเรียไอเฟจ (2)ธรรมชาติของแบคทีเรียไอเฟจ และ(3)ช่วงเวลาการบ่ม นอกจากนี้การแยกแบคทีเรียไอเฟจทั้ง 3 ครั้ง พบว่ามีลักษณะรูปร่างและขนาดของพลาจิดแบ่งเป็น ลักษณะพลาจิดที่มีโซนใสและมีโซนขุ่นล้อมรอบมีขนาดประมาณ 3-5 mm ร้อยละ 43(23/54), ลักษณะพลาจิดที่มีโซนใสขนาดใหญ่มีขนาดประมาณ 3-8 mm ร้อยละ 33(18/54), ลักษณะพลาจิดที่มีโซนใสขนาดเล็กมีขนาดประมาณ 1-2 mm ร้อยละ 15(8/54) และลักษณะพลาจิดที่มีจุดใสและมีโซนขุ่นล้อมรอบขนาดใหญ่ มีขนาดประมาณ 4-8 mm ร้อยละ 9(5/54) ตามลำดับ ดังนั้นแบคทีเรียไอเฟจที่แยกได้บางไอโซเลตจะมีวงจรชีวิตแบบไลติคเฟจเช่น ϕ ABP-01, ϕ ABP-03, ϕ ABP-21 และ ϕ ABP-39 เป็นต้น เนื่องจากลักษณะของพลาจิดเป็นโซนใส ประกอบกับการทดสอบ spot test ก็พบว่าให้โซนใสเกิดกับแบคทีเรียโฮสต์แสดงให้เห็นว่าแบคทีเรียไอเฟจที่แยกได้เกิดการทำลายแบคทีเรียโฮสต์เพื่อปล่อยแบคทีเรียไอเฟจลูกหลานออกมาจึงทำให้แบคทีเรียโฮสต์ถูกทำลายจึงเป็นเกิดเป็นโซนใส (Kutter and Sulakvelidze, 2005) สำหรับลักษณะของพลาจิดที่มีโซนขุ่นล้อมรอบโซนใสนั้นเกิดจากบริเวณโซนใสนั้นแบคทีเรียไอเฟจมีวงจรชีวิตแบบไลติคเฟจ ส่วนบริเวณโซนขุ่นล้อมรอบนั้นเกิดจากแบคทีเรียไอเฟจติดเชื้อแบคทีเรียโฮสต์เริ่มแรกแบบไลติคเฟจเพื่อเพิ่มจำนวนแบคทีเรียไอเฟจลูกหลานจนถึงระยะหนึ่งแบคทีเรียไอเฟจบางส่วนจะเปลี่ยนวงจรชีวิตเป็นแบบไลโซเจนิค โดยการส่งผ่านกรดนิวคลีอิกเข้าไปแทรกในโครโมโซมของแบคทีเรียแล้วเกิดการเพิ่มจำนวนตามการเพิ่มจำนวนของแบคทีเรียทำให้แบคทีเรียบริเวณนั้นเกิดเป็นโซนขุ่นเกิดขึ้น (Canchaya, et al.,2003) สำหรับการศึกษาความสามารถในการติดเชื้อของแบคทีเรียสายพันธุ์ต่างๆ โดยการทำให้ spot test ในการศึกษาคั้งนี้พบว่า แบคทีเรียไอเฟจทั้งสามไอโซเลต สามารถติดเชื้อ *A. baumannii* ได้หลายๆไอโซเลตหรือมีคุณสมบัติในการติดเชื้อกว้าง โดยแบคทีเรีย *A. baumannii* ที่ไวต่อการติดเชื้ออาจมีตำแหน่งตัวรับ(receptor site) ในการจับของแบคทีเรียไอเฟจที่เหมือนกัน ในขณะที่แบคทีเรียไอเฟจที่มีคุณสมบัติในการติดเชื้อแคบ อาจมี receptor site ที่จำเพาะต่อการเกาะติดของแบคทีเรียไอเฟจสูง ความแตกต่างเหล่านี้ขึ้นอยู่กับธรรมชาติของแบคทีเรียไอเฟจ และโครงสร้างของ receptor site ที่พิเศษอยู่บนผิว

เซลล์ของแบคทีเรีย (Rakhuba, et al., 2010) นอกจากนี้ผลการทดลองการติดเชื้อแบคทีเรีย สำหรับผล การศึกษารูปร่างของแบคทีเรียโอเฟจทั้ง 3 สายพันธุ์ แบคทีเรียโอเฟจทั้งหมดมีส่วนหัวเป็นรูปหกเหลี่ยมและ มีส่วนหางยาวแตกต่างกัน โดยแบคทีเรียโอเฟจ ϕ ABP-01 สามารถจัดจำแนกอยู่ในแฟมิลี *Podoviridae* สอดคล้องกับงานวิจัยของLin และคณะ พบว่าแบคทีเรียโอเฟจ ϕ AB1, ϕ AB2, ϕ AB3, ϕ AB4, ϕ AB5, ϕ AB6, ϕ AB7 และ ϕ AB9 จัดอยู่ในแฟมิลี *Podoviridae* (Lin, et al., 2010) นอกจากนี้ยังพบใน งานวิจัยของ Thawal และคณะ(2012) ศึกษาแบคทีเรียโอเฟจ AB7-IBB2 พบว่าสามารถจัดจำแนกอยู่ในแฟมิลี *Podoviridae* สำหรับแบคทีเรียโอเฟจ ϕ ABP-02 และ ϕ ABP-04 สามารถจัดจำแนกอยู่ใน แฟมิลี *Myoviridae* สอดคล้องกับที่เคยมีรายงานการวิจัยที่พบว่า แบคทีเรียโอเฟจ ϕ AB8, ϕ AB11 (Lin, et al., 2010) AP22 (Popova, et al., 2012) และ Apb53 (Lee, et al., 2011) จากผลการศึกษาครั้งนี้แสดงให้เห็นว่าแบคทีเรียโอเฟจทั้ง 3 สายพันธุ์ จัดอยู่ในกลุ่ม *Caudovirales* ซึ่งเป็นแบคทีเรียโอเฟจที่มีการค้นพบ มากที่สุดจำนวนมากกว่าร้อยละ 96 ของแบคทีเรียโอเฟจที่ถูกค้นพบทั้งหมดในปัจจุบัน (Ackermann, 2001: 2009)

จากการศึกษาความสามารถของแบคทีเรียโอเฟจต่อการทำลายแบคทีเรียโฮสต์ พบว่า แบคทีเรีย โอเฟจทั้ง 3 สายพันธุ์ สามารถทำลายแบคทีเรียโฮสต์ตั้งแต่เวลา 2 ชั่วโมง แสดงให้เห็นว่าแบคทีเรียโอเฟจทั้ง 3 สายพันธุ์ มีประสิทธิภาพในการทำลายแบคทีเรียโฮสต์สอดคล้องกับการศึกษาแบคทีเรียโอเฟจ Apb53 พบว่าเมื่อเติมแบคทีเรียโอเฟจที่มีค่า MOI เท่ากับ 1 ในแบคทีเรีย *A. baumannii* Apb53 ทำให้ค่าความขุ่น ของแบคทีเรียโฮสต์ลดลงตั้งแต่เวลา 2 ชั่วโมง (Lee, et al., 2011) การทำลายแบคทีเรียโฮสต์แสดงให้เห็น ว่าแบคทีเรียโอเฟจสามารถนำไปใช้ในการรักษา และควบคุมเชื้อที่ดื้อต่อยาต้านจุลชีพได้ (Wang, 2006) สำหรับการศึกษาการเกาะติดของแบคทีเรียโอเฟจกับโฮสต์เซลล์ ϕ ABP-01 เกาะติดกับแบคทีเรียโฮสต์ได้ไว กว่าแบคทีเรียโอเฟจ ϕ ABP-02 และ ϕ ABP-04 แสดงให้เห็นว่า ϕ ABP-01 อาจมีตำแหน่ง receptor บนผิว เซลล์มากกว่าทำให้สามารถเข้าเกาะติดได้ไวกว่า (Lee, et al., 2011) ในการศึกษา One-step growth curve พบว่า แบคทีเรียโอเฟจ ϕ ABP-01 มีช่วง Latent period สั้นกว่า แบคทีเรียโอเฟจ ϕ ABP-02 และ ϕ ABP-04 นอกจากนี้สิ่งที่น่าสนใจคือแบคทีเรียโอเฟจ ϕ ABP-01 มีค่า Burst size น้อยกว่า ϕ ABP-02 และ ϕ ABP-04 แสดงให้เห็นช่วงระยะเวลาอยู่ในเซลล์แบคทีเรียโฮสต์ของแบคทีเรียโอเฟจมีผลต่อการเพิ่มจำนวน แบคทีเรียโอเฟจลูกหลาน (Gallet, Kannoly, and Wang, 2011) อีกสาเหตุหนึ่งที่น่าจะเป็นไปได้คือ แบคทีเรียโอเฟจ 3 สายพันธุ์ จัดอยู่ใน 2 แฟมิลี คือ *Podoviridae* และ *Myoviridae* จากการรายงานก่อน หน้านี้พบว่า Podophage จะมีการสังเคราะห์โปรตีนโครงสร้างประมาณ 40 โปรตีน ในขณะที่ Myophage

จะมีการสังเคราะห์โปรตีนโครงสร้างประมาณ 200 โปรตีน ทำให้กระบวนการสังเคราะห์ การประกอบรูปร่าง ภายในเซลล์มีความแตกต่างกัน (Aksyuk and Rossmann, 2011)

สำหรับการศึกษาปัจจัยที่มีผลต่อแบคทีเรียโอเฟจพบว่า อุณหภูมิมีผลต่อการอยู่รอดของแบคทีเรียโอเฟจ 3 สายพันธุ์ โดยแบคทีเรียโอเฟจทั้งหมดจะสามารถอยู่รอดได้ลดลงเมื่ออุณหภูมิสูงขึ้น ซึ่งสามารถทนต่ออุณหภูมิ 70 องศาเซลเซียส ได้ร้อยละ 8 สอดคล้องกับผลการทดสอบความทนต่ออุณหภูมิของแบคทีเรียโอเฟจ AB1 ที่อุณหภูมิ 70 องศาเซลเซียส สามารถอยู่รอดได้ร้อยละ 10 (Yang, et al., 2011) สำหรับการศึกษาทดสอบ pH พบว่าแบคทีเรียโอเฟจ 3 สายพันธุ์ สามารถทนต่อ pH 4 - 9 ได้ดี แสดงให้เห็นว่าแบคทีเรียโอเฟจทั้งหมดมีความอยู่รอดในช่วง pH ที่กว้าง ดังที่พบในงานวิจัยของ Jin และคณะ (2012) จากการศึกษาแบคทีเรียโอเฟจ ZZ1 พบว่าสามารถทนต่อ pH อยู่ในช่วง pH 4 - 9 แสดงให้เห็นว่าอุณหภูมิ และ pH เป็นปัจจัยที่สำคัญที่ส่งผลต่อแบคทีเรียโอเฟจในการอยู่รอดในสิ่งแวดล้อมตามธรรมชาติ (Jonczyk, et al., 2011) สำหรับการศึกษารูปแบบโปรตีนของแบคทีเรียโอเฟจทั้ง 3 สายพันธุ์ จากการศึกษาปรากฏว่าพบแบคทีเรียโอเฟจ ϕ ABP-01 มีโปรตีนหลักขนาดประมาณ 28 kDa และมีหลายๆโปรตีนย่อย ซึ่งโปรตีนหลักที่ปรากฏน่าจะเป็นแคปซิดซึ่งเป็นโปรตีนที่ล้อมรอบกรดนิวคลีอิก สอดคล้องกับงานวิจัยของ Lin และคณะ (2010) พบว่าแบคทีเรียโอเฟจ ϕ AB2 จัดอยู่ในแฟมิลี *Podoviridae* มีโปรตีนหลักขนาด 35 kDa เป็นแคปซิดโปรตีน และมีหลายๆโปรตีนย่อย ส่วนแบคทีเรียโอเฟจ ϕ ABP-02 จัดอยู่ในแฟมิลี *Myoviridae* มีโปรตีนหลักขนาด 25, 29 และ 45 kDa ซึ่งโปรตีนหลักขนาด 29 kDa น่าจะเป็นแคปซิดโปรตีน สำหรับแบคทีเรียโอเฟจ ϕ ABP-04 จัดอยู่ในแฟมิลี *Myoviridae* เมื่อพิจารณาารูปแบบโปรตีนแล้วพบว่าโปรตีนหลักคล้ายกัน ซึ่งโปรตีนหลักขนาด 32 kDa น่าจะเป็นแคปซิดโปรตีน สอดคล้องกับลักษณะรูปแบบโปรตีนของแบคทีเรียโอเฟจ AP22 พบว่าจัดอยู่ในแฟมิลี *Myoviridae* มีโปรตีนหลัก 3 ชนิดและมีหลายๆโปรตีนย่อย (Popova, et al., 2012) และ Abp53 พบว่าจัดอยู่ในแฟมิลี *Myoviridae* พบว่าโปรตีนหลักขนาด 32 kDa น่าจะเป็นแคปซิดโปรตีน (Lee, et al., 2011)

สำหรับการศึกษารูปแบบ DNA แบคทีเรียโอเฟจ ϕ ABP-01 และ ϕ ABP-04 มีขนาด DNA ประมาณ 23 kb ยกเว้น ϕ ABP-02 มีขนาด DNA มากกว่า 23 kb เมื่อนำ DNA ตัดด้วยเอนไซม์จำเพาะ 6 ชนิด คือ *Bam*HI, *Eco*RI, *Hind*III, *Sph*I, *Pst*I และ *Sma*I เพื่อยืนยันว่าแบคทีเรียโอเฟจที่ตัดแยกได้เป็นแบคทีเรียโอเฟจชนิดเดียวกันหรือไม่ ผลปรากฏว่า แบคทีเรียโอเฟจมีลักษณะทางพันธุกรรมที่แตกต่างกัน โดยรูปแบบ DNA ของ ϕ ABP-01 ถูกตัดด้วยเอนไซม์ *Bam*HI, *Eco*RI, *Hind*III และ *Sph*I ϕ ABP-02 ไม่ถูกตัดด้วยเอนไซม์จำเพาะที่ใช้ในการทดลอง ϕ ABP-04 ถูกตัดด้วยเอนไซม์ *Bam*HI, *Eco*RI, *Hind*III และ *Sph*I

จากรูปแบบ DNA ของแบคทีริโอเฟจ ϕ ABP-01 และ ϕ ABP-04 ที่ตัดด้วยเอนไซม์ *HindIII* มีแถบ DNA หลายขนาดเกิดขึ้นสอดคล้องกับ DNA ของแบคทีริโอเฟจ AB7-IBB1 (Yele, et al., 2012), AP22 (Popova, et al., 2012), Abp53 (Lee, et al., 2011) และ ϕ AB2 (Lin, et al., 2010) แต่ลักษณะรูปแบบ DNA นั้นมีลักษณะแตกต่างกัน นอกจากนี้ แบคทีริโอเฟจที่คัดเลือกมีตำแหน่งบริเวณตัดจำเพาะของเอนไซม์แตกต่างกันจากรูปแบบ DNA ที่ตัดด้วยเอนไซม์ทั้ง 6 ชนิด ดังนั้นจากผลการศึกษารูปแบบ DNA ของแบคทีริโอเฟจที่ตัดด้วยเอนไซม์จำเพาะ 6 ชนิด ยืนยันได้ว่าแบคทีริโอเฟจที่แยกได้เป็นแบคทีริโอเฟจคนละสายพันธุ์

แบคทีริโอเฟจต้องการ เอ็นโดไลซิน ในการทำให้เกิดการแตกของผนังเซลล์แบคทีเรียในช่วงท้ายของ lytic cycle การตรวจหาเอ็นโดไลซิน ยีนในแบคทีริโอเฟจทั้งสามสายพันธุ์พบเฉพาะในสายพันธุ์ ϕ ABP-01 และ ϕ ABP-04 ผลการวิเคราะห์ลำดับนิวคลีโอไทด์ของ ϕ ABP-01 และ ϕ ABP-04 พบว่าแบคทีริโอเฟจทั้งสองน่าจะมีความสัมพันธ์เชื่อมโยงกับแบคทีริโอเฟจ phiAB1 และ phiAB2 ที่แยกได้จากบ่อบำบัดน้ำเสียในประเทศไต้หวันและ Acinetobacter phage AB3 ที่แยกได้จากประเทศจีน (Lin et al., 2010; Chang et al., 2011). ผลการวิเคราะห์ลำดับนิวคลีโอไทด์บางส่วนของจีโนมของ ϕ ABP-01 พบว่าได้ 16 ORF โดยพบลำดับนิวคลีโอไทด์มีความคล้ายคลึงกับ Acinetobacter phage phiAB1, Acinetobacter phage Abp1 และ Acinetobacter phage AB3

สรุปผลการวิจัย

- จากการศึกษาคุณสมบัติทางชีววิทยาของแบคทีริโอเฟจ ϕ ABP-01 ϕ ABP-02 และ ϕ ABP-04 พบว่า ϕ ABP-01 จัดอยู่ในแฟมิลี Podoviridae ส่วน ϕ ABP-02 และ ϕ ABP-04 จัดอยู่ในแฟมิลี Myoviridae
- การศึกษาการทนความร้อนของแบคทีริโอเฟจทั้งสามพบอยู่ในช่วง 50 - 70 °C ϕ ABP-02 และ ϕ ABP-04 ทนต่อกรดต่างที่ pH 4.0 - 9.0 ส่วน ϕ ABP-01 ทนต่อกรดต่างที่ pH 5.0 - 9.0 แบคทีริโอเฟจทั้งสามสามารถเกาะติดโฮสต์เซลล์ 95 % ภายในเวลา 8 นาที One-step growth ของ ϕ ABP-01, ϕ ABP-02 และ ϕ ABP-04 เท่ากับ 15, 20 และ 20 นาทีตามลำดับ ส่วน burst sizes เท่ากับ 110, 120 and 150 PFU/cell ตามลำดับ
- การวิเคราะห์รูปแบบโปรตีนโดยวิธี SDS-PAGE และ รูปแบบการถูกตัดด้วย restriction enzyme พบว่าแบคทีริโอเฟจทั้งสามมีความแตกต่างกัน
- การตรวจหา endolysin ขนาด 558 bp พบเฉพาะใน ϕ ABP-01 และ ϕ ABP-04 โดย endolysin gene มีความคล้ายคลึงกับ แบคทีริโอเฟจ phiAB1 และ phiAB2
- การโคลนจีโนมของ ϕ ABP-01 ในเวกเตอร์ pBluescript และวิเคราะห์ลำดับนิวคลีโอไทด์บางส่วนของจีโนมของ ϕ ABP-01 พบมีความคล้ายคลึงกับจีโนมของแบคทีริโอเฟจ Acinetobacter phage phiAB1, Acinetobacter phage Abp1 และ Acinetobacter phage AB3

ข้อเสนอแนะ

งานวิจัยนี้เป็นการศึกษาคุณสมบัติของแบคทีเรียโอเฟจที่จำเพาะต่อเชื้อ *A. baumannii* ด้าน สรีรวิทยาและอนุชีววิทยา โดยเฉพาะแบคทีเรียโอเฟจ Φ ABP-01 ที่มีคุณสมบัติในการติดเชื้อ *A. baumannii* กว้างและความสามารถในการทำลายแบคทีเรียโฮสต์ได้ดีเหมาะสำหรับงานพัฒนาไปใช้ ประโยชน์ในงานด้านการรักษาและควบคุมการติดเชื้อ *A. baumannii* ในอนาคตควรเพิ่มจำนวนสายพันธุ์ ของเชื้อ *A. baumannii* ในการศึกษาความสามารถในการติดเชื้อของ แบคทีเรียโอเฟจ เพื่อจะทราบ ความสามารถในการติดเชื้อของแบคทีเรียโอเฟจที่แยกได้มากยิ่งขึ้น แบคทีเรียโอเฟจ Φ ABP-01 สามารถ นำไปศึกษาการทำลาย biofilm ของเชื้อ *A. baumannii* ที่เป็นปัญหาต่อการรักษาด้วยยาต้านจุลชีพ นำไป ศึกษาคุณสมบัติของ endolysin เพื่อนำไปผลิตเป็นเอนไซม์ทำลายแบคทีเรีย และนำไปพัฒนาผลิตเป็น phage cocktail เพื่อใช้รักษาโรคที่เกิดจากการติดเชื้อต่อไปได้



เอกสารอ้างอิง

- พรรณทิพา จันทร์ทัง.(2553). การแยกและการศึกษาลักษณะของเฟจของแบคทีเรียแลคติก ที่ได้จากผลิตภัณฑ์อาหารหมักในประเทศไทย. วิทยานิพนธ์ กศ.ม., มหาวิทยาลัย ศรีนครินทรวิโรฒ, กรุงเทพฯ.
- นิตรา บุญเกิด.(2550). การดื้อยา carbapenem ในเชื้อ *Acinetobacter baumannii* และ *Pseudomonas aeruginosa*. วิทยานิพนธ์ วท.ม., มหาวิทยาลัยนเรศวร, พิษณุโลก.
- พิไลพันธ์ พุฒวัฒนะ. (2540). ไวรัสวิทยา. กรุงเทพฯ: อักษรสมัย.
- ภัทรชัย กীরติสิน. (2549). วิทยาแบคทีเรียการแพทย์. กรุงเทพฯ: วิ.เจ.พรินติ้ง.
- ธวัชชัย กิตติ, วรณา กะหวัง, โอยนรรฐ กล้าหาญ, ดวงกมล ชันธเลิศ, พรรณนิกา ฤตวิรุฬห์ และ สุทธิรัตน์ สิทธิศักดิ์ (2555) การแยกและการศึกษาลักษณะแบคทีเรียโอฟาจ Φ NU001 ที่จำเพาะต่อ *Acinetobacter baumannii* A1589 ที่แยกจากบ่อบำบัดน้ำเสีย (Proceeding) นำเสนอในงานวิทยาศาสตร์วิจัยครั้งที่ 4 วันที่ 12-13 มีนาคม 2555 ณ คณะวิทยาศาสตร์ มหาวิทยาลัยนเรศวร
- Abedon, S. T., Hyman, P. and Thomas, C. (2003). Experimental examination of bacteriophage latent-period evolution as a response to bacterial availability. *Appl Environ Microbiol*, 69(12), 7499-7506.
- Abedon, S. T., Thomas-Abedon, C., Thomas, A. and Mazure, H. (2011). Bacteriophage prehistory: Is or is not Hankin, 1896, a phage reference? *Bacteriophage*, 1(3), 174-178.
- Ackermann, H. W. (2001). Frequency of morphological phage descriptions in the year 2000. Brief review. *Arch Virol*, 146(5), 843-857.
- Ackermann, H. W. (2009). Phage classification and characterization. *Methods Mol Biol*, 501, 127-140.
- Adams, M.H. (1959). *Bacteriophages*. New York: Inter science Publishers.
- Agnihotri, N, Gupta, V, Joshi, RM (2004). Aerobic bacterial isolates from burn wound infections and their antibiograms—a five-year study. *Burns* 30 :241–243.
- Aksyuk, A. A. and Rossmann, M. G. (2011). Bacteriophage assembly. *Viruses*, 3(3), 172-203.

- Alvarez-Lerma, F., Palomar, M., Olaechea, P., Otaol, J. J., Insausti, J. and Cerda, E. (2007). National study of control of nosocomial infection in intensive care units. evolutive report of the years 2003-2005. *Med Intensiva*, 31(1), 6-17
- Bergogne-Berezin, E. and Towner, K. J. (1996). *Acinetobacter* spp. as nosocomial pathogens: microbiological, clinical, and epidemiological features. *Clin Microbiol Rev*, 9(2), 148-165.
- Bertin, A., de Frutos, M. and Letellier, L. (2011). Bacteriophage-host interactions leading to genome internalization. *Curr Opin Microbiol*, 14(4), 492-496.
- Bigot, B., Lee, W. J., McIntyre, L., Wilson, T., Hudson, J. A., Billington, C., et al. (2011). Control of *Listeria monocytogenes* growth in a ready-to-eat poultry product using a bacteriophage. *Food Microbiology*, 28(8), 1448-1452.
- Biswas, B, Adhya, S, Washart, P, Paul, B, Trostel, AN, Powell, B, Carlton, R and Merrill, CR (2002). Bacteriophage therapy rescues mice bacteremic from a clinical isolate of vancomycin-resistant *Enterococcus faecium*. *Infect Immun* 70,204-210.
- Bowler, P, Duerden, B, Armstrong, D (2001). Wound microbiology and associated approaches to wound management. *Clin Microbiol Rev* 14(2) 244-69.
- Bonomo, R. A. and Szabo, D. (2006). Mechanisms of multidrug resistance in *Acinetobacter* species and *Pseudomonas aeruginosa*. *Clin Infect Dis*, 43 (2), S49-56.
- Canchaya, C., Proux, C., Fournous, G., Bruttin, A. and Brussow, H. (2003). Prophage genomics. *Microbiol Mol Biol Rev*, 67(2), 238-276.
- Capparelli, R, Parlato, M, Borriello, G, Salvatore, P, Iannelli, D (2007). Experimental phage therapy against *Staphylococcus aureus* in mice. *Antimicrob Agents Chemother* 51(8), 2765-73.
- Carbonne A, Naas T, Blanckaert K, Couzigou C, Cattoen C, Chagnon JL, Nordmann P, Astagneau P (2005). Investigation of a nosocomial outbreak of extended-spectrum β -lactamase VEB-1-producing isolates of *Acinetobacter baumannii* in a hospital setting. *J Hosp Infect* 60,14-8.

- Carter, J. and Saunders, V. (2007). *Virology principles and applications*. UK: John Wiley and Sons.
- Chaiwarith, R., Mahatthanaphak, S., Boonchoo, M., Supparatpingy, K. and Sirisanthana, T. (2005). Pandrug-Resistant *acinetobacter baumannii* at Maharaj Nakorn Chiang Mai hospital. *J Infect Dis Antimicrob Agents*, 22, 1- 8.
- Choi, C. H., Lee, J. S., Lee, Y. C., Park, T. I. and Lee, J. C. (2008). *Acinetobacter baumannii* invades epithelial cells and outer membrane protein A mediates interactions with epithelial cells. *BMC Microbiol*, 8, 216.
- D'Herelle, F. (1917). Sur un microbe invisible antagoniste des bacilles dysenteriques. *Comptes Rend Acad Sci Paris*, 165, 373-375.
- De Vries, J., Harms, K., Broer, I., Kriete, G., Mahn, A., Düring, K., et al. (1999). The bacteriolytic activity in transgenic potatoes expressing a chimeric T4 lysozyme gene and the effect of T4 lysozyme on soil- and phytopathogenic bacteria. *Systematic and Applied Microbiology*, 22(2), 280-286.
- Dijkshoorn L, Nemec A, Seifert H (2007). An increasing threat in hospitals: multidrug-resistant *Acinetobacter baumannii*. *Nat Rev Microbiol* 5(12), 939-51.
- Dizbay, M., Altuncekic, A., Sezer, B. E., Ozdemir, K. and Arman, D. (2008). Colistin and tigecycline susceptibility among multidrug-resistant *Acinetobacter baumannii* isolated from ventilator-associated pneumonia. *Int J Antimicrob Agents*, 32(1), 29-32.
- Duckworth, D. H. (1976). Who discovered bacteriophage?. *Bacteriol Rev*, 40(4), 793-802.
- Erridge, C., Moncayo-Nieto, O. L., Morgan, R., Young, M. and Poxton, I. R. (2007). *Acinetobacter baumannii* lipopolysaccharides are potent stimulators of human monocyte activation via Toll-like receptor 4 signalling. *J Med Microbiol*, 56 (2), 165-171.

- Eron, LJ (1999). Targeting lurking pathogens in acute traumatic and chronic wounds. *J Emerg Med*, 17(1),189-95.
- Gaddy, J. A. and Actis, L. A. (2009). Regulation of *Acinetobacter baumannii* biofilm formation. *Future Microbiol*, 4(3), 273-278.
- Gallet, R., Kannoly, S. and Wang, I. N. (2011). Effects of bacteriophage traits on plaque formation. *BMC Microbiol*, 11, 181.
- Gehrlein, M., Leying, H., Cullmann, W., Wendt, S. and Opferkuch, W. (1991). Imipenem resistance in *Acinetobacter baumannii* is due to altered penicillin-binding proteins. *Chemotherapy*, 37(6), 405-412.
- Gordon, N. C. and Wareham, D. W. (2010). Multidrug-resistant *Acinetobacter baumannii*: mechanisms of virulence and resistance. *Int J Antimicrob Agents*, 35(3), 219-226.
- Hagens, S. and Loessner, M. J. (2007). Application of bacteriophages for detection and control of foodborne pathogens. *Appl Microbiol Biotechnol*, 76(3), 513-519.
- Hanlon, G. W. (2007). Bacteriophages: an appraisal of their role in the treatment of bacterial infections. *Int J Antimicrob Agents*, 30(2), 118-128.
- Jin, J., Li, Z. J., Wang, S. W., Wang, S. M., Huang, D. H., Li, Y. H., et al. (2012). Isolation and characterization of ZZ1, a novel lytic phage that infects *Acinetobacterbaumannii* clinical isolates. *BMC Microbiol*, 12(1), 156.
- Jonczyk, E., Klak, M., Miedzybrodzki, R. and Gorski, A. (2011).The influence of external factors on bacteriophages-review.*Folia Microbiol(Praha)*, 56(3), 191-200.
- Keerasuntonpong, A., Samakeenich, C., Tribuddharat, C. and Thamlikitkul, V. (2006). Epidemiology of *Acinetobacter baumannii* infections in Siriraj hospital. *Siriraj Med J*, 58(8), 951-954.
- Khakhum, N., Yordpratum, U. and Wongratanacheewin, R. (2010). Bacteriophages and their medical applications. *Srinagarind Med J*, 25(1), 47-53.
- Kropinski, A. M. (2006). Phage therapy - everything old is new again. *Can J Infect Dis Med Microbiol*, 17(5), 297-306.

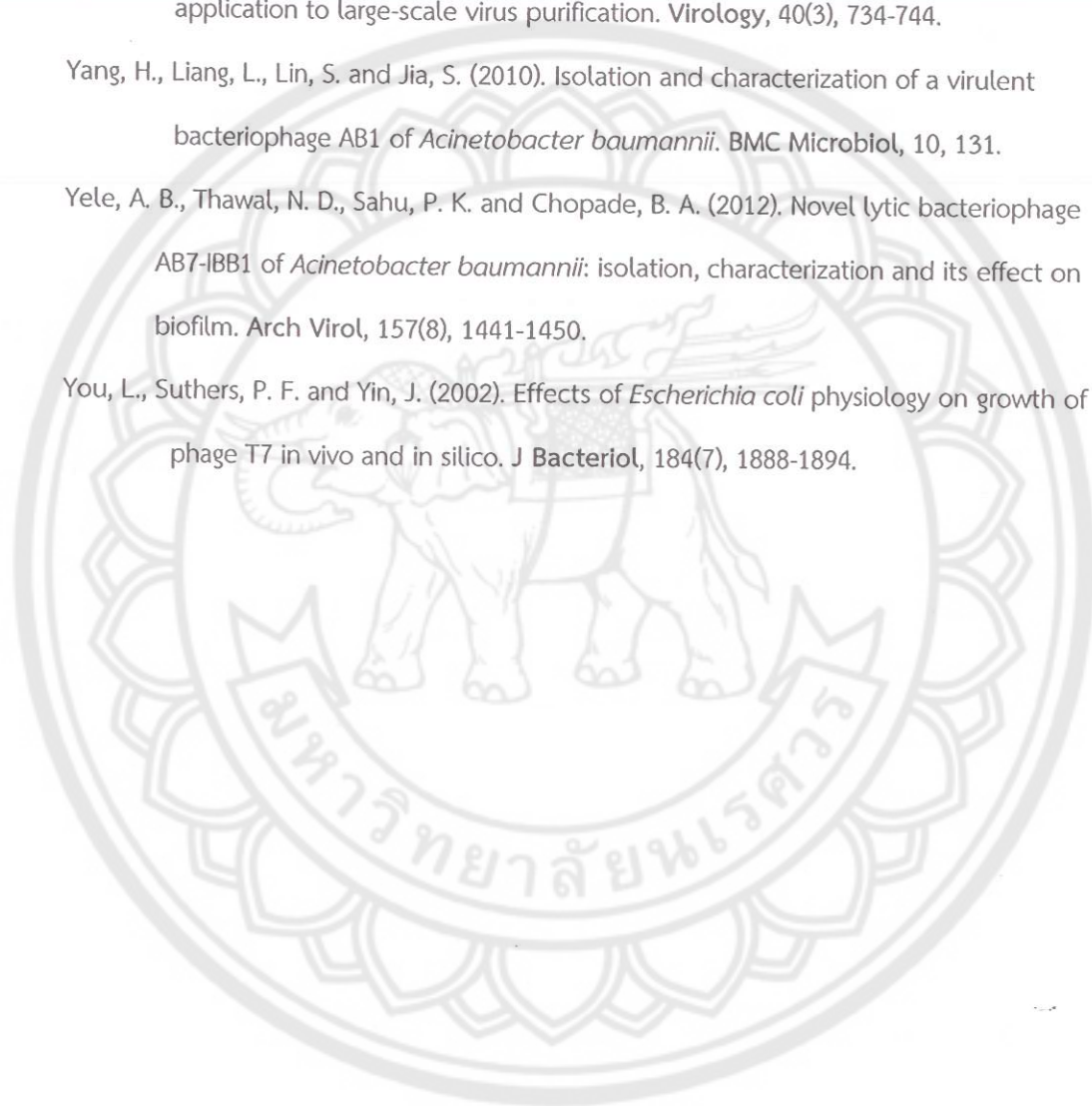
- Kutter, E. and Sulakvelidze, A. (2005). **Bacteriophages: biology and applications**. USA: CRC Press.
- Krylov VN (2001) Phage therapy in terms of bacteriophage genetics: hopes, perspectives, safety, limitations. *Russian Journal of genetics*, 37(7), 715-730.
- Labrie, S. J., Samson, J. E. and Moineau, S. (2010). Bacteriophage resistance mechanisms. *Nat Rev Microbiol*, 8(5), 317-327.
- Lai, M. J., Lin, N. T., Hu, A., Soo, P. C., Chen, L. K., Chen, L. H., et al. (2011). Antibacterial activity of *Acinetobacter baumannii* phage ϕ AB2 endolysin (LysAB2) against both gram-positive and gram-negative bacteria. *Appl Microbiol Biotechnol*, 90(2), 529-539.
- Lee, C. N., Tseng, T. T., Lin, J. W., Fu, Y. C., Weng, S. F. and Tseng, Y. H. (2011). Lytic myophage Abp53 encodes several proteins similar to those encoded by host *Acinetobacter baumannii* and phage phiKO2. *Appl Environ Microbiol*, 77(19), 6755-6762.
- Lin, N. T., Chiou, P. Y., Chang, K. C., Chen, L. K. and Lai, M. J. (2010). Isolation and characterization of phi AB2: a novel bacteriophage of *Acinetobacter baumannii*. *Res Microbiol*, 161(4), 308-314.
- Loeffler, J. M., Nelson, D. and Fischetti, V. A. (2001). Rapid killing of *Streptococcus pneumoniae* with a bacteriophage cell wall hydrolase. *Science*, 294(5549), 2170-2172.
- Mahony, J., McAuliffe, O., Ross, R. P. and van Sinderen, D. (2011). Bacteriophages as biocontrol agents of food pathogens. *Curr Opin Biotechnol*, 22(2), 157-163.
- Matsuzaki S, Rashel M, Uchiyama J, Sakurai S, Ujihara T, Kuroda M, Ikeuchi M, Tani T, Fujieda M, Wakiguchi H, Imai S (2005). Bacteriophage therapy: a revitalized therapy against bacterial infectious diseases. *J Infect Chemother*, 11(5), 211-9.

- Marza JA, Soothill JS, Boydell P, Collyns TA (2006) Multiplication of therapeutically administered bacteriophages in *Pseudomonas aeruginosa* infected patients. *Burns* 32, 644–646.
- McVay CS, Velásquez M, Fralick JA (2007). Phage therapy of *Pseudomonas aeruginosa* infection in a mouse burn wound model. *Antimicrob Agents Chemother* 51(6), 1934-8.
- National Antimicrobial Resistance Surveillance Center, Thailand. (n.d.). Percent susceptibility. Retrieved March 23, 2012, from <http://narst.dmsc.moph.go.th/>.
- Nemec, A., Krizova, L., Maixnerova, M., Diancourt, L., Van, J. K., Reijden, D., et al. (2008). Emergence of carbapenem resistance in *Acinetobacter baumannii* in the Czech Republic is associated with the spread of multidrug-resistant strains of European clone II. *J. Antimicrob. Chemother*, 62, 484 - 489.
- Niumsup, P. R., Boonkerd, N., Tansawai, U. and Tiloklurs, M. (2009). Carbapenem-resistant *Acinetobacter baumannii* producing OXA-23 in Thailand. *Jpn J Infect Dis*, 62(2), 152-154.
- Noppe-Leclercq I, Wallet F, Haentjens S, Courcol R, Simonet M (1999) PCR detection of aminoglycoside resistance genes: a rapid molecular typing method for *Acinetobacter baumannii*. *Res Microbiol* 150, 317-322.
- Peleg, A. Y., Seifert, H. and Paterson, D. L. (2008). *Acinetobacter baumannii*: emergence of a successful pathogen. *Clin Microbiol Rev*, 21(3), 538-582.
- Phumkhom, P. (2009). Bacteriophage therapy. *J Med Tech Phy Ther*, 21(2), 96-103.
- Poirel, L. and Nordmann, P. (2006). Carbapenem resistance in *Acinetobacter baumannii*: mechanisms and epidemiology. *Clin Microbiol Infect*, 12(9), 826-836.
- Popova, A. V., Zhilenkov, E. L., Myakinina, V. P., Krasilnikova, V. M. and Volozhantsev, N. V. (2012). Isolation and characterization of wide host range lytic bacteriophage AP22 infecting *Acinetobacter baumannii*. *FEMS Microbiol Lett*, 332(1), 40-46.

- Puttlerpong, C., Chawanasit, W., Laohawaleesan, W., Rungsang, W. and Ritteeverakul, P. (2011). Antimicrobial use in hospital-acquired pneumonia with multidrug-resistant *Acinetobacter baumannii* at King Chulalongkorn Memorial hospital. *Thai Pharm Health Sci J*, 6(1), 32-38.
- Rakhuba, D. V., Kolomiets, E. I., Dey, E. S. and Novik, G. I. (2010). Bacteriophage receptors, mechanisms of phage adsorption and penetration into host cell. *Pol J of Microbiol*, 59(3), 145-155.
- Rodsathien, P. (2008). Multidrug resistance *Acinetobacter baumannii* at Lopburi hospital. *Khon Kaen Med J*, 32(6), 74-81.
- Rungruanghiranya S, Somboonwit C, Kanchanapoom T (2005). *Acinetobacter* infection in the intensive care unit. *J Infect Dis Antimicrob Agents*, 22,77-92.
- Santimaleeworagun, W., Wongpoowarak, P., Chayakul, P., Pattharachayakul, S., Tansakul, P. and Garey, K. W. (2011). Clinical outcomes of patients infected with carbapenem-resistant *Acinetobacter baumannii* treated with single or combination antibiotic therapy. *J Med Assoc Thai*, 94(7), 863-870.
- Seed, K. D. and Dennis, J. J. (2005). Isolation and characterization of bacteriophages of the *Burkholderia cepacia* complex. *FEMS Microbiol Lett*, 251(2), 273-280.
- Siroy, A., Cosette, P., Seyer, D., Lemaitre-Guillier, C., Vallenet, D., Van Dorsselaer, A., et al. (2006). Global comparison of the membrane subproteomes between a multidrug-resistant *Acinetobacter baumannii* strain and a reference strain. *J Proteome Res*, 5(12), 3385-3398.
- Soothill, J. S. (1992). Treatment of experimental infections of mice with bacteriophages. *J Med Microbiol*, 37(4), 258-261.
- Souli, M., Galani, I. and Giamarellou, H. (2008). Emergence of extensively drug-resistant and pandrug-resistant Gram-negative bacilli in Europe. *Euro Surveill*, 13(47), 1-11.
- Su, M. T., Venkatesh, T. V. and Bodmer, R. (1998). Large- and small-scale preparation of bacteriophage lambda lysate and DNA. *Biotechniques*, 25(1), 44-46.

- Thawal, N. D., Yele, A. B., Sahu, P. K. and Chopade, B. A. (2012). Effect of a novel podophage AB7-IBB2 on *Acinetobacter baumannii* biofilm. *Curr Microbiol*, 65(1), 66-72.
- Uchiyama J, Rashed M, Takemura I, Wakiguchi H, Matsuzaki S. (2008). In silico and in vivo evaluation of bacteriophage phiEF24C, a candidate for treatment of *Enterococcus faecalis* infections. *Appl Environ Microbiol*, 74(13), 4149-63.
- Vidal, R., Dominguez, M., Urrutia, H., Bello, H., Gonzalez, G., Garcia, A., et al (1996). Biofilm formation by *Acinetobacter baumannii*. *Microbios*, 86(346), 49-58.
- Visalsawadi, J. (2008). Increasing of carbapenem-resistant and multiple drug-resistant *Acinetobacter baumannii* in Maharat Nakhon Ratchasima hospital. *Nakhon Ratch Med Bull*, 32, 19-28.
- Wagenaar, J. A., Van Bergen, M. A., Mueller, M. A., Wassenaar, T. M. and Carlton, R. M. (2005). Phage therapy reduces *Campylobacter jejuni* colonization in broilers. *Vet Microbiol*, 109(3-4), 275-283.
- Walsh, T. R., Toleman, M. A., Poirel, L. and Nordmann, P. (2005). Metallo-beta-lactamases: the quiet before the storm? *Clin Microbiol Rev*, 18(2), 306-325.
- Wang, I. N. (2006). Lysis timing and bacteriophage fitness. *Genetics*, 172(1), 17-26.
- Watanabe, T., Morimoto, A. and Shiomi, T. (1975). The fine structure and the protein composition of gamma phage of *Bacillus anthracis*. *Can J Microbiol*, 21(11), 1889-1892.
- Weigel, C. and Seitz, H. (2006). Bacteriophage replication modules. *FEMS Microbiol Rev*, 30(3), 321-381.
- Weinbauer, M. G. and Hijfle, M. G. (1998). Size-specific mortality of lake bacterioplankton by natural virus communities. *Aquat Microb Ecol*, 15, 103-113.
- Wisplinghoff, H., Bischoff, T., Tallent, S. M., Seifert, H., Wenzel, R. P. and Edmond, M. B. (2004). Nosocomial bloodstream infections in US hospitals: analysis of 24,179 cases from a prospective nationwide surveillance study. *Clin Infect Dis*, 39(3), 309-317.

- Wroblewska, M. M., Towner, K. J., Marchel, H. and Luczak, M. (2007). Emergence and spread of carbapenem-resistant strains of *Acinetobacter baumannii* in a tertiary-care hospital in Poland. *Clin Microbiol Infect*, 13(5), 490-496.
- Yamamoto, K. R., Alberts, B. M., Benzinger, R., Lawhorne, L. and Treiber, G. (1970). Rapid bacteriophage sedimentation in the presence of polyethylene glycol and its application to large-scale virus purification. *Virology*, 40(3), 734-744.
- Yang, H., Liang, L., Lin, S. and Jia, S. (2010). Isolation and characterization of a virulent bacteriophage AB1 of *Acinetobacter baumannii*. *BMC Microbiol*, 10, 131.
- Yele, A. B., Thawal, N. D., Sahu, P. K. and Chopade, B. A. (2012). Novel lytic bacteriophage AB7-IBB1 of *Acinetobacter baumannii*: isolation, characterization and its effect on biofilm. *Arch Virol*, 157(8), 1441-1450.
- You, L., Suthers, P. F. and Yin, J. (2002). Effects of *Escherichia coli* physiology on growth of phage T7 in vivo and in silico. *J Bacteriol*, 184(7), 1888-1894.



กิตติกรรมประกาศ

ผู้วิจัยขอขอบคุณทุนอุดหนุนการวิจัย กองทุนวิจัยมหาวิทยาลัยนเรศวร ประจำปีงบประมาณ พ.ศ. 2555 ที่ให้การสนับสนุนโครงการวิจัยนี้จนเสร็จสิ้นสมบูรณ์ ผู้วิจัยขอขอบคุณ นายธวัชชัย กิตติ นายระพี ธรรมมีภักดิ์ นิสิตปริญญาโท ภาควิชาจุลชีววิทยาและปรสิตวิทยา คณะวิทยาศาสตร์การแพทย์ มหาวิทยาลัยนเรศวร ที่ร่วมดำเนินการวิจัย และสุดท้ายนี้ผู้วิจัยขอขอบคุณ คณะวิทยาศาสตร์การแพทย์ มหาวิทยาลัยนเรศวรและภาควิชาจุลชีววิทยาและปรสิตวิทยา คณะวิทยาศาสตร์การแพทย์ มหาวิทยาลัยนเรศวร ที่ให้การสนับสนุนอุปกรณ์เครื่องมือและสถานที่ในการทำวิจัย



Output ที่ได้จากโครงการ

1. เข้าร่วมนำเสนอผลงานในที่ประชุมวิชาการ ที่มีการตีพิมพ์เฉพาะ Abstract ในงานนเรศวรวิจัยวันที่ 28-29 ก.ค. 2556 ในหัวข้อเรื่อง “การศึกษาคุณสมบัติทางอนุชีววิทยาของ *Acinetobacter baumannii* phage ABP-01”

ส่งบทความตีพิมพ์ในวารสารระดับนานาชาติ Journal of Basic Microbiology ในหัวข้อเรื่อง

Characterization of three novel *Acinetobacter baumannii* bacteriophages isolated from waste water treatment plants.



ภาคผนวก (Appendix I)

บทคัดย่อการไปเสนอผลงานนเรศวรวิจัยวันที่ 28-29ก.ค. 2556 เรื่อง การศึกษาคุณสมบัติทางอนุชีววิทยาของ *Acinetobacter baumannii* phage ABP-01

บทคัดย่อ

การศึกษาคุณสมบัติทางอนุชีววิทยาของ *Acinetobacter baumannii* bacteriophage Φ ABP-01

ระพี ธรรมมีภักดี^{1*} ธวัชชัย กิตติ² และ สุทธิรัตน์ สิทธิศักดิ์²

Molecular Characterization of *Acinetobacter baumannii* bacteriophage Φ ABP-01

Rapee Thummeepak^{1*}, Thawatchai Kitti² and Sutthirat Sitthisak²

¹ หลักสูตรวิทยาศาสตรมหาบัณฑิต สาขาวิชาจุลชีววิทยา คณะวิทยาศาสตร์การแพทย์ มหาวิทยาลัยนเรศวร

² ภาควิชาจุลชีววิทยาและปรสิตวิทยา คณะวิทยาศาสตร์การแพทย์ มหาวิทยาลัยนเรศวร

¹ Masters Programs in Microbiology, Faculty of Medical Sciences, Naresuan University

² Department of Microbiology and Parasitology, Faculty of Medical Sciences, Naresuan University

* Corresponding author. E-mail : Rapee_worm32@hotmail.com

บทคัดย่อ

งานวิจัยนี้มีวัตถุประสงค์เพื่อศึกษาลักษณะทางอนุชีววิทยาของแบคทีเรียโอเฟจที่จำเพาะต่อเชื้อ *Acinetobacter baumannii* สายพันธุ์ Φ ABP-01 ซึ่งแยกได้จากบ่อบำบัดน้ำเสีย จากการศึกษาภายใต้กล้องจุลทรรศน์อิเล็กตรอนแบบส่องผ่านพบว่าลักษณะทางสัณฐานวิทยาของแบคทีเรียโอเฟจ Φ ABP-01 มีลักษณะทางแบบ short tail ยาว 9 นาโนเมตร และมี icosahedral head เส้นผ่านศูนย์กลาง 78 นาโนเมตร สามารถจัดอยู่ใน *Podoviridae* family จีโนมของแบคทีเรียโอเฟจ Φ ABP-01 มีขนาด 23 kb ถูกตัดด้วยเอนไซม์ตัดจำเพาะ *Bam*HI *Eco*RI *Hind*III *Sph*I *Pst*I และ *Sma*I นอกจากนั้นยังถูกย่อยด้วย DNaseI ทำให้ทราบว่าจีโนมเป็นดีเอ็นเอสายคู่ จากการวิเคราะห์โปรตีนด้วยเทคนิค SDS - polyacrylamide gel electrophoresis พบว่ามีแถบโปรตีนหลักๆอยู่หนึ่งแถบซึ่งมีมวลโมเลกุลประมาณ 28 กิโลดาลตัน และแถบโปรตีนอื่นๆซึ่งมีมวลโมเลกุลไล่เรียงตั้งแต่ 20 ถึง 97 กิโลดาลตัน การเพิ่มปริมาณยีนเอนโดไลซินของแบคทีเรียโอเฟจ Φ ABP-01 (*endolysin*; *lys*) ด้วยวิธีพีซีอาร์พบว่ามีความยาว 558 bp จากนั้นนำยีนเอนโดไลซินไปโคลนและหาลำดับนิวคลีโอไทด์ ผลจากการวิเคราะห์ลำดับนิวคลีโอไทด์ของยีนเอนโดไลซินพบว่า มีบริเวณ open reading frame เท่ากับ 558 bp แปล

รหัสให้โปรตีนซึ่งมีมวลโมเลกุลจากการทำนาย 21.14 กิโลดาลตัน (กรดอะมิโน 185 ตัว) และมีค่า pI เท่ากับ 9.42 การเปรียบเทียบลำดับนิวคลีโอไทด์และลำดับกรดอะมิโนพบว่าการอนุรักษ์กับแบคทีริโอเฟจสายพันธุ์อื่น คือ *Acinetobacter* phage phiAB1 *Acinetobacter* phage phiAB2 และ *Acinetobacter* phage AB3 โดยที่ลำดับนิวคลีโอไทด์มี homology กับแบคทีริโอเฟจสายพันธุ์ดังกล่าวคิดเป็นร้อยละ 94, 94 และ 93 ตามลำดับ ส่วนลำดับกรดอะมิโนมี homology กับแบคทีริโอเฟจสายพันธุ์ดังกล่าวคิดเป็นร้อยละ 95, 95 และ 94 ตามลำดับการศึกษาต่อจากนี้คือการผลิตโปรตีนเอนโดไลซินลูกผสมของแบคทีริโอเฟจ Φ ABP-01 เพื่อใช้ในการควบคุมการติดเชื้อ multidrug resistant *A. baumannii*

คำสำคัญ: *Acinetobacter baumannii* แบคทีริโอเฟจ เอนโดไลซิน

Abstract

A. baumannii bacteriophage, Φ ABP-01 was isolated from waste water treatment plants. In this study, we examined the molecular characteristics of bacteriophage Φ ABP-01. Morphological characterization of Φ ABP-01 by transmission electron microscopy showed it had a short tail 9 nm and an icosahedral head 78 nm in diameter, suggesting that it belongs to the *Podoviridae* family. 23 kb genome of Φ ABP-01 was cut with restriction enzyme *Bam*HI, *Eco*RI, *Hind*III, *Sph*I, *Pst*I and *Sma*I and digested with *DNase*I, revealed that Φ ABP-01 genome was double stranded DNA. Protein analysis using SDS - polyacrylamide gel electrophoresis revealed 1 major protein band of approximately 28 kDa and many minor protein bands with molecular weight ranging from 20 - 97 kDa. PCR product with 558 bp of endolysin gene (*lys*) was identified. The endolysin gene of Φ ABP-01 was subsequently cloned and sequenced. Sequence analysis revealed an open reading frame of 558 bp with a predicted molecular weight of 21.14 kDa (185 amino acid) and a deduced pI of 9.42. Alignment analysis indicated that the nucleotide sequence and the deduced amino acid sequence are conserved to other bacteriophage, including *Acinetobacter* phage phiAB1, *Acinetobacter* phage phiAB2 and *Acinetobacter* phage AB3. The homology for nucleotide sequences of Φ ABP-01 to that of these bacteriophages are 94%, 94% and 93%, respectively, and the homology for amino acid sequences are 95%, 95% and 94%, respectively. Future work is performing in respect to produce endolysin recombinant protein of Φ ABP-01 for further study in order to control multidrug resistant *A. baumannii* infection.

Keywords: *Acinetobacter baumannii*, bacteriophage, endolysini

ภาคผนวก 2 (Appendix II)

Manuscript **สังวรสสาร** Journal of Basic Microbiology**Characterization of three novel *Acinetobacter baumannii* bacteriophages isolated from
waste water treatment plant**Authors: Thawatchai Kitti¹, Rapee Thummeepak¹, Kamala Boonyodying¹Duangkamol Kunthalert^{1,2}, Pannika ritvirool^{1,2} and Sutthirat Sitthisak^{1,2}Address: ¹Department of Microbiology and Parasitology, Faculty of
Medical Science, Naresuan University, Phitsanulok, Thailand²Centre of Excellence in Medical Biotechnology, Faculty of Medical
Science, Naresuan University, Phitsanulok, ThailandShort Running Title: Characterization of *Acinetobacter baumannii* bacteriophagesKeywords: *Acinetobacter baumannii*, bacteriophage, lytic, endolysin

*Author for correspondence:

Dr. Sutthirat Sitthisak

Department of Microbiology and Parasitology

Faculty of Medical Sciences, Naresuan University

Phitsanulok, Thailand

Tel: 66-55-964626; Fax: 66-55-964770

E-mail: sutthirats@nu.ac.th

Abstract

Acinetobacter baumannii is an opportunistic pathogen that exists widely in hospital environments. The emergence of multidrug resistant *A. baumannii* (MDRAB) has been reported worldwide. Therefore, it is necessary to find a novel and effective treatment for MDRAB infection. In this study, three bacteriophages, designed as ØABP-01, ØABP-02, and ØABP-04 were selected for analysis. Transmission electron microscopy revealed that bacteriophage ØABP-01 belonged to the *Podoviridae* family and bacteriophage ØABP-02 and ØABP-04 were classified into the family *Myoviridae*. Thermal stability test showed that all bacteriophages survived at 50 - 70 °C. ØABP-02 and ØABP-04, were stable to the wide range of pH4.0 - 9.0, and ØABP-01 remained stable at pH5.0 - 9.0. All bacteriophage showed 95% adsorbed to the host cells within 8 minutes. One-step growth of ØABP-01, ØABP-02 and ØABP-04 exhibited that the latent period were 15, 20 and 20 minutes and the burst sizes were 110, 120 and 150 PFU/cell respectively. Protein analysis using SDS-PAGE revealed variation in major and minor bands of bacteriophage proteins. DNA restriction analysis of three bacteriophages cutting with *EcoRI*, *HindIII*, *PstI*, *SphI*, *BamHI* and *SmaI* showed different DNA patterns. Bacteriophage ØABP-01 from this study could be used as a candidate for studying to control MDRAB infections.

Introduction

Acinetobacter baumannii is a gram negative coccobacillus which is ubiquitous in the hospital setting. *A. baumannii* causes a diverse range of infection such as ventilator-associated pneumonia, skin and soft-tissue infections, urinary tract infection, wound and blood stream infection. It is an opportunistic pathogen that is a major cause of nosocomial infection which has a high mortality rate [1]. Emergence of multidrug resistant *A. baumannii* (MDRAB) has been reported worldwide for decades, severely limiting the treatment of these infections [2,3,4,5]. The incidence of antibiotic resistance leads to the search for an alternative antimicrobial treatment. Phage therapy is one alternative choice for the treatment of multidrug resistant bacteria [6]. Clinical trials of bacteriophages and their derivatives as potential alternative agents for controlling multi drug resistance infection have been described in various bacterial pathogens [7,8,9,10]. Bacteriophages are able to replicate in the host cell and produce endolysin in order to lyse the host cell. Endolysin is a phage enzyme which is capable of degrading peptidoglycan of the bacterial cell wall, resulting in a rapid lysis of the bacterial cell [11, 12]. Phage endolysins have been studied in a variety of pathogenic bacteria including *A. baumannii* for their antibacterial activity [12,13,14]. A number of *Acinetobacter baumannii* bacteriophages have been isolated and characterized in the past three years [15, 16, 17, 18, 19, 20, 21, 22, 23]. However, there are geographic differences in *A. baumannii* host

strains. Owing to their host specificity, bacteriophage isolates and phage endolysin from one area may not be effective in all areas. Thus, the aim of this study was to isolate and characterize the *Acinetobacter baumannii* bacteriophage in waste water treatment plant from two hospitals in Thailand. *A. baumannii* phages designed as ØABP-01, ØABP-02 and ØABP-04 were selected, characterized and detected for the endolysin gene.

Materials and methods

Bacterial strains and media

Eleven clinical MDRAB isolates obtained from Buddhachinaraj hospital, Phitsanulok, Thailand were used for screening of *Acinetobacter baumannii* bacteriophage [24]. All *A. baumannii* were grown in Luria- Bertani broth (LB) or Luria- Bertani Agar (LBA).

Bacteriophage isolation

Phages were isolated from wastewater treatment plants in two hospitals (Buddhachinaraj hospital and Bang Rakam hospital, Phitsanulok). Samples were collected 3 times at monthly interval from October – December 2010. Samples were centrifuged and filtered through a 0.45-µm-pore-size membrane. Then, 5 ml each of the filtered supernatants were mixed with 5 ml double strength broth containing (v/v) of overnight culture *A. baumannii*. After 48 h of growth at 25°C, the culture was centrifuged and filtered through membrane filter (0.45 µm pore size). The presence of lytic phage in the filtrate was examined by using the double layer method with some modifications [25]. Briefly, 100 µl of the filtrate was mixed with 100 µl of

overnight culture of *A. baumannii* and 200 μ l of 0.1 M CaCl_2 . The mixture was incubated 5 minutes, added 2.5 ml soft agar (0.7% agar) and poured into TSA plate. The presence of lytic phage in the form of plaques was detected after incubation of the plate at 37°C for 7-8 hrs.

Phages enrichment and Purification

Lysates for phages purification were prepared by infecting 100 ml of bacterial host cells with a phages at a multiplicity of infection (MOI) of 0.5 and incubated with aeration until complete lysis. After that, chloroform was added and bacterial debris was pelleted by centrifugation at 4000 g for 10 min. The supernatants were passed through a membrane filter. Three repeated rounds of complete lysis were performed and the filtrates were subjected to the double layer method as mentioned above.

Host range analysis

Host range analysis was determined by spot test using 11 *A. baumannii* clinical isolates, *A. baumannii* ATCC19606 and 14 strains of different bacterial species (*Enterococcus faecalis*, *Klebsiella pneumoniae*, *Proteus mirabilis*, *Proteus vulgaris*, *Pseudomonas fluorescens*, *Salmonella Typhi*, *Salmonella Typhimurium*, *Shigella flexneri*, *Vibrio parahaemolyticus*, *Bacillus cereus*, *Bacillus subtilis*, *Enterobacter aerogenes*, *Escherichia coli* and *Pseudomonas aeruginosa*). 100 ml of overnight bacterial cultures were added into a 2.5 ml of soft agar, mixed gently and poured into an agar plate. After that, 5 μ l phages (1.0×10^8 PFU) suspension were spotted on the lawn of bacteria. Plates were dried and incubated at 37 °C for 7 h.

Clearance zone indicating lysis at the spot of phages inoculation implied that the host was sensitive.

Lytic activity

The host lysis assay was performed by mixing phages (MOI = 1) with host cells grown in LB to an OD₆₀₀ of 0.3 - 0.4. The mixtures were incubated at 30°C, and aliquots were taken every 2 hrs intervals to measure the OD₆₀₀ until 10 hrs. Each host lysis activity test was repeated in triplicate.

Phage adsorption

Exponentially grown *A. baumannii* cells were mixed with the phage (MOI = 0.001) and incubated at room temperature. A volume of 100 µl of samples was taken in 2, 4, 6, 8, 10, 12, 14, 16, 18 and 20 mins, mixed with 900 µl of cold LB broth and centrifuged (12,000 x g, 5 min). Unadsorbed phages titer in each sample was measured by double-layer method after making appropriate dilutions. Each of the above experiments was repeated three times with triplicate samples.

One Step Growth

Cells of *A. baumannii* were harvested by centrifugation and then resuspended in fresh LB broth into concentration of 1×10^9 CFU/ml. Phages were added at an MOI of 0.001 and allowed to adsorb for 30 min at 4 °C. The mixtures were then centrifuged at 12,000 x g for 10 min and the pellet was resuspended in 20 ml of LB broth. Samples were taken every 5 min

over a period of 60 min and immediately assayed for plaque titer by the method described earlier. Latent period, burst time and burst size were calculated from the one-step growth curve. Each of the above experiments was repeated three times with triplicate samples.

Morphology of phage

A drop of phages (10^{12} PFU/ml) was applied to the surface of a formvar-coated grid and negatively stained with 0.5% uranyl acetate for 3-5 min. After drying, the preparations were observed in a transmission electron microscope (Philips, Oregon, USA).

Thermal and pH sensitivity test

Phage suspensions (approximately 10^8 PFU/ml) were added to the water preheated to a desirable temperature, ranging from 50 to 90°C and incubated for 30 min. Surviving phage titer was assayed by the double layer method. For the study of pH destabilization of phages, phosphate buffered saline (PBS) with pH 3.0, 4.0, 5.0, 8.0, 9.0, 10 were used and the phage suspensions (about 10^8 PFU/ml) were inoculated overnight at 25°C. Upon re-adjustment to pH 7, the double layer method was performed to determine phage titer.

Analysis of phages proteins

To determine the major proteins present in the phages. Purified phage particles were mixed with protein sample buffer and heated in a boiling water bath for 5 min, followed by separation of the proteins in SDS-poly-Acrylamide gel (15%) electrophoresis. Gels were stained with 0.125% Coomassie blue R-250.

Analysis of phage DNA

Purified phage particles were treated with SDS (10%) at 65°C for 15 min. An equal volume of phenol-chloroform (1:1) was added to remove the proteinaceous materials. The extraction was repeated twice, and the nucleic acids were precipitated with 0.1 volume of 3 M sodium acetate and 1 volumes of isopropanol. Phage DNA was resuspend in TE buffer. Precipitation was repeated by adding 1 in 10 volume of 8 M potassium acetate and 1 volumes of isopropanol. The final pellet was washed twice with 70% ethanol, air dried, and then resuspended in TE buffer. One μg of phage DNAs were cut with restriction enzyme *EcoRI*, *HindIII*, *PstI*, *SphI*, *BamHI* and *SmaI* and analyzed by electrophoresis in 1 % agarose gel containing 0.5 $\mu\text{g/ml}$ ethidium bromide.

Detection of endolysin gene in bacteriophage genome

The sequence of endolysin was checked from the GenBank Database of the National Centre for Biotechnology Information (<http://www.ncbi.nlm.nih.gov>). Primers specific for endolysin gene (forward: ATGATTCTGACTAAAGACGGATTTAGTATT and reverse: CTATAAGCTCCGTAGAGCACGTTTC) were designed using biology workbench (<http://workbench.sdsc.edu/>). PCRs were performed in a DNA thermal cycler using phage DNA Φ ABP-01, Φ ABP-02 or Φ ABP-04 genomic DNA as a template. PCR products were analyzed by electrophoresis in 1 % agarose gel containing 0.5 $\mu\text{g/ml}$ ethidium bromide and sequenced using Applied Biosystems

Results

Phage isolation, lytic activity, host range analysis and morphology

Water samples from waste water treatment plants of 2 hospitals were taken for bacteriophage isolation. Fifty-four isolates of *A. baumannii* bacteriophages were collected. The host range of 54 isolates was determined using spot test. ØABP-01, ØABP-02 and ØABP-04 with high lytic activity on a broad range of *A. baumannii* were selected for further characterization. ØABP-01 was able to lyse all *A. baumannii* tested (n= 12). ØABP-02 and ØABP-04 lysed 50 % of *A. baumannii* tested (n=6). Only ØABP-01 and ØABP-02 could completely lysed *A. baumannii* ATCC 19606. Host range analysis was detected using 14 bacterial species as host strains. No clear zone was observed against all tested bacteria. All 3 phages showed different plaque characteristics (Fig. 1). Plaques of ØABP-01 showed large clear zones (3-8 mm). ØABP-02 showed plaques with small clear zones inside (1-2mm) and large opaque zones around, whereas ØABP-04 showed plaques with clear zones inside and opaque zone around. Morphology of three bacteriophages was observed in a transmission electron microscope as showed on Fig. 2. Observation with an electron microscope showed ØABP-01 have an icosahedral head (78 nm) with a short tail (9 nm), belonging to the *Podoviridae* family. ØABP-02 has an icosahedral head (80-85nm) with long tail (67-125 nm) and ØABP-04 has an

icosahedral head (72 nm) with long tail (110 nm). Both were classified into the *Myoviridae* family.

Phage physiology, protein profile and DNA restriction fragment patterns

Lytic activity of Φ ABP-01, Φ ABP-02 and Φ ABP-04 is shown in Fig. 3. Φ ABP-01 demonstrated good lytic activity than Φ ABP-02 and Φ ABP-04. All three bacteriophages showed 95% adsorbed to the host cells within 8 minutes (Table 1). The growth cycle of all three bacteriophages was characterized by one-step growth. Burst size and latent period of three bacteriophages were showed in Table 1. The latent periods of Φ ABP-01, Φ ABP-02 and Φ ABP-04 were 15, 20 and 20 minutes and the burst sizes of Φ ABP-01, Φ ABP-02 and Φ ABP-04 were 110, 120 and 150 PFU/cell respectively (Fig. 4). Effect of pH and temperature of Φ ABP-01, Φ ABP-02 and Φ ABP-04 are shown on Table 1. Φ ABP-02 and Φ ABP-04 are stable at pH 5-9, whereas Φ ABP-01 remained stable at pH 6-9. As shown in Table 1, all three bacteriophages showed 95 % survival at temperature range from 50-70 °C. According to gel electrophoresis of phage DNA, Φ ABP-01 and Φ ABP-04 have genome size approximately 23 kb (Figure 5A and 5C, lane 1). Φ ABP-04 revealed a large genome size which is higher than 23 kb (Fig. 5B). Analysis of all bacteriophage DNAs by restriction digest and digestion with DNaseI revealed that nucleic acid was double stranded DNA. As shown in Figure 5A, Φ ABP-01 and Φ ABP-04 genomes were cut with restriction enzyme *Bam*HI, *Eco*RI, *Hind*III and *Sph*I . All six restriction enzymes used in this study did not appear to cut the Φ ABP-02 genome. SDS-PAGE of Φ ABP-01, Φ ABP-02 and Φ ABP-

04 virion proteins was showed in Fig. 6A. ØABP-01 exhibited 1 major structural protein bands of approximately 28 kDa and many minor structural protein band of molecular weight ranging from 20-97 kDa. ØABP-02 showed 3 major structural protein bands of approximately 25, 29 and 45 kDa and many minor structural protein bands. ØABP-04 showed 3 major structural protein bands of approximately 22, 32 and 40 kDa and many minor structural protein bands.

Detection of endolysin gene

PCR was utilized to investigate the presence of the endolysin gene. As shown in Figure 6B, amplified product with 530 bp of endolysin gene (*lys*) was present in ØABP-01 and ØABP-04 genomes. Sequencing the endolysin gene fragment of ØABP-01 yield 95% sequence identity to the sequence of the endolysin gene (*lys*) phage phiAB1 (Gene bank accession no.HQ186308.1) and phiAB2 (Gene bank accession no. HM755898.1) and 94% sequence identity to Acinetobacter phage AB3 (Gene bank accession no.KC311669.1) obtained from GenBank. In addition, sequence of the endolysin gene PCR fragment of ØABP-04 yield 93% identity to phage phiAB1 (Gene bank accession no.HQ186308.1) and phiAB2 (Gene bank accession no.HM755898.1) and 92 % identity to Acinetobacter phage AB3 (Gene bank accession no.KC311669.1)

Discussion

In this study, three bacteriophages designed as ØABP-01, ØABP-02 and ØABP-04 isolated from waste water treatment plant were characterized with regard to lytic activity, morphology,

stability, one step growth, protein and DNA restriction fragment patterns. Three bacteriophages showed variation in plaque characteristics which could be related to different types of bacteriophage. All three bacteriophages were tail bacteriophages and identified as members of order *Caudovirales*. To date, more than 96% of isolated bacteriophages belong to this order [26]. ØABP-01 was classified in the *Podoviridae* family which is in accordance with previous studies in bacteriophages infecting *A. baumannii* AB2 and AB7-IBB2 [15, 22]. Bacteriophage ØABP-02 and ØABP-04 were classified into the family *Myoviridae*. This family was also reported in bacteriophages ABp53, ZZ1 and AP22 [17, 19, 20]. All three bacteriophage showed lytic activity that completely lysed *A. baumannii* host (MOI = 1) within 10 hours. However, ØABP-01 has a shorter latent period and displayed good lytic activity compared to other bacteriophage isolates (Figure 3 and Table 1). Previous reports of bacteriophages infecting *A. baumannii* showed latent periods ranging from 9-25 mins and burst size from 22 to 409 PFU/infected cell [15, 16, 17, 19, 20, 21,22, 23, 20]. Temperature and pH are important factors that determine phage survival in the environment [27]. All bacteriophages can survive in the same temperature range from 50-70 °C. However, ØABP-01 can survive in a narrower range of pH than ØABP-02 and ØABP-04 (Table 1). The pH stability of three bacteriophages in this study was lower than that observed by Jin *et al* (2012) in ZZ1, which found to be resistant in the pH range 4 to 9 [19]. All three bacteriophage exhibited

different genome sizes and restriction patterns. ϕ ABP-01 and ϕ ABP-04 genomes were approximately 23 kb, whereas ϕ ABP-02 genome is larger. ϕ ABP-01 and ϕ ABP-04 genomes were cut with *Bam*HI, *Eco*RI, *Hind*III and *Sph*I. Interestingly, of the three bacteriophages, all restriction enzyme tested were unable cut ϕ ABP-02 genome. SDS-PAGE study of bacteriophage protein ϕ ABP-01 showed one major protein band with approximately 28 kDs that may correspond to the capsid protein. This is in accordance with the study of Lin, *et al* which observed a bacteriophage in the same family consists of only one major protein [15]. ϕ ABP-02 and ϕ ABP-04 which belonged to *Myoviridae* family showed 3 major structural protein bands. Our study is also in accordance with previous work, in which bacteriophage AP22, in the *Myoviridae* family, consists of three major proteins [20]. Bacteriophages required endolysin to break down bacterial peptidoglycan during the end of lytic cycle. In this study, a gene coding for endolysin was present in 2 of 3 bacteriophages. Sequencing of the endolysin gene shown that ϕ ABP-01 and ϕ ABP-04 may have a common ancestral DNA sequence with phage phiAB1 and phiAB2 isolated from Taiwan [14, 28] and Acinetobacter phage AB3 isolated from China.

In conclusion, three bacteriophages classified as *Podoviridae* and *Myoviridae* family members were characterized. Bacteriophages in this study are quite different from those of other reports in genome, morphology, and one-step growth curve. ϕ ABP-01 has shown good

References

- [1] Bergogne-Berezin, E., Towner, K. J., 1996. *Acinetobacter* spp. as nosocomial pathogens: microbiological, clinical, and epidemiological features. *Clin. Microbiol. Rev.*, **9**, 148-165.
- [2] Wisplinghoff, H., Bischoff, T., Tallent, S.M., Seifert, H., *et al.*, 2004. Nosocomial bloodstream infections in US hospitals: analysis of 24,179 cases from a prospective nationwide surveillance study. *Clin. Infect. Dis.*, **39**, 309-317.
- [3] Perez, F., Hujer, A.M., Hujer, K.M., Decker, B.K., *et al.*, 2007. Global challenge of multidrug-resistant *Acinetobacter baumannii*. *Antimicrob. Agents Chemother.*, **51**, 3471-3484.
- [4] Souli, M., Galani, I., Giamarellou, H., 2008. Emergence of extensively drug-resistant and pandrug-resistant Gram-negative bacilli in Europe. *Euro Surveill.*, **13**, 1-11.
- [5] Howard, A., O'Donoghue, M., Feeney, A., Sleator, R.D., 2012. *Acinetobacter baumannii*: an emerging opportunistic pathogen. *Virulence.*, **3**, 243-250.
- [6] Lu, T.K., Koeris, M.S., 2011. The next generation of bacteriophage therapy. *Curr. Opin. Microbiol.*, **14**, 524-31.
- [7] Soothill, J.S., 1992. Treatment of experimental infections of mice with bacteriophages. *J. Med. Microbiol.*, **37**, 258-226.

[15] Lin, N.T., Chiou, P.Y., Chang, K.C., Chen, L.K., *et al.*, 2010. Isolation and characterization of phi AB2: a novel bacteriophage of *Acinetobacter baumannii*. *Res. Microbiol.*, **161**, 308-314.

[16] Yang, H., Liang, L., Lin, S., Jia, S., 2010. Isolation and characterization of a virulent bacteriophage AB1 of *Acinetobacter baumannii*. *BMC Microbiol.*, DOI:10.1186/1471-2180-10-131.

[17] Lee, C.N., Tseng, T.T., Lin, J.W., Fu, Y.C., *et al.*, 2011. Lytic myophage Abp53 encodes several proteins similar to those encoded by host *Acinetobacter baumannii* and phage phiK02. *Appl. Environ. Microbiol.*, **77**, 6755-6762.

[18] Jeon, J., Kim, J.W., Yong, D., Lee, K., *et al.*, 2012. Complete Genome Sequence of the Podoviral Bacteriophage YMC/09/02/B1251 ABA BP, Which Causes the Lysis of an OXA-23-Producing Carbapenem-Resistant *Acinetobacter baumannii* Isolate from a Septic Patient. *J. Virol.*, **86**, 12437-12438.

[19] Jin, J., Li, Z.J., Wang, S.W., Wang, S.M., *et al.*, 2012. Isolation and characterization of ZZ1, a novel lytic phage that infects *Acinetobacter baumannii* clinical isolates. *BMC Microbiol.*, DOI:10.1186/1471-2180-12-156.

[20] Popova, A.V., Zhilenkov, E.L., Myakinina, V.P., Krasilnikova, V.M., *et al.*, 2012. Isolation and characterization of wide host range lytic bacteriophage AP22 infecting *Acinetobacter baumannii*. *FEMS Microbiol. Lett.*, **332**, 40-46.

- [21] Shen, G.H., Wang, J.L., Wen, F.S., Chang, K.M., *et al.*, 2012. Isolation and characterization of Φ km18p, a novel lytic phage with therapeutic potential against extensively drug resistant *Acinetobacter baumannii*. PLoS One., DOI:10.1371/journal.pone.0046537.
- [22] Thawal, N.D., Yele, A.B., Sahu, P.K., Chopade, B.A., 2012. Effect of a novel podophage AB7-IBB2 on *Acinetobacter baumannii* biofilm. Curr. Microbiol., 65, 66-72.
- [23] Yele, A.B., Thawal, N.D., Sahu, P.K., Chopade, B.A., 2012. Novel lytic bacteriophage AB7-IBB1 of *Acinetobacter baumannii*: isolation, characterization and its effect on biofilm. Arch. Virol., 157, 1441-1450.
- [24] Niumsup, P.R., Boonkerd, N., Tansawai, U., Tiloklurs, M., 2009. Carbapenem-resistant *Acinetobacter baumannii* producing OXA-23 in Thailand. Jpn. J. Infect. Dis., 62, 152-154.
- [25] Adams, M.H., 1959. Bacteriophages. NewYork: Inter science Publishers, Inc.
- [26] Ackermann, H.W., 2001. Frequency of morphological phage descriptions in the year 2000. Brief review. Arch. Virol., 146(5), 843-857.
- [27] Jonczyk, E., Klak, M., Miedzybrodzki, R., Gorski, A., 2011. The influence of external factors on bacteriophages. Folia Microbiol (Praha), 56, 191-200.
- [28] Chang, K.C., Lin, N.T., Hu, A., Lin, Y.S., *et al.*, 2011. Genomic analysis of bacteriophage phiAB1, a phiKMV-like virus infecting multidrug-resistant *Acinetobacter baumannii*. Genomics., 97, 249-255.

Table Legends

Table 1. Phages isolated against *Acinetobacter baumannii* and their properties

Phage	Family	Plaque characteristic		One-step growth curve		Adsorption Time (min)	Stability	
		morphology	Size diameter (mm)	Latent period (min)	Burst size (PFU/infected cell)		pH	Temperature (°C)
ØABP-01	<i>Podoviridae</i>	Clear	5-7	15	110	8	6-9	50-70
ØABP-02	<i>Myoviridae</i>	Clear with turbid	6-8	20	120	8	5-9	50-70
ØABP-04	<i>Myoviridae</i>	Clear with turbid	3-5	20	150	8	5-9	50-70

Figure legend

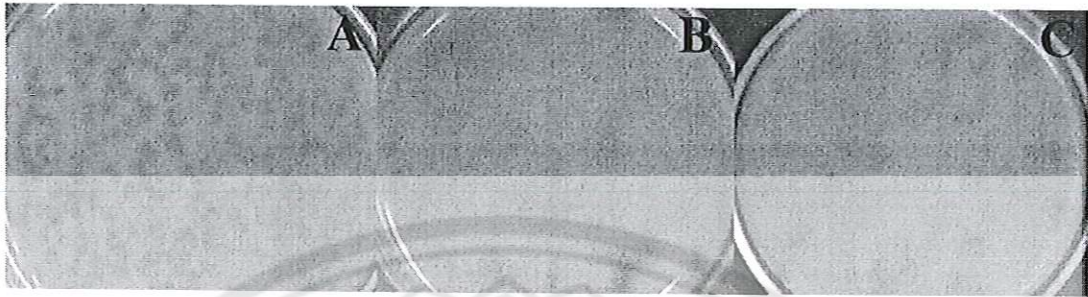


Figure.1 The appearance of plaques on a bacterial lawn formed by three *A. baumannii* bacteriophages. A) \emptyset ABP-01 plaque characteristic showed large clear zone. B) \emptyset ABP-02 plaque characteristic showed small clear zone inside with large opaque zone around. C) \emptyset ABP-04 plaque characteristic showed clear zone inside with an opaque zone around.

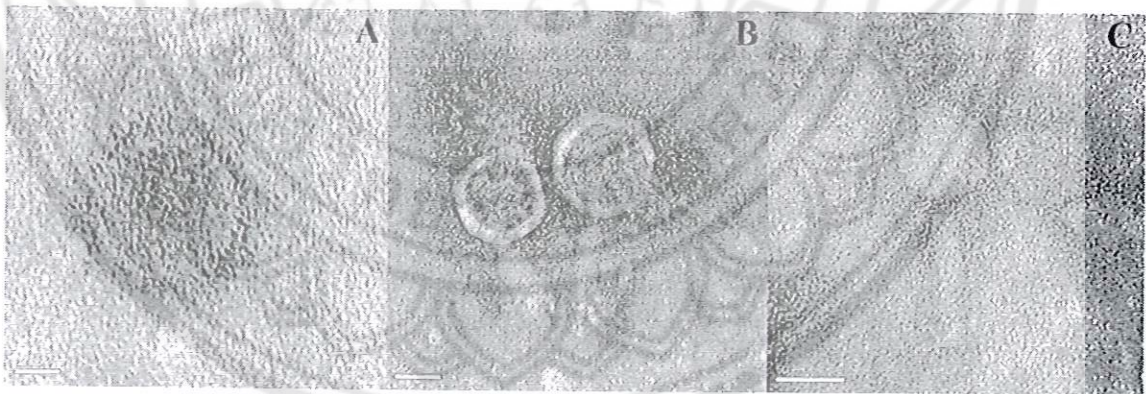


Figure.2 Electron micrograph of *A. baumannii* bacteriophages. A) \emptyset ABP-01, B) \emptyset ABP-02 and C) \emptyset ABP-04

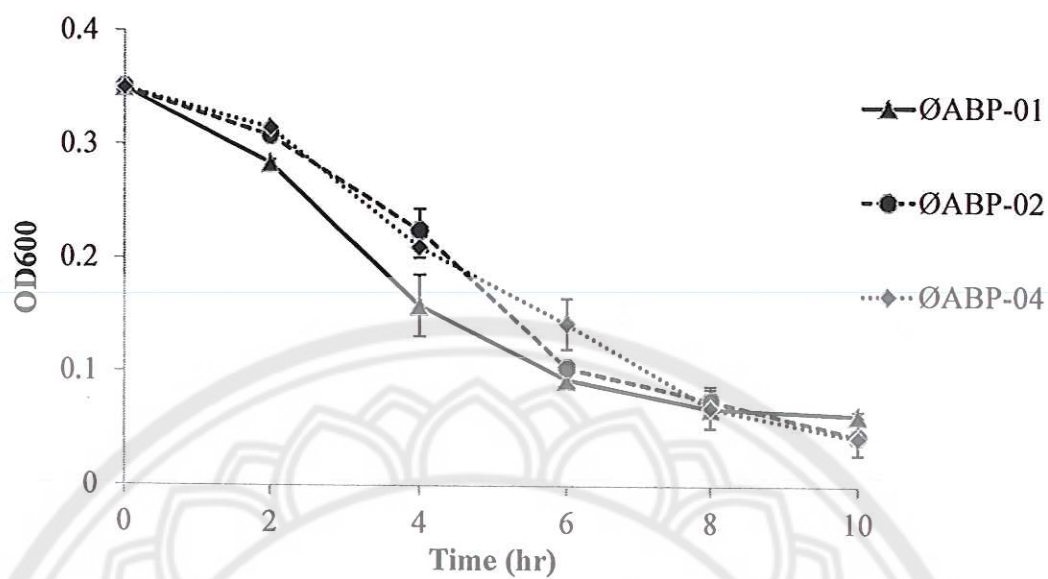


Figure.3 Lytic activity of *A. baumannii* phages. Growth of *A. baumannii* in the presence of phage ØABP-01, ØABP-02 and ØABP-04. *A. baumannii* host was inoculated at an OD₆₀₀ of 0.3, and after bacteriophage was added to the culture.

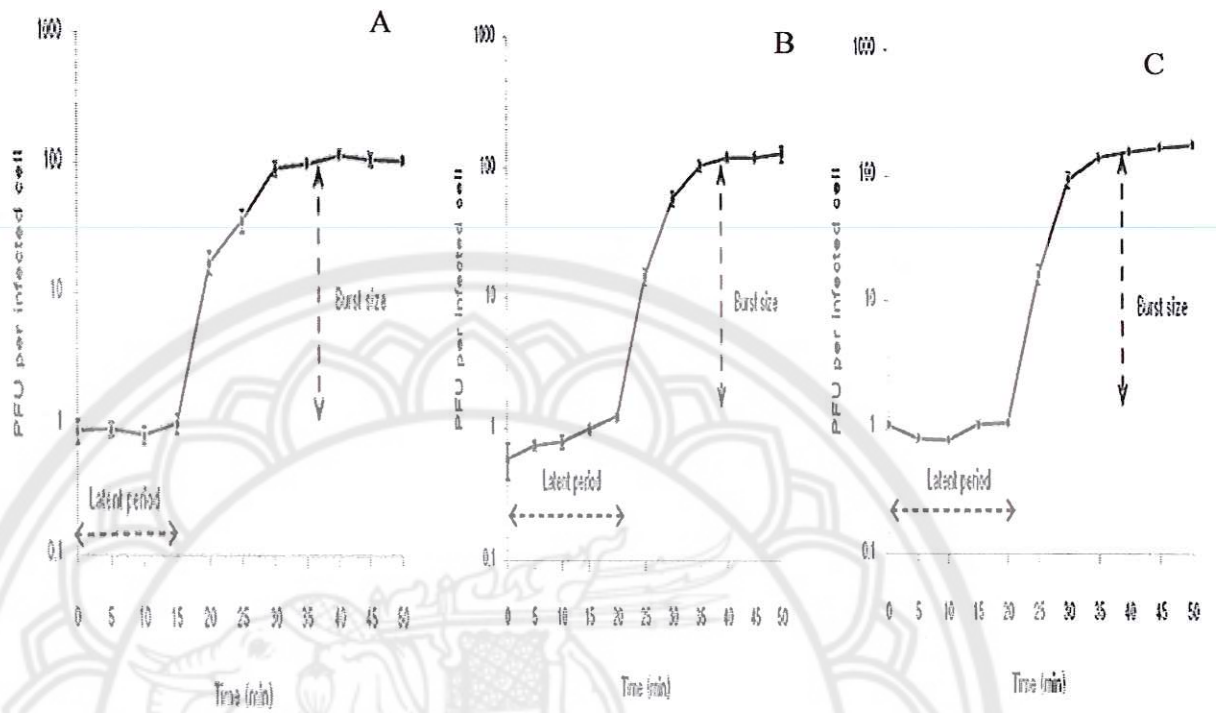


Figure 4. One step growth of ØABP-01 (A), ØABP-02 (B) and ØABP-04 (C) bacteriophages against *A. baumannii* host strains.

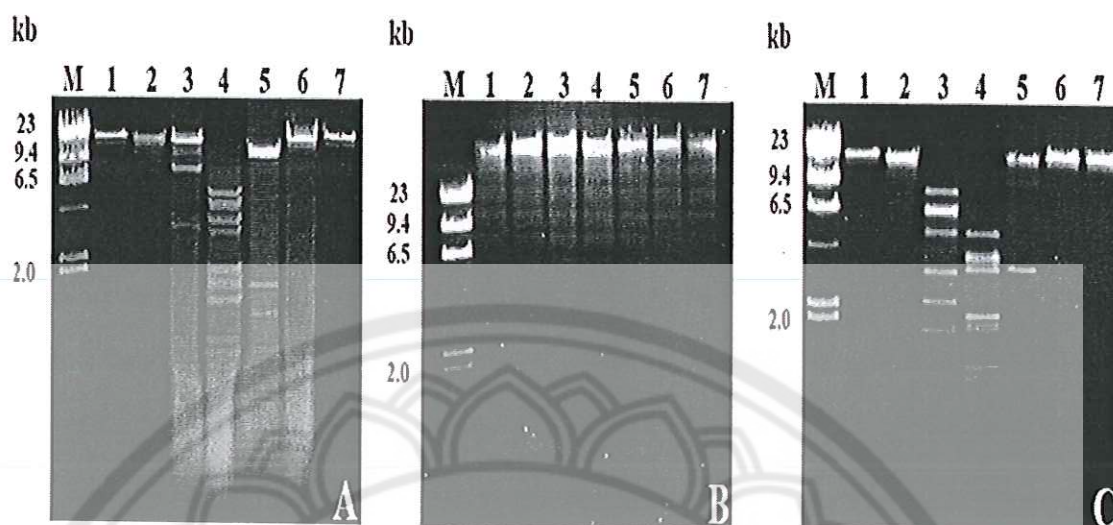


Fig. 5 Restriction pattern of *A. baumannii* bacteriophages. A) electrophoresis of Lambda DNA marker/*Hind*III (lane M); DNA of ØABP-01 uncut (lane 1); DNA of ØABP-01 cut with *Bam*HI (lane 2), *Eco*RI (lane 3), *Hind*III (lane 4), *Sph*I (lane 5), *Pst*I (lane 6), *Sma*I (lane 7) B) electrophoresis of Lambda DNA marker/*Hind*III (lane M); DNA of ØABP-02 uncut (lane 1); DNA of ØABP-02 cut with *Bam*HI (lane 2), *Eco*RI (lane 3), *Hind*III (lane 4), *Sph*I (lane 5), *Pst*I (lane 6), *Sma*I (lane 7) C) electrophoresis of Lambda DNA marker/*Hind*III (lane M); DNA of ØABP-04 uncut (lane 1); DNA of ØABP-04 cut with *Bam*HI (lane 2), *Eco*RI (lane 3), *Hind*III (lane 4), *Sph*I (lane 5), *Pst*I (lane 6), *Sma*I (lane 7)

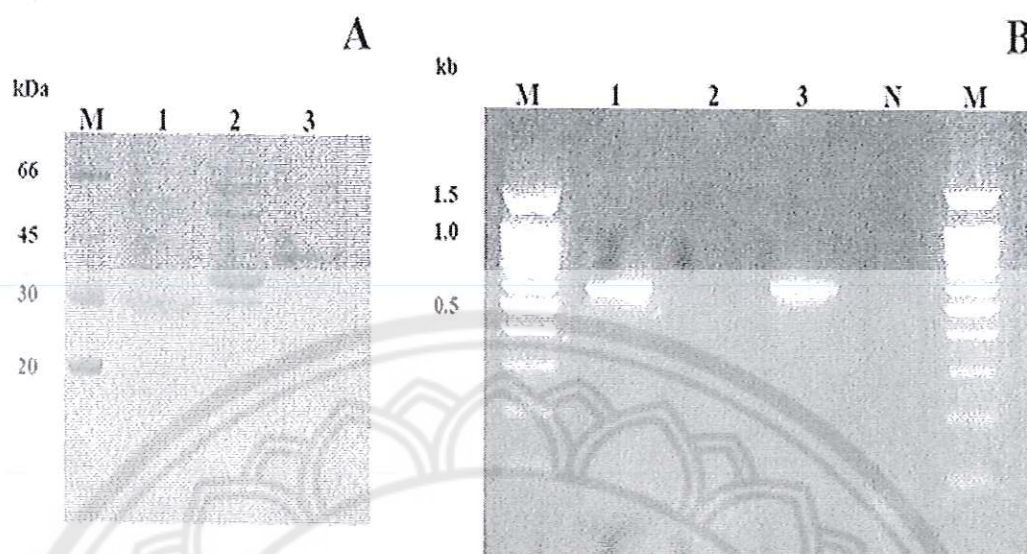


Figure. 6 (A) SDS-PAGE analysis of *A. baumannii* bacteriophages. Lane M: molecular weight marker, Lane 1: Coomassie stain showing protein band of ØABP-01, Lane 2: Coomassie stain showing protein band of ØABP-02, Lane 3: Coomassie stain showing protein band of Coomassie stain showing protein band of ØABP-04. (B) Amplification of endolysin gene from *A. baumannii* bacteriophages detected by 1 % agarose gel electrophoresis. Lane M; DNA marker, Lane 1; ØABP-01, Lane 2; ØABP-02, Lane 3; ØABP-04; Lane 4; Negative control